



① Número de publicación: 2 204 502

(51) Int. Cl.⁷: **C12N 15/11** C07K 14/705 A61K 38/17 A61K 39/395

12	TRADUCCIÓN DE DATENTE EUDODEA
(12)	TRADUCCIÓN DE PATENTE EUROPEA

Т3

- 86 Número de solicitud: **00902354 .0**86 Fecha de presentación: **07.01.2000**
- Número de presentación de la solicitud: 1141274
 Fecha de publicación de la solicitud: 10.10.2001
- 54 Título: Receptor soluble BR43x2 y métodos de utilización en terapia.
- 30 Prioridad: **07.01.1999 US 226533**

- 73 Titular/es: ZymoGenetics, Inc. 1201, Eastlake Avenue East Seattle, Washington 98102, US
- 45) Fecha de publicación de la mención BOPI: 01.05.2004
- (72) Inventor/es: Gross, Jane, A.; Xu, Wenfeng; Madden, Karen y Yee, David, P.
- 45) Fecha de la publicación del folleto de la patente: 01.05.2004
- 74 Agente: Díez de Rivera de Elzaburu, Alfonso

ES 2 204 502 T3

Aviso: En el plazo de nueve meses a contar desde la fecha de publicación en el Boletín europeo de patentes, de la mención de concesión de la patente europea, cualquier persona podrá oponerse ante la Oficina Europea de Patentes a la patente concedida. La oposición deberá formularse por escrito y estar motivada; sólo se considerará como formulada una vez que se haya realizado el pago de la tasa de oposición (art. 99.1 del Convenio sobre concesión de Patentes Europeas).

DESCRIPCIÓN

Receptor soluble BR43X2 y métodos de utilización en terapia.

Antecedentes del invento

Las interacciones celulares que tienen lugar durante una respuesta inmune son reguladas por miembros de diversas familias de receptores de la superficie celular, incluyendo la familia de receptores del factor de necrosis tumoral (TNFR; del inglés, tumor necrosis factor receptor). La familia de TNFR consiste en un número de receptores glicoproteínicos integrales de membrana, muchos de los cuales, junto con sus respectivos ligandos, regulan interacciones entre diferentes linajes celulares hematopoyéticos (Smith et al., The TNF Receptor Superfamily of Cellular and Viral Proteins: Activation, Costimulation and Death, 76: 959-62,1994,Cosman, Stem Cells 12 440-55,1994)

Uno de tales receptores es TACI (del inglés, transmembrane activator and CAML-interactor), activador de transmembrana e interaccionador con CAML (von Bülow y Bram, Science 228:138-41,1997 y Publicación WIPO, WO 98/39361). TACI es un receptor unido a membrana que tiene un dominio extracelular que contiene dos seudorrepeticiones ricas en cisteína, un dominio transmembranal y un dominio citoplásmico que interacciona con CAML (del inglés, calcium-modulator and cyclophilin ligand), modulador de calcio y ligando de ciclofilina, una proteína integral de membrana situada en vesículas intracelulares que es un coinductor de la activación del factor nuclear de células T activadas (NF-AT; del inglés, nuclear factor of activated T cells) cuando se sobreexpresa en células Jurkat. TACI se asocia con células B y un subgrupo de células T. von Bülow y Bram (ibídem) comunican que no se conoce el ligando de TACI

Se halló que los polipéptidos del presente invento, una isoforma de TACI que sólo tiene una seudorrepetición rica en cisteína (BR43x2), TACI y una proteína de células B relacionada, BCMA (Gras et al., <u>Int. Immunol. 17</u>: 1.093-106, 1.995), se unen al ligando de TNF, ztnf4, ahora conocido como neutroquina α (Publicación WIPO, WO 98/18921), BLyS (Moore et al., <u>Science 285</u>: 260-3, 1.999), BAFF (Schneider et al., <u>J. Exp. Med. 189</u>: 1.747-56, 1.999), TALL-1 (Shu et al., <u>J. Leukoc. Biol. 65</u>: 680-3, 1.999) o THANK (Mukhopadhyay et al., <u>J. Biol. Chem. 274</u>: 15.978-81, 1.999). Como tales, <u>BR43x2</u>, TACI y BCMA serían útiles para regular la actividad de ztnf4, en particular, la activación de células B.

Con este fin, el presente invento proporciona agentes proteicos terapéuticos para modular la actividad de ztnf4 u otros ligandos de BR43x2, TACI o BCMA, composiciones y métodos relacionados, así como otros usos que deberían ser evidentes para los expertos en la técnica a partir de las presentes enseñanzas.

En consecuencia, en un primer aspecto, el invento proporciona el uso de un compuesto en la fabricación de un medicamento para inhibir la actividad de ztnf4 en un mamífero, compuesto que es seleccionado del grupo que consiste en: a) un polipéptido que comprende el dominio extracelular de BR43x2, b) un polipéptido soluble que comprende el dominio extracelular de BCMA, d) un polipéptido que comprende el dominio extracelular de BCMA, d) un polipéptido que comprende la secuencia de ID. SEC. nº 10, e) un anticuerpo o fragmento de anticuerpo que se une específicamente a un polipéptido de ID. SEC. nº 2, f) un anticuerpo o fragmento de anticuerpo que se une específicamente a un polipéptido de ID. SEC. nº 4, g) un anticuerpo o fragmento de anticuerpo que se une específicamente a un polipéptido de ID. SEC. nº 6, h) un anticuerpo o fragmento de anticuerpo que se une específicamente a un polipéptido de ID. SEC. nº 8, i) un anticuerpo o fragmento de anticuerpo que se une específicamente a un polipéptido de ID. SEC. nº 10, k) un polipéptido de ID. SEC. nº 4, l) los restos de aminoácido 1-166 de la ID. SEC. nº 6, y m) los restos de aminoácido 1-150 de la ID. SEC. nº 8.

En una realización, el compuesto es una proteína de fusión que consiste en una primera porción y una segunda porción unidas por un enlace peptídico, comprendiendo dicha primera porción un polipéptido seleccionado del grupo que consiste en: a) un polipéptido que comprende la secuencia de ID. SEC. nº 8, b) un polipéptido que comprende los restos de aminoácido 25-58 de la ID. SEC. nº 2, c) un polipéptido que comprende los restos de aminoácido 34-66 de la ID. SEC. nº 6, d) un polipéptido que comprende los restos de aminoácido 71-104 de la ID. SEC. nº 6, e) un polipéptido que comprende los restos de aminoácido 25-104 de la ID. SEC. nº 6, f) un polipéptido que comprende los restos de aminoácido 8-37 de la ID. SEC. nº 8, g) un polipéptido que comprende los restos de aminoácido 41-88 de la ID. SEC. nº 8, y h) un polipéptido que comprende los restos de aminoácido 8-88 de la ID. SEC. nº 8; y comprendiendo dicha segunda porción otro polipéptido. En otra realización, la primera porción comprende además un polipéptido seleccionado del grupo que consiste en: a) los restos de aminoácido 59-120 de la ID. SEC. nº 2, b) los restos de aminoácido 105-166 de la ID. SEC. nº 6, y c) los restos de aminoácido 89-150 de la ID. SEC. nº 8. En otra realización, la primera porción es seleccionada del grupo que consiste en: a) un polipéptido que comprende el dominio extracelular de BR43x2, b) un polipéptido que comprende el dominio extracelular de TACI, y c) un polipéptido que comprende el dominio extracelular de BCMA. En una realización relacionada, la primera porción es seleccionada del grupo que consiste en: a) un polipéptido de ID. SEC. nº 4, b) los restos de aminoácido 1-154 de la ID. SEC. nº 6, y c) los restos de aminoácido 1-48 de la ID. SEC. nº 8. En otra realización relacionada, la segunda porción es una región constante de cadena pesada de inmunoglobulina.

En otra realización, el anticuerpo o fragmento de anticuerpo es seleccionado del grupo que consiste en: a) anticuerpo policional, b) anticuerpo monoclonal murino, c) anticuerpo humanizado procedente de b), y d) anticuerpo

monoclonal humano. En una realización relacionada, el fragmento de anticuerpo es seleccionado del grupo que consiste en F(ab'), Fab', Fab, Fv y scFv. En otra realización, el mamífero es un primate.

En otra realización, la actividad de ztnf4 está asociada con linfocitos B. En otra realización relacionada, la actividad de ztnf4 está asociada con linfocitos B activados. En aún otra realización, la actividad de ztnf4 está asociada con linfocitos B en reposo. En otra realización, la actividad de ztnf4 está asociada con la producción de anticuerpos. En una realización relacionada, la producción de anticuerpos está asociada con una enfermedad autoinmune. En una realización relacionada, la citada enfermedad autoinmune es lupus sistémico eritematoso, miastenia gravis (MG), esclerosis múltiple o artritis reumatoide (RA; del inglés, rheumatoid arthritis). En otra realización, la actividad de ztnf4 está asociada con asma, bronquitis o enfisema. En aún otra realización, la actividad de ztnf4 está asociada con insuficiencia renal de fase terminal. En aún otra realización, la actividad de ztnf4 está asociada con enfermedad renal. En una realización relacionada, la enfermedad renal es glomerulonefritis, vasculitis, nefritis o pielonefritis. En aún otra realización, la enfermedad renal está asociada con neoplasias renales, mielomas múltiples, linfomas, neuropatía de cadenas ligeras o amiloidosis. En otra realización, la actividad de ztnf4 está asociada con células T efectoras. En una realización relacionada, la actividad de ztnf4 está asociada con moderación de la respuesta inmune. En aún otra realización, la actividad está asociada con inmunosupresión. En aún otra realización, la inmunosupresión está asociada con rechazo de injertos, enfermedad del injerto contra el huésped, o inflamación. En otra realización, la actividad está asociada con enfermedad autoinmune. En una realización relacionada, la enfermedad autoinmune es diabetes mellitus dependiente de insulina o la enfermedad de Crohn. En otra realización, la actividad de ztnf4 está asociada con inflamación. En una realización relacionada, la inflamación está asociada con dolor articular, hinchazón, anemia o shock séptico. En otro aspecto, el invento proporciona un método para la fabricación de un medicamento para inhibir el acoplamiento del receptor BR43x2, TACI o BCMA-ztnf4, que incluye una cantidad de un compuesto como el anteriormente descrito. En otra realización, el acoplamiento del receptor BR43x2, TACI o BCMA-ligando está asociado con linfocitos B. En otra realización relacionada, el acoplamiento del receptor BR43x2, TACI o BCMAligando está asociado con linfocitos B activados. En aún otra realización, el acoplamiento del receptor BR43x2, TACI o BCMA-ligando está asociado con linfocitos B en reposo.

En otra realización, el acoplamiento del receptor BR43x2, TACI o BCMA-ligando está asociado con la producción de anticuerpos. En una realización relacionada, la producción de anticuerpos está asociada con una enfermedad autoinmune. En una realización relacionada, la citada enfermedad autoinmune es lupus sistémico eritematoso, miastenia gravis, esclerosis múltiple o artritis reumatoide. En otra realización, el acoplamiento del receptor BR43x2, TACI o BCMA-ligando está asociado con asma, bronquitis o enfisema. En aún otra realización, el acoplamiento del receptor BR43x2, TACI o BCMA-ligando está asociado con insuficiencia renal de fase terminal. En aún otra realización, el acoplamiento del receptor BR43x2, TACI o BCMA-ligando está asociado con enfermedad renal. En una realización relacionada, la enfermedad renal es glomerulonefritis, vasculitis, nefritis o pielonefritis. En aún otra realización, la enfermedad renal está asociada con neoplasias renales, mielomas múltiples, linfomas, neuropatía de cadenas ligeras o amiloidosis. En otra realización, el acoplamiento del receptor BR43x2, TACI o BCMA-ligando está asociado con células T efectoras. En una realización relacionada, el acoplamiento del receptor BR43x2, TAČI o BCMA-ligando está asociado con moderación de la respuesta inmune. En aún otra realización, la actividad está asociada con inmunosupresión. En aún otra realización, la inmunosupresión está asociada con rechazo de injertos, enfermedad del injerto contra el huésped, o inflamación. En otra realización, la actividad está asociada con enfermedad autoinmune. En una realización relacionada, la enfermedad autoinmune es diabetes mellitus dependiente de insulina o la enfermedad de Crohn. En otra realización, el acoplamiento del receptor BR43x2, TACI o BCMA-ligando está asociado con inflamación. En una realización relacionada, la inflamación está asociada con dolor articular, hinchazón, anemia o shock séptico.

En otro aspecto, el invento proporciona una molécula polinucleotídica aislada que codifica un polipéptido de ID. SEC. nº 2. Se proporciona también una molécula polinucleotídica aislada de ID. SEC. nº 1. En una realización relacionada, se proporciona un vector de expresión que comprende los siguientes elementos operativamente enlazados: un promotor de transcripción, una molécula polinucleotídica como la anteriormente descrita y un terminador de transcripción. En otra realización, el vector de expresión comprende además una secuencia secretora de acoplamiento de receptor-ligando operativamente enlazada a dicha molécula polinucleotídica. También se proporciona una célula en cultivo en la que se ha introducido un vector de expresión como el anteriormente descrito, célula en cultivo que expresa dicho polipéptido codificado por dicho segmento polinucleotídico. El invento proporciona además un método para producir un polipéptido, que comprende: cultivar una célula en la que se ha introducido un vector de expresión como el anteriormente descrito, mediante lo cual dicha célula expresa dicho polipéptido codificado por dicho molécula polinucleotídica; y recuperar dicho polipéptido expresado. El invento también proporciona un polipéptido aislado que tiene la secuencia de ID. SEC. nº 2. En una realización relacionada, el polipéptido está en combinación con un vehículo farmacéuticamente aceptable.

Breve descripción de los dibujos

45

La Figura 1 muestra una alineación de múltiples secuencia de aminoácidos entre BR43x2, TACI (von Bülow y Bram, <u>ibídem</u>) (ID. SEC. n° 8), BCMA (Gras et al., <u>ibídem</u>) (ID. SEC. n° 6) y BR43x1 (ID. SEC. n° 9). Se indican las seudorrepeticiones ricas en cisteína y el dominio transmembranal.

La Figura 2 muestra un análisis gráfico de Scatchard de la unión de I¹²⁵-ztnf4 soluble a TACI y BCMA expresados por transfectantes BHK estables.

La Figura 3A muestra la coactivación de linfocitos B humanos por ztnf4 para que proliferen y secreten inmunoglobulina.

La Figura 3B muestra niveles de IgM e IgG medidos en sobrenadantes obtenidos de células B estimuladas con ztnf4 soluble en presencia de IL-4 o IL-4+IL-5 después de 9 días en cultivo.

La Figura 4 muestra células B humanas de sangre periférica estimuladas con ztnf4 soluble o proteína testigo (ubiquitina) en presencia de IL-4 durante 5 días *in vitro*. TACI-Ig, BCMA-Ig y Fc testigo purificados fueron ensayados en cuanto a la inhibición de la proliferación específica por ztnf4.

La Figura 5A muestra resultados de animales transgénicos en cuanto a ztnf4 que han desarrollado características de lupus sistémico eritematoso (SLE; del inglés, systemic lupus erythematosus).

La Figura 5B muestra células de ganglio linfático, bazo y timo procedentes de animales transgénicos en cuanto a ztnf4, teñidas con anticuerpos hacia CD5, CD4 y CD8.

La Figura 5C muestra niveles totales de IgM, IgG e IgE en suero de animales transgénicos en cuanto a ztnf4 con una edad que varía de 6 a 23 semanas.

La Figura 5D muestra el depósito de amiloide y el mesangio engrosado de los glomérulos identificados en secciones renales de animales transgénicos en cuanto a ztnf4.

La Figura 5E muestra células T efectoras en ratones transgénicos en cuanto a ztnf4.

Las Figuras 6A y 6B muestran niveles elevados de ztnf4 en suero obtenido de ratones ZNBWF1 y ratones MRL/lpr/lpr, que se correlacionan con el desarrollo de SLE.

La Figura 7 muestra el porcentaje de ratones NZBWF1 que desarrollan proteinuria a lo largo del curso del estudio.

La Figura 8 muestra niveles anti-DNA de cadena doble (dsDNA; del inglés, double stranded DNA), por ensayo de inmunoabsorción con enzimas ligadas (ELISA; del inglés, enzyme-linked immunosorbent assay), de ratones transgénicos en cuanto a ztnf4 y compañeros de camada testigo, comparados con los de suero de ratones ZNBWF1 y MRL/lpr/lpr.

Estos y otros aspectos del invento se harán evidentes por referencia a la descripción detallada siguiente.

Descripción detallada del invento

Antes de exponer el invento, puede ser útil para su comprensión la exposición de las definiciones de ciertas expresiones que se usarán más adelante.

Etiqueta de afinidad

Se usa aquí para significar un segmento polipeptídico que puede ser fijado a un segundo polipéptido para proporcionar la purificación o detección del segundo polipéptido o para proporcionar sitios para la fijación del segundo polipéptido a un sustrato. En principio, como etiqueta de afinidad puede usarse cualquier péptido o proteína para el que se disponga de un anticuerpo u otro agente ligante específico. Las etiquetas de afinidad incluyen una extensión de polihistidina, proteína A (Nilsson et al., EMBO J. 4: 1.075, 1.985; Nilsson et al., Methods Enzymol. 198: 3, 1.991), glutatión S-transferasa (Smith y Johnson, Gene 67: 31, 1.988), etiqueta de afinidad Glu-Glu (Grussenmeyer et al., Proc. Natl. Acad. Sci. USA 82: 7.952-4, 1.985), sustancia P, péptido FlagTM (Hopp et al., Biotechnology 6: 1.204-10, 1.988), péptido ligante de estreptavidina, u otro epítopo antigénico o dominio ligante. Véase, en general, Ford et al., Protein Expression and Purification 2: 95-107, 1.991. De proveedores comerciales (por ejemplo, Pharmacia Biotech, Piscataway, New Jersey, EE.UU.) pueden obtenerse DNAs que codifican etiquetas de afinidad.

55 Variante alélica

Cualquiera de dos o más formas alternativas de un gen que ocupan el mismo locus cromosómico. La variación alélica surge naturalmente a través de la mutación y puede dar lugar a un polimorfismo fenotípico en las poblaciones. Las mutaciones génicas pueden ser silenciosas (es decir, sin cambio en el polipéptido codificado) o pueden codificar polipéptidos que tienen una secuencia de aminoácidos alterada. La expresión "variante alélica" se usa también aquí para significar una proteína codificada por una variante alélica de un gen. También se incluye la misma proteína de la misma especie que difiere de una secuencia de aminoácidos de referencia a causa de una variación alélica. La variación alélica se refiere a diferencias presentes en la naturaleza entre individuos, en genes que codifican una proteína dada.

65 Amino-terminal y carboxilo-terminal

Se usan aquí para significar posiciones en polipéptidos y proteínas. Cuando el contexto lo permite, estas expresiones se usan con referencia a una secuencia o porción particular de un polipéptido o proteína para significar proximidad

o posición relativa. Por ejemplo, una cierta secuencia dispuesta carboxilo-terminalmente con respecto a una secuencia de referencia de una proteína está situada cerca del extremo carboxílico de la secuencia de referencia pero no está necesariamente en el extremo carboxílico de la proteína completa.

5 Par de complemento/anticomplemento

Significa grupos no idénticos que forman un par estable, no covalentemente asociado, bajo condiciones apropiadas. Por ejemplo, la biotina y la avidina (o estreptavidina) son miembros prototípicos de un par de complemento/anticomplemento. Otros pares de complemento/anticomplemento ejemplares incluyen pares de receptor/ligando, pares de anticuerpo/antígeno (o hapteno o epítopo), pares de polinucleótidos sentido/antisentido, y similares. Cuando es deseable la subsiguiente disociación del par de complemento/anticomplemento, el par de complemento/anticomplemento tiene preferiblemente una afinidad de unión < 10⁻⁹ M.

Contig

15

20

Significa un polinucleótido que tiene un tramo contiguo de secuencia idéntica o complementaria con respecto a otro polinucleótido. Se dice que las secuencias contiguas "se solapan" en un tramo dado de secuencia polinucleotídica, sea en su totalidad o sea a lo largo de un tramo parcial del polinucleótido. Por ejemplo, son contigs representativos relativos a la secuencia polinucleotídica 5'-ATGGCTTAG- CTT-3': 5'-TAGCTTgagtct-3' y 3'-gtcgacTACCGA-5'.

Complementos de moléculas polinucleotídicas

Significa moléculas polinucleotídicas que tienen una secuencia de bases complementaria y una orientación inversa con respecto a una secuencia de referencia. Por ejemplo, la secuencia 5' ATGCACGGG 3' es complementaria de 5' CCCGTGCAT 3'.

Secuencia de nucleótidos degenerada o secuencia degenerada

Significa una secuencia de nucleótidos que incluye uno o más codones degenerados (en comparación con una molécula polinucleotídica de referencia que codifica un polipéptido). Los codones degenerados contienen diferentes tripletes de nucleótidos pero codifican el mismo resto de aminoácido (es decir, tanto el triplete GAU como el GAC codifican Asp).

Vector de expresión

35

45

Una molécula de DNA, lineal o circular, que comprende un segmento que codifica un polipéptido de interés, operativamente enlazado con segmentos adicionales que proporcionan su transcripción. Tales segmentos adicionales pueden incluir secuencias promotoras y terminadoras y, opcionalmente, uno o más orígenes de replicación, uno o más marcadores seleccionables, un potenciador, una señal de poliadenilación, y similares. Los vectores de expresión proceden generalmente de DNA plasmídico o vírico, o pueden contener elementos de ambos.

Isoforma

Se refiere a diferentes formas de una proteína que pueden ser producidas a partir de diferentes genes o a partir del mismo gen por remodelación alternativa. En algunos casos, las isoformas difieren en su actividad de transporte, tiempo de expresión en desarrollo, distribución tisular, situación en la célula o una combinación de estas propiedades.

Polinucleótido aislado

Significa que el polinucleótido ha sido extraído de su entorno genético natural y, por ello, carece de otras secuencias de codificación extrañas o indeseadas, y está en una forma adecuada para uso en sistemas de producción de proteínas genéticamente construidas. Dichas moléculas aisladas son aquéllas que son separadas de su ambiente natural e incluyen clones de cDNA y genómicos. Las moléculas de DNA aisladas del presente invento carecen de otros genes con los que están normalmente asociadas, pero pueden incluir regiones 5' y 3' no traducidas presentes en la naturaleza, tales como promotores y terminadores. La identificación de regiones asociadas será evidente para quien tiene una experiencia normal en la técnica (véase, por ejemplo, Dynan y Tijan, Nature 316: 774-78, 1.985).

Polipéptido o proteína aislados

Es un polipéptido o proteína que se halla en un estado distinto de su ambiente nativo, tal como separado de la sangre y el tejido animal. En una forma preferida, el polipéptido aislado carece sustancialmente de otros polipéptidos, particularmente de otros polipéptidos de origen animal. Se prefiere obtener los polipéptidos en una forma muy purificada, es decir, con una pureza superior a 95%, más preferiblemente una pureza superior a 99%. Cuando se usa en este contexto, el término "aislado" no excluye la presencia del mismo polipéptido en formas físicas alternativas, tales como dímeros o formas alternativamente glicosiladas o derivatizadas.

Operativamente enlazado

Cuando se aplica a segmentos de nucléotidos, la expresión "operativamente enlazado" indica que los segmentos están dispuestos para que actúen de acuerdo a sus fines previstos; por ejemplo, la transcripción se inicia en el promotor y continúa a través del segmento de codificación hasta el terminador.

Ortólogo

Significa un polipéptido o una proteína obtenidos de una especie, que es la réplica funcional de un polipéptido o proteína de una especie diferente. Las diferencias de secuencia entre ortólogos son el resultado de la especiación.

Polinucleótido

Significa un polímero, de cadena sencilla o doble, de bases desoxirribonucleotídicas o ribonucleotídicas leídas del extremo 5' al 3'. Los polinucleótidos incluyen RNA y DNA, y pueden ser aislados de fuentes naturales, sintetizados *in vitro* o preparados a partir de una combinación de moléculas naturales y sintéticas. Los tamaños de los polinucleótidos se expresan en pares de bases (abreviado "bp"; del inglés, <u>base pairs</u>), nucleótidos ("nt") o kilobases ("kb"). Cuando lo permite el contexto, los dos últimos términos pueden describir polinucleótidos que sean de cadena sencilla o cadena doble. Cuando el término se aplica a moléculas de cadena doble, se usa para significar la longitud global y se entenderá que es equivalente a la expresión "pares de bases". Los expertos en la técnica reconocerán que las dos cadenas de un polinucleótido de cadena doble pueden diferir ligeramente en cuanto a longitud y que los extremos de las mismas pueden estar escalonados como resultado de escisión enzimática; por lo tanto, puede que no todos los nucleótidos de una molécula polinucleotídica de cadena doble estén emparejados. Dichos extremos desparejados tendrán una longitud que no excederá en general de 20 nt.

Polipéptido

Es un polímero de restos de aminoácido unidos por enlaces peptídicos, producido natural o sintéticamente. A los polipéptidos de menos de aproximadamente 10 restos de aminoácido se hace comúnmente referencia como "péptidos".

Promotor

Significa una porción de un gen que contiene secuencias de DNA que proporcionan la unión de RNA polimerasa y la iniciación de la transcripción. Las secuencias promotoras se hallan comúnmente, aunque no siempre, en las regiones no codificadoras 5' de los genes.

Proteína

Es una macromolécula que comprende una o más cadenas polipeptídicas. Una proteína puede también comprender componentes no peptídicos, tales como grupos carbohidrato. Los carbohidratos y otros sustituyentes no peptídicos pueden ser añadidos a una proteína por la célula en que se produce la proteína, y variarán con el tipo de célula. Las proteínas se definen aquí en términos de sus estructuras de cadena principal aminoácida; no se especifican generalmente sustituyentes tales como grupos carbohidrato aunque, no obstante, puedan estar presentes.

45 Receptor

Una proteína asociada a la célula, o una subunidad polipeptídica de dicha proteína, que se une a una molécula bioactiva (el "ligando") y media en el efecto del ligando sobre la célula. La unión del ligando al receptor da lugar a un cambio en el receptor (y, en ciertos casos, la multimerización del receptor, es decir, la asociación de subunidades idénticas o diferentes del receptor) que causa interacciones entre el(los) dominio(s) efector(es) del receptor y otra(s) molécula(s) en la célula. A su vez, estas interacciones conducen a alteraciones en el metabolismo de la célula. Los procesos metabólicos que están conectados con interacciones de receptor-ligando incluyen transcripción génica, fosforilación, desfosforilación, proliferación celular, aumentos de la producción de AMP cíclico, movilización de calcio celular, movilización de lípidos de membrana, adhesión celular, hidrólisis de inositol-lípidos e hidrólisis de fosfolípidos. BR43x2 tiene características de receptores de TNF, como aquí se discute con mayor detalle.

Secuencia señal secretora

Una secuencia de dna que codifica un polipéptido (un "péptido secretor") que, como un componente de un polipéptido más grande, dirige al polipéptido más grande a través de una ruta secretora de una célula en que es sintetizado. El polipéptido más grande es comúnmente escindido para que se separe el péptido secretor durante el tránsito a través de la ruta secretora.

Receptor soluble

55

Un polipéptido receptor que no está unido a una membrana celular. Los receptores solubles son muy comúnmente polipéptidos receptores ligantes de ligandos, que carecen de dominios transmembranales y citoplásmicos. Los receptores solubles pueden comprender restos de aminoácido adicionales, tales como etiquetas de afinidad que permiten

la purificación del polipéptido o proporcionan sitios para la fijación del polipéptido a un sustrato. Muchos receptores de la superficie celular tienen remedos solubles, presentes en la naturaleza, que son producidos por proteolisis o son traducidos de mRNAs alternativamente remodelados. Se dice que los polipéptidos receptores carecen sustancialmente de segmentos polipeptídicos transmembranales e intracelulares cuando carecen de suficientes porciones de esos segmentos que proporcionen el anclaje a la membrana o la transducción de señales, respectivamente.

Se entenderá que los pesos y longitudes moleculares de polímeros determinados mediante métodos analíticos inexactos (por ejemplo, electroforesis en gel) son valores aproximados. Cuando tal valor se expresa como "aproximadamente" X, se entenderá que el valor expuesto de X es exacto hasta \pm 10%.

Todas las referencias aquí citadas se incorporan por referencia en su totalidad.

10

35

50

El presente invento se basa en parte en el descubrimiento de una secuencia de DNA de 1.192 bp (ID. SEC. n° 1) y la correspondiente secuencia polipeptídica (ID. SEC. n° 2) que es una isoforma del receptor TACI. La isoforma ha sido denominada BR43x2. Se describe una forma soluble de BR43x2 en la ID. SEC. n° 4, el polinucleótido que codifica el receptor soluble en la ID. SEC. n° 3. Como aquí se describe con mayor detalle, los polipéptidos y polinucleótidos que codifican el receptor BR43x2 del presente invento fueron inicialmente identificados por clonación con trampa de señales usando una librería humana de RPMI 1788 y el ligando del factor de necrosis tumoral, ztnf4, ahora conocido como neutroquina α (WIPO, WO98/18921), BLyS (Moore et al., ibídem), BAFF (Schneider et al., ibídem), TALL-1 (Shu et al., ibídem) o THANK (Mukhopadhyay et al., ibídem), N- o C-terminalmente etiquetado con FLAG y marcado con biotina o isotiocianato de fluoresceína (FITC; del inglés, fluorescein isothiocyanate). Las colecciones positivas fueron identificadas por unión de ligandos y fueron separadas en clones individuales, y el cDNA fue aislado y secuenciado. Una comparación de la secuencia de aminoácidos deducida de BR43x2 (como se representa en la ID. SEC. n° 2) con la de receptores conocidos del factor de necrosis tumoral indicó que BR43x2 es una isoforma de TACI, que tiene una única y mal conservada seudorrepetición rica en cisteína.

Estructuralmente, la familia de receptores del TNF se caracteriza por una porción extracelular compuesta de varios módulos históricamente llamados "seudorrepeticiones ricas en cisteína". Un miembro prototípico de la familia de TNFR tiene cuatro de estas seudorrepeticiones, cada una de aproximadamente 29-43 restos de longitud, una justo detrás de la otra. Una seudorrepetición típica tiene 6 restos de cisteína. Son llamadas seudorrepeticiones porque, aunque parecen tener su origen en un módulo ancestral común, no se repiten exactamente: las seudorrepeticiones nº 1, nº 2, nº 3 y nº 4 tienen rasgos de secuencia característicos que las distinguen entre sí. La estructura cristalina del receptor p55 de TNF reveló que cada seudorrepetición corresponde a un dominio plegable y que las cuatro seudorrepeticiones se pliegan en la misma estructura terciaria, manteniéndose internamente unidas por enlaces disulfuro.

TACI contiene dos seudorrepeticiones ricas en cisteína (von Bülow y Bram, ibídem): la primera está conservada en cuanto a estructura con otros miembros de la familia de receptores del TNF, y la segunda está menos conservada. La isoforma BR43x2 del presente invento carece de la primera seudorrepetición rica en cisteína de TACI, reteniendo sólo la segunda, la repetición menos conservada.

El análisis de secuencia de una secuencia deducida de aminoácidos de BR43x2, como se representa en la ID. SEC. nº 2, indica la presencia de una proteína madura que tiene un dominio extracelular (restos 1-120 de la ID. SEC. nº 2) que contiene una seudorrepetición rica en cisteína (restos 25-58 de la ID. SEC. nº 2), un dominio transmembranal (restos 121-133 de la ID. SEC. nº 2) y un dominio citoplásmico (restos 134-247 de la ID. SEC. nº 2). La seudorrepetición rica en cisteína de BR43x2 tiene 6 restos de cisteína conservados (restos 25, 40, 43, 47, 54 y 58 de la ID. SEC. nº 2), un resto de ácido aspártico conservado (resto 34 de la ID. SEC. nº 2) y dos restos de leucina conservados (restos 36 y 37 de la ID. SEC. nº 2), y comparte una identidad del 46% con la primera seudorrepetición rica en cisteína de TACI (ID. SEC. nº 6) y una identidad del 35% con la seudorrepetición rica en cisteína de BCMA (ID. SEC. nº 8) (Figura 1). La seudorrepetición rica en cisteína puede ser representada mediante el motivo siguiente:

CX [QEK] [QEKNRDHS] [QE] X {0-2} [YFW] [YFW] DXLLX {2} C [IMLV] XCX {3} CX {6-8} CX {2} [YF] C (ID. SEC. no 10),

en el que C representa el resto de aminoácido cisteína, Q glutamina, E ácido glutámico, K lisina, N asparagina, R arginina, D ácido aspártico, H histidina, S serina, Y tirosina, F fenilalanina, W triptófano, L leucina, I isoleucina y V valina, y X representa cualquier resto de aminoácido presente en la naturaleza salvo cisteína. Los restos de aminoácido entre corchetes "[]" indican la variación de restos de aminoácido permitidos en esa posición. El número entre llaves "{}" indica el número de restos de aminoácido permitidos en esa posición.

El presente invento también proporciona polipéptidos solubles con una longitud de 32 a 40 restos de aminoácido, como el proporcionado por la ID. SEC. nº 10.

El receptor soluble BR43x2, como es representado por los restos 1-120 de la ID. SEC. nº 4, contiene una seudorrepetición rica en cisteína (restos 25-58 de la ID. SEC. nº 4) y carece de los dominios transmembranal y citoplásmico de BR43x2, como se describe en la ID. SEC. nº 2.

Los expertos en la técnica reconocerán que estos límites de dominio son aproximados y se basan en alineaciones con proteínas conocidas y predicciones de plegadura de la proteína. Estas características indican que el receptor codificado por las secuencias de DNA de ID. SEC. nºs 1 y 3 es un miembro de la familia de receptores del TNF.

El análisis, por transferencia Northern y transferencia en forma de manchas, de la distribución tisular del mRNA que corresponde a sondas nucleotídicas hacia BR43x1 que están previstas para detectar la expresión de BR43x2 mostró expresión en bazo, ganglio linfático, células CD19+, débilmente en células que presentan reacción mixta de linfocitos (MLR; del inglés, mixed lymphocyte reaction), células Daudi y células Raji. Usando reacción en cadena de la polimerasa (PCR; del inglés, polymerase chain reaction)-transcriptasa inversa, se detectó BR43x1 sólo en células B y no en células T activadas, como había sido comunicado para TACI (von Bülow y Bram, ibídem). Usando una sonda para BR43x2 que solapa al 100% con la correspondiente secuencia de TACI, se detectaron TACI y BR43x2 en bazo, ganglio linfático e intestino delgado, estómago, glándula salival, apéndice, pulmón, médula ósea, bazo fetal, células CD19+ y células Raji.

Usando análisis por transferencia Northern, se detectó BCMA en intestino delgado, bazo, estómago, colon, apéndice, ganglio linfático, tráquea y testículo. También se detectó BCMA en adenolinfoma, linfoma no Hodgkin y tumor parotídeo, y se detectó tenuemente en células CD8⁺, CD19⁺, MLR, Daudi, Raji y Hut-78.

También se realizó un análisis por transferencia Northern usando ztnf4 murino (ID. SEC. nº 19), y, como con TACI, BCMA y BR43x2 humanos, la expresión de ztnf4 murino se detectó predominantemente en bazo y timo. También se expresaba ztnf4 murino en pulmón y se detectó una tenue expresión en piel y corazón.

El presente invento también proporciona moléculas polinucleotídicas, incluyendo moléculas de DNA y RNA, que codifican los polipéptidos BR43x2 aquí descritos. Los expertos en la técnica reconocerán fácilmente que, a la vista de la degeneración del código genético, es posible una considerable variación de secuencias entre estas moléculas polinucleotídicas. La ID. SEC. nº 11 es una secuencia de DNA degenerada que abarca todos los DNAs que codifican el polipéptido soluble BR43x2 de ID. SEC. nº 4. Similarmente, la ID. SEC. nº 12 es una secuencia de DNA degenerada que abarca todos los DNAs que codifican el polipéptido BR43x2 de ID. SEC. nº 2. Los expertos en la técnica reconocerán que la secuencia degenerada de ID. SEC. nº 12 también proporciona todas las secuencias de RNA que codifican la ID. SEC. nº 4 sustituyendo T por U. De este modo, los polinucleótidos que codifican el polipéptido BR43x2 y comprenden del nucleótido 1 al nucleótido 360 de la ID. SEC. nº 11, del nucleótido 1 al 741 de la ID. SEC. nº 12 y sus equivalentes de RNA están contemplados por el presente invento. En la Tabla 1 se exponen los códigos de una letra usados en las ID. SEC. nº 11 y 12 para representar posiciones nucleotídicas degeneradas. "Resoluciones" son los nucleótidos representados por una letra del código. "Complemento" indica el código para el(los) nucleótido (s) complementario(s). Por ejemplo, el código Y representa C o T, y su complemento R representa A o G, siendo A complementario de T y siendo G complementario de C.

TABLA 1

40	Nucleótido	Resolución	Complemento	Resolución
	A	A	T	T
	C	C	G	G
45	G	G	C	C
	T	T	A	A
	R	A/G	Y	C/T
	Y	C/T	R	A/G
50	M	A/C	K	G/T
30	K	G/T	M	A/C
	S	C/G	S	C/G
	W	A/T	W	A/T
	Н	A/C/T	D	A/G/T
55	В	C/G/T	V	A/C/G
	V	A/C/G	В	C/G/T
	D	A/G/T	Н	A/C/T
	N	A/C/G/T	N	A/C/G/T
60				

En la Tabla 2 se exponen los codones degenerados utilizados en las ID. SEC. nºs 11 y 12, que abarcan todos los posibles codones para un aminoácido dado.

TABLA 2

	Aminoácido	Código de una letra	Codones	Codón degenerado
5	Cys	С	TGC TGT	TGY
	Ser	S	AGC AGT TCA TCC TCG TCT	WSN
	Thr	T	ACA ACC ACG ACT	ACN
	Pro	P	CCA CCC CCG CCT	CCN
10	Ala	A	GCA GCC GCG GCT	GCN
	Gly	G	GGA GGC GGG GGT	GGN
	Asn	N	AAC AAT	AAY
	Asp	D	GAC GAT	GAY
15	Glu	E	GAA GAG	GAR
	Gln	Q	CAA CAG	CAR
	His	Н	CAC CAT	CAY
	Arg	R	AGA AGG CGA CGC CGG CGT	MGN
20	Lys	K	AAA AAG	AAR
	Met	M	ATG	ATG
	Ile	I	ATA ATC ATT	ATH
	Leu	L	CTA CTC CTG CTT TTA TTG	YTN
25	Val	V	GTA GTC GTG GTT	GTN
23	Phe	F	TTC TTT	TTY
	Tyr	Y	TAC TAT	TAY
	Trp	W	TGG	TGG
20	Ter	•	TAA TAG TGA	TRR
30	Asn/Asp	В		RAY
	Glu/Gln	Z		SAR
	Cualquiera	X		NNN

Quien tiene una experiencia normal en la técnica apreciará que se introduce cierta ambigüedad a la hora de determinar un codón degenerado, representativo de todos los posibles codones que codifican cada aminoácido. Por ejemplo, el codón degenerado para serina (WSN) puede, en algunas circunstancias, codificar arginina (AGR), y el codón degenerado para arginina (MGN) puede, en algunas circunstancias, codificar serina (AGY). Existe una relación similar entre los codones que codifican fenilalanina y leucina. De este modo, algunos polinucleótidos abarcados por la secuencia degenerada pueden codificar secuencias de aminoácidos variantes, aunque quien tiene una experiencia normal en la técnica puede identificar fácilmente dichas secuencias variantes por referencia a las secuencias de aminoácidos de las ID. SEC. nºs 2 y 4. Las secuencias variantes pueden ser fácilmente ensayadas en cuanto a funcionalidad del modo aquí descrito.

45

Quien tiene una experiencia normal en la técnica también apreciará que especies diferentes pueden presentar "utilización de codones preferentes"; véanse, en general, Grantham et al., Nuc. Acids Res. 8: 1.893-912, 1.980; Haas et al., Curr. Biol. 6: 315-24, 1.996; Wain-Hobson et al., Gene 13: 355-64, 1.981; Grosjean y Fiers, Gene 18: 199-209, 1.982; Holm, Nuc. Acids Res. 14: 3.075-87, 1.986; e Ikemura, J. Mol. Biol. 158: 573-97, 1.982. Como se usa aquí, la expresión "utilización de codones preferentes" o "codones preferentes" es una expresión de la técnica que se refiere a los codones de traducción a proteínas que son más frecuentemente usados en las células de ciertas especies, favoreciéndose por ello uno o algunos codones representativos de los posibles codones que codifican cada aminoácido (véase la Tabla 2). Por ejemplo, el aminoácido treonina (Thr) puede ser codificado por ACA, ACC, ACG o ACT pero, en células de mamífero, ACC es el codón más comúnmente usado; en otras especies, tales como, por ejemplo, células de insectos, levaduras, virus o bacterias, codones de Thr diferentes pueden ser preferentes. Codones preferentes para una especie particular pueden ser introducidos en los polinucleótidos del presente invento mediante una diversidad de métodos conocidos en la técnica. La introducción de secuencias de codones preferentes en DNA recombinante puede, por ejemplo, potenciar la producción de la proteína al hacer que la traducción a proteína sea más eficaz en un tipo celular o una especie particulares. Por lo tanto, las secuencias de codones degenerados descritas en las ID. SEC. nos 11 y 12 sirven como un molde para optimizar la expresión de polinucleótidos en diversos tipos celulares y especies comúnmente usados en la técnica y aquí descritos. Las secuencias que contienen codones preferentes pueden ser ensayadas y optimizadas en cuanto a expresión en diversas especies, y ensayadas en cuanto a funcionalidad del modo aquí descrito.

Los aminoácidos muy conservados de la seudorrepetición rica en cisteína de BR43x2 pueden ser usados como una herramienta para identificar nuevos miembros de la familia. Por ejemplo, puede usarse transcripción inversa-reacción en cadena de la polimerasa (RT-PCR; del inglés, reverse transcription-PCR) para multiplicar secuencias que codifican el dominio extracelular ligante de ligandos, anteriormente descrito, a partir de RNA obtenido de una diversidad de

fuentes tisulares o líneas celulares. En particular, son útiles para este fin los cebadores muy degenerados diseñados a partir de las secuencias de BR43x2.

En realizaciones preferidas del invento, polinucleótidos aislados se hibridarán con regiones de tamaño similar de la ID. SEC. nº 3 o con una secuencia complementaria de las mismas, bajo condiciones rigurosas. En general, se seleccionan condiciones rigurosas para que la temperatura sea aproximadamente 5°C menor que el punto de fusión térmica (T_m) de la secuencia específica a una fuerza iónica y un pH definidos. La T_m es la temperatura (bajo una fuerza iónica y un pH definidos) a la que el 50% de la secuencia diana se hibrida con una sonda que presenta un apareamiento perfecto. Son condiciones rigurosas típicas aquéllas en que la concentración de sal es hasta aproximadamente 0,03 M a un pH de 7 y la temperatura es al menos aproximadamente 60°C.

Como se indicó previamente, los polinucleótidos aislados del presente invento incluyen DNA y RNA. Los métodos para aislar DNA y RNA son bien conocidos en la técnica. Se prefiere generalmente aislar RNA de células RPMI 1788, células mononucleares de sangre periférica (PBMNC; del inglés, peripheral blood mononuclear cell), células B transfectadas en reposo o activadas o tejido amigdalino, aunque el DNA puede también ser preparado usando RNA de otros tejidos o ser aislado como DNA genómico. Puede prepararse RNA total usando extracción con guanidina HCl, seguida de aislamiento por centrifugación en gradiente de CsCl (Chirgwin et al., Biochemistry 18: 52-94, 1.979). Se prepara Poli(A) + RNA a partir de RNA total usando el método de Aviv y Leder (Proc. Natl. Acad. Sci. USA 69: 1.408-12, 1.972). Se prepara DNA complementario (cDNA) a partir de Poli(A) + RNA usando métodos conocidos. Los polinucleótidos que codifican polipéptidos BR43x2 son luego identificados y aislados mediante, por ejemplo, hibridación o PCR.

Los expertos en la técnica reconocerán que las secuencias descritas en las ID. SEC. nos 1 y 3 representan un único alelo del gen humano y que se espera que tenga lugar variación alélica y remodelación alternativa. Las variantes alélicas de las secuencias de DNA mostradas en las ID. SEC. nos 1 y 3, incluyendo aquéllas que contienen mutaciones silenciosas y aquéllas en que las mutaciones dan lugar a cambios en la secuencia de aminoácidos, están dentro del alcance del presente invento, como lo están las proteínas que son variantes alélicas de las ID. SEC. nos 2 y 4. Las variantes alélicas y variantes de remodelación de estas secuencias pueden ser clonadas al sondar librerías de cDNA o genómicas procedentes de diferentes individuos o tejidos, de acuerdo con procedimientos estándares conocidos en la técnica.

Los polipéptidos receptores del presente invento, incluyendo polipéptidos receptores de longitud completa, polipéptidos receptores solubles, fragmentos polipeptídicos y polipéptidos de fusión, pueden ser producidos de acuerdo con técnicas convencionales en células huésped genéticamente creadas. Son células huésped adecuadas los tipos celulares que pueden ser transformados o transfectados con DNA exógeno y ser desarrollados en cultivo, e incluyen bacterias, células fúngicas, y células eucarióticas superiores en cultivo. Se prefieren las células eucarióticas, particularmente células cultivadas de organismos multicelulares. Sambrook et al., Molecular Cloning: A Laboratory Manual, segunda edición, Cold Spring Harbor, New York, EE.UU., 1.989, y Ausubel et al., redactores, Current Protocols in Molecular Biology, John Wiley and Sons, Inc., New York, EE.UU., 1.987, describen técnicas para manipular moléculas de DNA clonadas e introducir DNA exógeno en una diversidad de células huésped.

En general, una secuencia de DNA que codifica un polipéptido BR43x2 está operativamente enlazada a otros elementos genéticos requeridos para su expresión, que incluyen generalmente un promotor y un terminador de transcripción, dentro de un vector de expresión. El vector también contendrá comúnmente uno o más marcadores seleccionables y uno o más orígenes de replicación, aunque los expertos en la técnica reconocerán que, en ciertos sistemas, los marcadores seleccionables pueden disponerse en vectores separados y que la replicación del DNA exógeno puede obtenerse por integración en el genoma de la célula huésped. La selección de promotores, terminadores, marcadores seleccionables, vectores y otros elementos es una cuestión de proyecto rutinario dentro del nivel de experiencia normal en la técnica. Muchos de tales elementos son descritos en la bibliografía y son asequibles de proveedores comerciales.

50

Para dirigir un polipéptido BR43x2 a la ruta secretora de una célula huésped, se proporciona una secuencia señal secretora (también conocida como secuencias señal, secuencia líder, preprosecuencia o presecuencia) en el vector de expresión. La secuencia señal secretora puede ser la del polipéptido BR43x2 o puede proceder de otra proteína secretada (por ejemplo, t-PA) o ser sintetizada *de novo*. La secuencia señal secretora es unida a la secuencia de DNA de BR43x2 en el marco de lectura correcto y es colocada para que dirija el polipéptido recién sintetizado a la ruta secretora de la célula huésped. Las secuencias señal secretoras se colocan comúnmente en 5° con respecto a la secuencia de DNA que codifica el polipéptido de interés, aunque ciertas secuencias señal pueden ser colocadas en otro sitio de la secuencia de DNA de interés (véanse, por ejemplo, Welch et al., Patente de EE.UU. nº 5.037.743, y Holland et al., Patente de EE.UU. nº 5.143.830.

Las células de mamífero en cultivo son huéspedes adecuados en el presente invento. Los métodos para introducir DNA exógeno en células huésped de mamífero incluyen transfección mediada por fosfato cálcico (Wigler et al., Cell 14: 725, 1.978; Corsaro y Pearson, Somatic Cell Genetics 7: 603, 1.981; y Graham y Van der Eb, Virology 52: 456, 1.973), electroporación (Neumann et al., EMBO J. 1: 841-45, 1.982), transfección mediada por dietilaminoetil (DEAE)-dextrano (Ausubel et al., ibídem), y transfección mediada por liposomas (Hawley-Nelson et al., Focus 15: 73, 1.993; y Ciccarone et al., Focus 15: 80, 1.993). La producción de polipéptidos recombinantes en células de mamífero en cultivo es descrita, por ejemplo, por Levinson et al., Patente de EE.UU. nº 4.713.339; Hagen et al., Patente de EE.UU. nº 4.784.950; Palmiter et al., Patente de EE.UU. nº 4.579.821; y Ringold, Patente de EE.UU. nº 4.656.134.

Las células de mamífero en cultivo adecuadas incluyen las células COS-1 (ATCC n° CRL 1650), COS-7 (ATCC n° CRL 1651), BHK (ATCC n° CRL 1632), BHK 570 (ATCC n° CRL 10314), 293 (ATCC n° CRL 1573; Graham et al., J. Gen. Virol. 36: 59-72, 1.977), Jurkat (ATCC n° CRL-8129), BaF3 (una línea celular prelinfoide dependiente de la interleuquina 3, procedente de médula ósea murina; véanse Palacios y Steinmetz, Cell 41: 727-34, 1.985, y Mathey-Prevot et al., Mol. Cell. Biol. 6: 4.133-5, 1.986) y líneas celulares de ovario de hámster chino (por ejemplo, CHO-K1, ATCC n° CCL 61). Líneas celulares adecuadas adicionales son conocidas en la técnica y son asequibles de depositarías públicas tales como la Colección Americana de Cultivos Tipo (ATCC; del inglés, American Type Culture Collection), Rockville, Maryland, EE.UU. En general, se prefieren promotores de transcripción potentes, tales como promotores del virus 40 de simios (SV-40; del inglés, simian virus 40) o citomegalovirus; véase, por ejemplo, la Patente de EE.UU. n° 4.956.288. Otros promotores adecuados incluyen los de genes de la metalotioneína (Patentes de EE.UU. n° 4.579.821 y 4.601.978) y el promotor tardío principal de adenovirus.

Se usa generalmente la selección por fármacos para seleccionar las células de mamífero en cultivo en que se ha insertado DNA extraño. A dichas células se hace comúnmente referencia como "transfectantes". A las células que han sido cultivadas en presencia del agente selectivo y son capaces de pasar el gen de interés a su progenie se hace referencia como "transfectantes estables". Un marcador seleccionable preferido es un gen que codifica resistencia al antibiótico neomicina. La selección es llevada a cabo en presencia de un fármaco de tipo neomicina, tal como G-418 o similar. Pueden usarse también sistemas de selección para aumentar el nivel de expresión del gen de interés, un procedimiento al que se hace referencia como "multiplicación". La multiplicación es llevada a cabo cultivando transfectantes en presencia de un bajo nivel del agente selectivo y aumentando luego la cantidad de agente selectivo para seleccionar las células que producen niveles elevados de los productos de los genes introducidos. Un marcador seleccionable y multiplicable preferido es la dihidrofolato reductasa (DHFR), que confiere resistencia al metotrexato. Pueden usarse también otros genes de resistencia a fármacos (por ejemplo, resistencia a higromicina, resistencia a múltiples fármacos, y puromicina acetiltransferasa). Pueden usarse marcadores alternativos que introducen un fenotipo alterado, tal como la proteína fluorescente verde, o proteínas de la superficie celular, tales como CD4, CD8, proteínas del complejo principal de histocompatibilidad (MHC; del inglés, major histocompatibility complex) de Clase I, y fosfatasa alcalina placentaria, para diferenciar células transfectadas de células no transfectadas por medios tales como la clasificación por fluorescencia de células activadas (FACS; del inglés, fluorescence activated cell sorting) o la tecnología de separación por glóbulos magnéticos.

15

30

Pueden usarse también otras células eucarióticas superiores como huéspedes, incluyendo células vegetales, células de insecto y células aviares. El uso de Agrobacterium rhizogenes como un vector para expresar genes en células vegetales ha sido revisado por Sinkar et al., <u>J. Biosci.</u> (Bangalore) 11: 47-58, 1.987. La transformación de células de insecto y la producción de polipéptidos extraños en ellas son descritas por Guarino et al., Patente de EE.UU. nº 5.162.222 y la publicación WIPO WO 94/06463. Las células de insecto pueden ser infectadas con un baculovirus recombinante, comúnmente procedente del virus de la polihedrosis nuclear de Autographa californica (AcNPV; del inglés, Autographa californica nuclear polyhedrosis virus); véanse King y Possee, The Baculovirus Expressio System: A Laboratory Guide, Londres, Chapman & Hall; O'Reilly et al., Baculovirus Expression Vectors: A Laboratory Manual, New York, Oxford University Press, 1.994; y Richardson, redactor, Baculovirus Expression Protocols. Methods in Molecular Biology, Totowa, New Jersey, EE.UU., Humana Press, 1.995. En un segundo método para preparar un baculovirus con BR43x2 recombinante se usa un sistema basado en transposones descrito por Luckow (Luckow et al., J. Virol. 67: 4.566-79, 1.993). Este sistema, en el que se utilizan vectores de transferencia, es vendido en el conjunto Bac-to-BacTM (Life Technologies, Rockville, Maryland, EE.UU.). En este sistema se utiliza un vector de transferencia, pFastBac1TM (Life Technologies), que contiene un transposón Tn7 para introducir el DNA que codifica el polipéptido BR43x2 en un genoma de baculovirus mantenido en E. coli como un plásmido grande llamado "bácmido"; véanse, Hill-Perkins y Possee, <u>J. Gen. Virol.</u> 71: 971-6, 1.990; Bonning et al., <u>J. Gen. Virol.</u> 75: 1.551-6, 1.994; y Chazenbalk y Rapoport, <u>J. Biol. Chem.</u> <u>270</u>: 1.543-9, 1.995. Además, los vectores de transferencia pueden incluir una fusión en marco con DNA que codifica una etiqueta epitópica en el extremo C o N del polipéptido BR43x2 expresado, por ejemplo, una etiqueta epitópica Glu-Glu (Grussenmeyer et al., Proc. Natl. Acad. Sci. 82: 7.952-4, 1.985). Usando una técnica conocida en este campo técnico, se transforma E. coli con un vector de transferencia que contiene BR43x2 y se explora el vector en cuanto a bácmidos que contienen un gen LacZ interrumpido, indicativo de baculovirus recombinante. El DNA bacmídico que contiene el genoma de baculovirus recombinante es aislado usando técnicas habituales y es usado para transfectar células de Spodoptera frugiperda, por ejemplo, células Sf9. Posteriormente se produce el virus recombinante que expresa BR43x2. Se preparan reservas víricas recombinantes mediante métodos comúnmente usados en la técnica.

El virus recombinante es usado para infectar células huésped, típicamente una línea celular procedente del gusano cogollero del maíz, *Spodoptera frugiperda*; véase, en general, Glick y Pasternak, <u>Molecular Biotechnology: Principles and Applications of Recombinant DNA</u>, ASM Press, Washington, Distrito de Columbia, EE.UU., 1.994. Otra línea celular adecuada es la línea celular High FiveOTM (Invitrogen) procedente de *Trichoplusia ni* (Patente de EE.UU. nº 5.300.435). Se usan medios exentos de suero comercialmente asequibles para desarrollar y mantener las células. Son medios adecuados: Sf900 IITM (Life Technologies) y ESF 921TM (Expression Systems) para las células Sf9, y Ex-cellO405TM (JRH Biosciences, Lenexa, Kansas, EE.UU.) y Express FiveOTM (Life Technologies) para las células de *T. ni*. Las células son desarrolladas desde una densidad de inoculación de aproximadamente 2-5 x 10⁵ células hasta una densidad de 1-2 x 10⁶ células, momento en que una reserva vírica recombinante es añadida con una multiplicidad de infección (MOI; del inglés, <u>m</u>ultiplicity of infection) de 0,1 a 10, más típicamente próxima a 3. Los procedimientos usados son generalmente descritos en manuales de laboratorio asequibles (King y Possee, ibídem; O'Reilly et al.,

ibídem; Richardson, ibídem). La subsiguiente purificación del polipéptido BR43x2 a partir del sobrenadante puede realizarse usando métodos aquí descritos.

Pueden también usarse células fúngicas, incluyendo células de levadura, en el presente invento. Las especies de levadura de particular interés a este respecto incluyen Saccharomyces cerevisiae, Pichia pastoris y Pichia methanolica. Métodos para transformar células de S. cerevisiae con DNA exógeno y producir polipéptidos recombinantes a partir de las mismas son descritos, por ejemplo, por Kawasaki, Patente de EE.UU. nº 4.599.311; Kawasaki et al., Patente de EE.UU. nº 4.931.373; Brake, Patente de EE.UU. nº 4.870.008; Welch et al., Patente de EE.UU. nº 5.037.743; y Murray et al., Patente de EE.UU. nº 4.845.075. Las células transformadas son seleccionadas mediante el fenotipo determinado por el marcador seleccionable, comúnmente la resistencia a fármacos o la capacidad para crecer en ausencia de un nutriente concreto (por ejemplo, leucina). Un sistema vector preferido para uso en Saccharomyces cerevisiae es el sistema vector POTI descrito por Kawasaki et al. (Patente de EE.UU. nº 4.931.373), que permite que las células transformadas sean seleccionadas mediante crecimiento en medios que contienen glucosa. Los promotores y terminadores adecuados para uso en levadura incluyen los de genes de enzimas glicolíticas (véanse, por ejemplo, Kawasaki, Patente de EE.UU. nº 4.599.311; Kingsman et al., Patente de EE.UU. nº 4.615.974; y Bitter, Patente de EE.UU. nº 4.977.092) y genes de alcohol deshidrogenasa; véanse también las Patentes de EE.UU. números 4.990.446, 5.063.154, 5.139.936 y 4.661.454. En la técnica se conocen sistemas de transformación para otras levaduras, incluyendo Hansenula polymorpha, Schizosaccharomyces pombe, Kluyveromyces lactis, Kluyveromyces fragilis, Ustilago maydis, Pichia pastoris, Pichia methanolica, Pichia guillermondii y Candida maltosa; véanse, por ejemplo, Gleeson et al., J. Gen. Microbiol. 132: 3.459-65, 1.986, y Cregg, Patente de EE.UU. nº 4.882.279. Pueden utilizarse células de Aspergillus de acuerdo con los métodos de McKnight et al., Patente de EE.UU. nº 4.935.349. Sumino et al., Patente de EE.UU. nº 5.162.228, describen métodos para transformar Acremonium chrysogenum. Lambowitz, Patente de EE.UU. nº 4.486.533, describe métodos para transformar *Neurospora*.

Por ejemplo, el uso de Pichia methanolica como huésped para la producción de proteínas recombinantes es descrito por Raymond, Patente de EE.UU. nº 5.716.808, Raymond, Patente de EE.UU. nº 5.736.383, Raymond et al., Yeast 14: 11-23, 1.998, y en la publicaciones internacionales nos WO 97/17450, WO 97/17451, WO 98/02536 y WO 98/02565. Las moléculas de DNA para uso en la transformación de P. methanolica serán comúnmente preparadas como plásmidos circulares de doble cadena que son preferiblemente linealizados antes de la transformación. Para la producción de polipéptidos en P. methanolica, se prefiere que el promotor y el terminador del plásmido sean los de un gen de P. methanolica, tal como un gen de utilización de alcohol de P. methanolica (AUG1 o AUG2). Otros promotores útiles incluyen los de los genes de dihidroxiacetona sintetasa (DHAS), formiato deshidrogenasa (FMD) y catalasa (CAT). Para facilitar la integración del DNA en el cromosoma huésped, se prefiere tener el segmento de expresión completo del plásmido flanqueado por secuencias de DNA huésped en ambos extremos. Un marcador seleccionable preferido para utilización en *Pichia methanolica* es un gen *ADE2* de *P. methanolica*, que codifica fosforribosil-5-aminoimidazol carboxilasa (AIRC; EC 4.1.1.21), que permite que células huésped ade2 se desarrollen en ausencia de adenina. Para procesos industriales a gran escala en que es deseable minimizar el uso de metanol, se prefiere usar células huésped en que estén suprimidos ambos genes de utilización de metanol (AUG1 y AUG2). Para la producción de proteínas secretadas, se prefieren células huésped deficientes en cuanto a genes de proteasas vacuolares (PEP4 y PRBÎ). Se usa electroporación para facilitar la introducción de un plásmido que contiene DNA que codifica un polipéptido de interés en células de P. methanolica. Se prefiere transformar células de P. methanolica por electroporación usando un campo eléctrico de impulsos, que decae exponencialmente, que tiene una intensidad de campo de 2,5 a 4,5 kV/cm, preferiblemente de aproximadamente 3,75 kV/cm, y una constante de tiempo (t) de 1 a 40 milisegundos, muy preferiblemente de aproximadamente 20 milisegundos.

2.5

Las células huésped procarióticas, incluyendo cepas de las bacterias *Escherichia coli, Bacillus* y otros géneros, son también células huésped útiles en el presente invento. Las técnicas para transformar estos huéspedes y hacer que se expresen secuencias de DNA extrañas en ellos clonadas son bien conocidas en este campo técnico (véase, por ejemplo, Sambrook et al., ibídem). Cuando se expresa un polipéptido BR43x2 en bacterias tales como *E. coli*, el polipéptido puede quedar retenido en el citoplasma, típicamente como gránulos insolubles, o puede ser dirigido al espacio periplásmico por una secuencia de secreción bacteriana. En el primer caso, las células son lisadas y los gránulos son recuperados y son desnaturalizados usando, por ejemplo, urea o isotiocianato de guanidina. El polipéptido desnaturalizado puede luego volverse a plegar y dimerizarse al diluir el agente desnaturalizante, tal como mediante diálisis frente a una disolución de urea y una combinación de glutatión reducido y oxidado, seguida de diálisis frente a una disolución salina tamponada. En el segundo caso, el polipéptido puede ser recuperado del espacio periplásmico en una forma soluble y funcional al romper las células (mediante, por ejemplo, sonicación o choque osmótico) para que liberen los contenidos del espacio periplásmico y recuperar la proteína, obviándose por ello la necesidad de desnaturalización y replegadura.

Las células huésped transformadas o transfectadas son cultivadas de acuerdo con procedimientos convencionales en un medio de cultivo que contiene nutrientes y otros componentes requeridos para el desarrollo de las células huésped escogidas. En la técnica se conoce una diversidad de medios adecuados, incluyendo medios definidos y medios complejos, medios que incluyen generalmente una fuente de carbono, una fuente de nitrógeno, aminoácidos esenciales, vitaminas y minerales. Los medios pueden también contener componentes tales como factores de crecimiento o suero, según se requiera. El medio de desarrollo seleccionará generalmente las células que contengan el DNA exógenamente añadido, mediante, por ejemplo, selección por fármacos o deficiencia en un nutriente esencial que es complementado por el marcador seleccionable llevado por el vector de expresión o introducido por cotransfección en la célula huésped. Las células de *P. methanolica* son cultivadas en un medio que comprende fuentes adecuadas de carbono, nitrógeno

y oligonutrientes a una temperatura de aproximadamente 25°C a 35°C. Los cultivos líquidos son provistos de una aireación suficiente por medios convencionales, tales como el sacudimiento de pequeños matraces o el burbujeo en fermentadores. Un medio de cultivo preferido para *P. methanolica* es YEPD [D-glucosa al 2%, peptona BactoTM (Difco Laboratories, Detroit, Michigan, EE.UU.) al 2%, extracto de levadura BactoTM (Difco Laboratories) al 1%, adenina al 0,004% y L-leucina al 0,006%].

Los polipéptidos BR43x2 recombinantes expresados (o polipéptidos BR43x2 quiméricos o de fusión) pueden ser purificados usando fraccionamiento y/o métodos y medios para purificación convencionales. Se prefiere obtener las proteínas o polipéptidos del presente invento en una forma muy purificada, es decir, con una pureza superior a 95%, más preferiblemente superior a 99%. Pueden usarse precipitación por sulfato amónico y extracción por ácidos o agentes caotrópicos para el fraccionamiento de las muestras. Las operaciones de purificación ejemplares pueden incluir hidroxiapatito, exclusión por tamaños, cromatografía líquida de resolución rápida para proteínas y cromatografía líquida de alta eficacia en fase inversa. Los medios de intercambio aniónico adecuados incluyen dextranos derivatizados, agarosa, celulosa, poliacrilamida, sílices especiales. y similares. Se prefieren los derivados de PEI, DEAE, QAE y Q, siendo particularmente preferido el DEAE Fast-Flow Sepharose (Pharmacia, Piscataway, New Jersey, EE.UU.). Los medios cromatográficos ejemplares incluyen los medios derivatizados con grupos fenilo, butilo u octilo, tales como Phenyl-Sepharose FF (Pharmacia), Toyopearl Butyl 650 (Toso Haas, Montgomeryville, Pennsylvania, EE.UU.), Octyl-Sepharose (Pharmacia) y similares; y resinas poliacrílicas tales como Amberchrom CG 71 (Toso Haas) y similares. Los soportes sólidos adecuados incluyen glóbulos de vidrio, resinas basadas en sílice, resinas celulósicas, glóbulos de agarosa, glóbulos de agarosa reticulada, glóbulos de poliestireno, resinas de poliacrilamida reticulada y similares, que son insolubles bajo las condiciones en que se van a usar. Estos soportes pueden ser modificados con grupos reactivos que permiten la fijación de proteínas por grupos amino, grupos carboxilo, grupos sulfhidrilo, grupos hidroxilo y/o restos de carbohidrato. Los ejemplos de químicas de copulación incluyen activación con bromuro de cianógeno, activación con N-hidroxisuccinimida, activación con epóxido, activación con sulfhidrilo, activación con hidrazida, y derivados carboxílicos y amínicos para químicas de copulación con carbodiimida. Estos y otros medios sólidos son bien conocidos y ampliamente usados en la técnica, y son asequibles de proveedores comerciales. Los métodos para unir polipéptidos receptores a medios de soporte son bien conocidos en la técnica. La selección de un método concreto es una cuestión de diseño rutinario y viene determinada en parte por las propiedades del soporte elegido; véase, por ejemplo, Affinity Chromatography: Principles Methods, Pharmacia LKB Biotechnology, Uppsala, Suecia, 1.988.

Los polipéptidos del presente invento pueden ser aislados por explotación de sus propiedades físicas. Por ejemplo, puede usarse cromatografía de adsorción sobre iones metálicos inmovilizados (IMAC; del immobilized metal ion adsorption chromatography) para purificar proteínas ricas en histidina, incluyendo las que comprenden etiquetas de polihistidina. En resumen, se carga primero un gel con iones metálicos divalentes para formar un quelato (Sulkowski, Trends in Biochem. 3: 1-7, 1.985). Las proteínas ricas en histidina quedarán adsorbidas en esta matriz con diferentes afinidades, que dependerán del ion metálico usado, y serán eluidas por elución competitiva, reducción del pH o uso de agentes quelantes fuertes. Otros métodos de purificación incluyen la purificación de proteínas glicosiladas por cromatografía de afinidad sobre lectina y cromatografía de intercambio iónico (Methods in Enzymol., volumen 182, "Guide to Protein Purification", redactado por M. Deutscher, Acad. Press, San Diego, 1.990, páginas 529-39). En realizaciones adicionales del invento, puede construirse una fusión del polipéptido de interés y una etiqueta de afinidad {por ejemplo, proteína ligante de maltosa, etiqueta FLAG [Asp Tyr Lys Asp Asp Asp Asp Lys (ID. SEC. nº 13)], etiqueta Glu-Glu [Glu Glu Tyr Met Pro Met Glu (ID. SEC. nº 14)] o un dominio inmunoglobulínico} para facilitar la purificación.

30

45

50

60

Pueden usarse ventajosamente procedimientos para la replegadura (y, opcionalmente, reoxidación) de proteínas. Se prefiere purificar la proteína hasta una pureza > 80%, más preferiblemente hasta una pureza > 90% y, aún más preferiblemente, > 95%, y se prefiere particularmente un estado farmacéuticamente puro, es decir, más de 99,9% puro con respecto a macromoléculas contaminantes, particularmente otras proteínas y ácidos nucleicos, y exento de agentes infecciosos y pirógenos. Preferiblemente, una proteína purificada está sustancialmente exenta de otras proteínas, particularmente de otras proteínas de origen animal.

Los polipéptidos BR43x2 pueden ser también preparados mediante síntesis química. Los polipéptidos BR43x2 ejemplares incluyen polipéptidos con una longitud de 32-40 restos, que tienen una secuencia de aminoácidos que se ajusta al motivo: XXCX [QEK] [QEKNRDHS] [QE] X {0-2} [YFW] [YFW] DXLLX {2} C [IMLV] XCX {3} CX {6-8} CX {2} [YF] CXX (ID. SEC. n° 10), y sujeta a las limitaciones aquí descritas.

Los polipéptidos BR43x2 pueden ser sintetizados mediante síntesis exclusivamente en fase sólida, métodos parcialmente en fase sólida, condensación de fragmentos o síntesis clásica en disolución. Los polipéptidos son preferiblemente preparados mediante síntesis peptídica en fase sólida.

El presente invento proporciona además una diversidad de otras fusiones polipeptídicas y proteínas multímeras relacionadas que comprenden una o más fusiones polipeptídicas. Un polipéptido BR43x2, TACI o BCMA soluble puede expresarse como una fusión con una región constante de cadena pesada de inmunoglobulina, típicamente un fragmento F_c , que contiene dos dominios de región constante y carece de la región variable. En las Patentes de EE.UU. n^{os} 5.155.027 y 5.567.584 se describen métodos para preparar tales fusiones. Tales fusiones son típicamente secretadas como moléculas multímeras en que las porciones F_c están unidas entre sí por enlaces disulfuro y dos polipéptidos no inmunoglobulínicos están dispuestos en estrecha proximidad entre sí. Las fusiones de inmunoglobulina-polipéptido BR43x2 (TACI o BCMA) pueden expresarse en células genéticamente creadas, para producir una diversidad de

compuestos análogos a BR43x2 multímeros. Pueden fusionarse dominios auxiliares a polipéptidos BR43x2 (TACI o BCMA) para dirigirlos a células, tejidos o macromoléculas específicos. Pueden prepararse también fusiones usando toxinas, como aquí se discute. De este modo, polipéptidos y proteínas pueden ser dirigidos con fines terapéuticos o diagnósticos. Un polipéptido BR43x2 puede ser fusionado con dos o más grupos, tales como una etiqueta de afinidad para purificación y un dominio de direccionamiento. Las fusiones polipeptídicas pueden comprender también uno o más sitios de escisión, particularmente entre dominios; véase Tuan et al., Connect. Tiss. Res. 34: 1-9, 1.996.

El invento también proporciona receptores BR43x2 solubles y fragmentos polipeptídicos usados para formar proteínas de fusión con marcadores o etiquetas de afinidad. Las proteínas de fusión de BR43x2 soluble-etiqueta de afinidad se usan, por ejemplo, para identificar los ligandos de BR43x2 así como los agonistas y antagonistas del ligando natural. Usando BR43x2 soluble marcado, las células que expresan el ligando, agonistas o antagonistas son identificadas por inmunocitometría o inmunohistoquímica de fluorescencia. Las proteínas de fusión solubles son útiles para estudiar la distribución del ligando en tejidos o linajes celulares específicos y para hacerse una idea de la biología de receptores/ligandos.

Para purificar el ligando, agonistas o antagonistas, se añade una proteína de fusión de BR43x2-Ig a una muestra que contiene el ligando, agonista o antagonista bajo unas condiciones que facilitan la unión receptor-ligando (típicamente una temperatura, un pH y una fuerza iónica casi fisiológicos). El complejo receptor- ligando es luego separado de la mezcla usando proteína A que está inmovilizada sobre un soporte sólido (por ejemplo, glóbulos de resina insoluble). El ligando, agonista o antagonista es luego eluido usando técnicas químicas convencionales, tal como con un gradiente de sal o pH. Como alternativa, la propia proteína de fusión puede ser unida a un soporte sólido, llevándose a cabo la unión y la elución como antes. Los medios resultantes estarán generalmente configurados en forma de una columna, y los fluidos que contienen el ligando son hechos pasar a través de la columna una o más veces para permitir que el ligando se una al polipéptido receptor. El ligando es luego eluido usando cambios de concentración salina, agentes caotrópicos (MnCl₂) o pH para deshacer la unión ligando-receptor.

Para dirigir la exportación del receptor soluble desde la célula huésped, el DNA del receptor soluble es unido a un segundo segmento de DNA que codifica un péptido secretor, tal como un péptido secretor t-PA. Para facilitar la purificación del dominio receptor secretado, una extensión N- o C-terminal, tal como una etiqueta de afinidad u otro polipéptido o proteína para el que se dispone de un anticuerpo u otro agente ligante específico, puede ser fusionada con el polipéptido receptor.

En la Figura 2 se muestra un análisis gráfico de Scatchard para la unión de I¹²⁵-ztnf4 soluble a TACI y BCMA, y en la Tabla 7 se compara con las constantes de unión de otros miembros de la familia de TNFR.

TABLA 7

		I	I
Ligando	Kd M	Fuente celular	Referencia
TNFa alto	7,14E-11	HL-60	a
TNFa bajo	3,26E-10	HEP-2	a
TNFa alto	2,00E-10	HL-60	b
CD27L	3,70E-10	MP-1	с
CD27L	8,30E-09	MP-1	С
CD40L	5,00E-10	EL40.5	d
CD40L	1,00E-09	EBNA	d
(125I-CD40)			

65

15

35

40

45

50

55

TABLA 7 (continuación)

Ligando	Kd M	Fuente celular	Referencia
4-1BBL	1,16E-09	Biacore	e
Anti-41BBmab	4,14E-10	Biacore	e
ztnf4 sol.	1,11E-09	TACI-BHK	
ztnf4 sol.	1,25E-09	ВСМА-ВНК	

a Hohmann et al., J. Biol. Chem. 264: 14.927-34, 1.989

b Manna y Aggarwal, <u>J. Biol. Chem.</u> <u>273</u>: 33.333-41, 1.998

c Goodwin et al., Cell 73: 447-56, 1.993

5

10

15

20

d Armitage et al., Nature 357: 80-82, 1.992

e Shuford et al., J. Exp. Med. 186: 47-55, 1.997

Mediante análisis por FACS (Flow Cytometry and Sorting, redactado por Melamed et al., Wiley-Liss, 1.990, e Immunofluorescence and Cell Sorting, Current Protocols in Immunology, volumen 1, redactado por Coligan et al., John Wiley & Son, 1.997), se halló que ztnf4 (5 ng/ml) se une a BR43x2 (ID. SEC. n° 2), TACI (ID. SEC. n° 6), BCMA (ID. SEC. nº 8) y BR43x1 (ID. SEC. nº 9). Usando análisis por FACS, también se mostró que ztnf4 soluble, marcado con FITC, se une específicamente a, entre otros, linfocitos B de PBMNCs, células amigdalinas, líneas celulares de linfomas de células B (Raji, linfoma humano de Burkitt, ATCC CCL86), Ramos (línea celular de linfoma de Burkitt, ATCC CRL-1596), Daudi (linfoma humano de Burkitt, ATCC CCL213) y RPMI 1788 (una línea celular de linfocitos B, ATCC CCL-156). No se vio unión con HL-60 (una línea celular promielocítica, ATCC CCL-240). La especificidad de la unión a células B procedentes de PBMNC y células amigdalinas fue confirmada por cotinción con anticuerpos hacia moléculas específicas de células B, incluyendo CD19, IgD, IgM y CD20. La similitud entre ztnf4 y CD40L sugería una distribución tisular más amplia que la vista. Usando, por ejemplo, ensayos de proliferación de citoquinas y proliferación de células T, se analizó la afinidad de ztnf4 por monocitos, células dendríticas y células T purificadas, y no pudo detectarse la unión de ztnf4 ni ningún otro efecto biológico sobre ningún otro tipo de célula analizada. Por lo tanto, la especificidad de las células B por el ligando y el receptor sugiere que son útiles para el estudio y el tratamiento de la autoinmunidad, cánceres de células B, inmunomodulación, enfermedad intestinal inflamatoria y patologías mediadas por anticuerpos, tales como, por ejemplo, púrpura trombocitopénica idiopática, miastenia gravis y similares, enfermedades renales, respuesta inmune de células T indirecta, rechazo de injertos, y enfermedad del injerto contra el huésped.

Se ha mostrado que ztnf4 activa células B dando lugar a proliferación de células B, producción de anticuerpos y suprarregulación de marcadores de activación in vitro (véanse los ejemplos posteriores). Puede que estos efectos requieran una coestimulación por medio de IL-4 u otras citoquinas, o una estimulación a través del receptor antigénico de la célula B u otros receptores de la superficie celular que activan las células B, es decir, CD40. Otros ligandos del factor de necrosis tumoral, tales como gp39 y TNF β , también estimulan la proliferación de células B. De este modo, los polipéptidos del invento actual pueden ser dirigidos para que regulen específicamente las respuestas de las células B, inhibiendo las células B activadas, durante la respuesta inmune sin que afecten a otras poblaciones celulares, lo que es ventajoso en el tratamiento de la enfermedad. Además, los polipéptidos del presente invento podrían ser usados para modular el desarrollo de células B, el desarrollo de otras células, la producción de anticuerpos y la producción de citoquinas. Los polipéptidos BR43x2 pueden hallar también uso en la inducción de apoptosis y/o anergia en células. Los polipéptidos del presente invento podrían también modular la comunicación entre células T y B al neutralizar los efectos proliferativos de ztnf4. Se dispone de bioensayos y ELISAs para medir la respuesta celular a ztnf4 en presencia de BR43x2, TACI y/o BCMA solubles. Otros ensayos incluyen aquellos en que se miden cambios en la producción de citoquinas como una medida de la respuesta celular (véase, por ejemplo, Current Protocols in Immunology, redactado por John E. Coligan et al., NIH, 1.996). Los ensayos para medir otras respuestas celulares incluyen isotipo de anticuerpo, activación de monocitos, formación de células asesinas naturales (NK; del inglés, natural killer), función de célula presentadora de antígeno (APC; del inglés, antigen presenting cell), y apoptosis.

Los polipéptidos BR43x2 del presente invento serían útiles en la preparación de un medicamento para neutralizar los efectos de ztnf4 con objeto de tratar leucemias de células B o pre-B, tales como leucemia de células plasmáticas, leucemia linfocítica crónica o aguda, mielomas tales como mieloma múltiple, mieloma de células plasmáticas, mieloma endotelial y mieloma de células gigantes; y linfomas tales como linfoma no Hodgkin, con las que se asocia un aumento de polipéptidos ztnf4. El BR43x2 soluble sería un componente útil de un medicamento para inhibir el progreso y la supervivencia de tumores.

Un análisis por transferencia Northern mostró que ztnf4 se expresa en células CD8⁺, monocitos, dendrocitos, y monocitos activados. Esto sugiere que, en algunos trastornos autoinmunes, células T citotóxicas podrían estimular la producción de células B a través de una producción de ztnf4 en exceso. Las proteínas inmunosupresoras que bloquean selectivamente la acción de los linfocitos B servirían para tratar la enfermedad. La producción de autoanticuerpos es común a diversas enfermedades autoinmunes y contribuye a la destrucción tisular y la exacerbación de la enfermedad. Los autoanticuerpos pueden conducir también a la existencia de complicaciones por depósitos de complejos inmunes y conducir a muchos síntomas del lupus sistémico eritematoso, incluyendo insuficiencia renal, síntomas neurálgicos y muerte. La modulación de una producción de anticuerpos independiente de respuesta celular sería también beneficiosa en muchos estados morbosos. Se ha mostrado también que las células B desempeñan una función en la secreción de inmunoglobulinas artritogénicas en la artritis reumatoide (Korganow et al., Immunity 10: 451-61, 1.999). Como tal, la inhibición de la producción de anticuerpos hacia ztnf4 sería beneficiosa en el tratamiento de enfermedades autoinmunes tales como la miastenia gravis y la artritis reumatoide. Los agentes terapéuticos inmunosupresores, tales como BR43x2 soluble, que bloquean o neutralizan selectivamente la acción de linfocitos B serían útiles para tales fines. Para verificar estas capacidades en polipéptidos receptores solubles BR43x2 del presente invento, dichos polipéptidos BR43x2 son evaluados usando ensayos conocidos en la técnica y aquí descritos.

El invento proporciona métodos en que se emplean polipéptidos, fusiones, anticuerpos, agonistas o antagonistas de BR43x2, TACI o BCMA para bloquear o neutralizar selectivamente las acciones de células B en asociación con enfermedades renales de fase terminal, las cuales pueden estar asociadas o no con enfermedades autoinmunes. Tales métodos serían también útiles para tratar enfermedades renales inmunológicas. Tales métodos serían útiles para tratar la glomerulonefritis asociada con enfermedades tales como nefropatía membranosa, nefropatía por IgA o enfermedad de Berger, nefropatía por IgM, enfermedad de Goodpasture, glomerulonefritis posinfecciosa, enfermedad mesangioproliferativa y síndrome nefrótico de cambio mínimo. Tales métodos servirían también como aplicaciones terapéuticas para tratar la glomerulonefritis o vasculitis secundarias asociadas con enfermedades tales como lupus, poliarteritis, púrpura de Henoch-Schonlein, esclerodermia, enfermedades relacionadas con el virus de la inmunodeficiencia humana, amiloidosis y síndrome urémico hemolítico. Los métodos del presente invento también serían útiles como parte de una aplicación terapéutica para tratar la nefritis o pielonefritis intersticiales asociadas con pielonefritis crónica, abuso de analgésicos, nefrocalcinosis, nefropatía causada por otros agentes, nefrolitiasis, o nefritis intersticial crónica o aguda.

Los métodos del presente invento también incluyen el uso de polipéptidos, fusiones, anticuerpos, agonistas o antagonistas de BR43x2, TACI o BCMA en el tratamiento de enfermedades hipertensivas o de grandes vasos, incluyendo estenosis u oclusión de arterias renales y émbolos de colesterol o émbolos renales.

El presente invento también proporciona métodos para el diagnóstico y tratamiento de neoplasias renales o urológicas, mielomas múltiples, linfomas, neuropatía de cadenas ligeras o amiloidosis.

El invento también proporciona métodos para bloquear o inhibir células B activadas, usando polipéptidos, fusiones, anticuerpos, agonistas o antagonistas de BR43x2, TACI o BCMA para el tratamiento del asma y otras enfermedades crónicas de las vías aéreas, tales como bronquitis y enfisema.

También se proporcionan métodos para inhibir o neutralizar una respuesta de células T efectoras usando polipéptidos, fusiones, anticuerpos, agonistas o antagonistas de BR43x2, TACI o BCMA para uso en inmunosupresión, en particular para un uso terapéutico tal como para la enfermedad del injerto contra el huésped y el rechazo de injertos. Se hallaría un uso adicional en la regulación de la respuesta inmune, en particular la activación y regulación de linfocitos. Los polipéptidos, fusiones, anticuerpos, agonistas o antagonistas de BR43x2, TACI o BCMA serían útiles en terapias para tratar inmunodeficiencias. Los polipéptidos, fusiones, anticuerpos, agonistas o antagonistas de BR43x2, TACI o BCMA serían útiles en protocolos terapéuticos para el tratamiento de enfermedades autoinmunes tales como la diabetes mellitus dependiente de insulina (IDDM; del inglés, insulin dependent diabetes mellitus) y la enfermedad de Crohn. Los métodos del presente invento tendrían un valor terapéutico adicional para tratar enfermedades inflamatorias crónicas, en particular para reducir el dolor articular, la hinchazón, la anemia y otros síntomas asociados, así como para tratar el shock séptico.

El efecto de los polipéptidos y proteínas de fusión solubles de BR43x2, TACI o BCMA sobre la respuesta inmune puede ser medido por administración de los polipéptidos del presente invento a animales inmunizados con antígeno, seguida de inyección de ztnf4 y medición de la producción de isotipos de anticuerpos y las respuestas de células B y T, incluyendo hipersensibilidad de tipo retardado y producción de citoquinas y proliferación *in vitro* de acuerdo con los métodos conocidos en la técnica.

Por lo tanto, el presente invento proporciona el uso de un compuesto en la fabricación de un medicamente para inhibir la actividad de ztnf4 en un mamífero, compuesto que es seleccionado del grupo que consiste en: a) un polipéptido de ID. SEC. nº 4, b) un polipéptido de ID. SEC. nº 8, c) una proteína de fusión, d) un polipéptido del resto 1 al resto 166 de aminoácido de la ID. SEC. nº 6, e) un polipéptido del resto 1 al resto 150 de aminoácido de la ID. SEC. nº 8, f) un anticuerpo o fragmento de anticuerpo que se une específicamente a un polipéptido de ID. SEC. nº 4, y g) un anticuerpo o fragmento de anticuerpo que se une específicamente a un polipéptido de ID. SEC. nº 10. Los ejemplos de proteínas de fusión incluyen fusiones de BR43x2 (ID. SEC. nº 4), TACI (del resto 1 al resto 166 de aminoácido de la ID. SEC. nº 6) o BCMA (del resto 1 al resto 150 de aminoácido de la ID. SEC. nº 8) solubles con otro polipéptido, preferiblemente un fragmento F_c de regiones constantes de cadenas pesadas inmunoglobulínicas. El invento propor-

ciona similarmente un método para preparar un medicamento para inhibir el acoplamiento receptor BR43x2, TACI o BCMA-ligando.

Dichos métodos serían particularmente útiles donde la actividad de ztnf4 está asociada con linfocitos B activados y para tratar cánceres de células pre-B o células B. Dichos métodos también serían útiles donde la actividad de ztnf4 está asociada con la producción de anticuerpos, en particular, la producción de anticuerpos asociada con enfermedades autoinmunes tales como lupus sistémico eritematoso, miastenia gravis y artritis reumatoide.

El sistema de adenovirus puede ser también usado para la producción de proteínas *in vitro*. Al cultivar células no 293, infectadas con adenovirus, en condiciones bajo las cuales las células no se dividen rápidamente, las células pueden producir proteínas durante periodos de tiempo prolongados. Por ejemplo, células BHK son dejadas crecer hasta confluencia en fábricas de células y son luego expuestas al vector adenovírico que codifica la proteína secretada de interés. Las células son luego dejadas crecer bajo condiciones exentas de suero, lo que permite que las células infectadas sobrevivan durante varias semanas sin una división celular significativa. Alternativamente, células 293S infectadas con vector adenovírico pueden ser dejadas crecer en un cultivo en suspensión con una densidad celular relativamente elevada, para producir cantidades significativas de proteína (véase Garnier et al., Cytotechnol. 15: 145-55, 1.994). Con cualquier protocolo, una proteína heteróloga expresada y secretada puede ser repetidamente aislada del sobrenadante del cultivo celular. En el protocolo de producción de células 293S infectadas, también pueden obtenerse eficazmente proteínas no secretadas.

Se dispone de modelos animales bien establecidos para ensayar la eficacia *in vivo* de los polipéptidos BR43x2, TACI o BCMA solubles del presente invento en ciertos estados morbosos.

20

25

Para medir el efecto sobre la respuesta de células B, puede obtenerse la respuesta inmune en animales sometidos a una estimulación antigénica regular (por ejemplo, ovoalbúmina o colágeno) seguida de la administración de polipéptidos BR43x2, TACI o BCMA o fusiones-Ig solubles.

Pueden usarse estudios farmacocinéticos en asociación con polipéptidos o fusiones de BR43x2, TACI o BCMA solubles y radiomarcados, para determinar la distribución y la semivida de dichos polipéptidos *in vivo*. Además, pueden usarse modelos animales para determinar los efectos de BR43x2, TACI o BCMA solubles sobre tumores y desarrollo de tumores *in vivo*.

También se proporciona el uso de polipéptidos BR43x2, TACI o BCMA como marcadores sustitutivos para enfermedades autoinmunes, enfermedades renales y enfermedades de células B y T. Puede extraerse sangre de dichos pacientes y pueden detectarse los receptores solubles BR43x2, TACI o BCMA y sus ligandos en la sangre.

El invento también proporciona usos de anticuerpos en la preparación de medicamentos. Pueden obtenerse anticuerpos hacia BR43x2 o péptidos que tienen una secuencia de aminoácidos de ID. SEC. nº 8 usando, por ejemplo, como un antígeno, el producto de un vector de expresión que contiene el polipéptido de interés, o un polipéptido aislado de una fuente natural. Son particularmente útiles los anticuerpos que se "unen específicamente" con BR43x2 o péptidos que tienen una secuencia de aminoácidos de ID. SEC. nº 10. Se considera que los anticuerpos se unen específicamente si los anticuerpos se unen a un polipéptido BR43x2 o a un polipéptido de ID. SEC. nº 8, péptido o epítopo con una afinidad de unión (K_a) de 10⁶ M⁻¹ o mayor, preferiblemente de 10⁷ M⁻¹ o mayor, más preferiblemente de 10⁸ M⁻¹ o mayor, y muy preferiblemente de 10⁹ M⁻¹ o mayor. La afinidad de unión de un anticuerpo puede ser fácilmente determinada por quien tiene una experiencia normal en la técnica mediante, por ejemplo, un análisis de Scatchard (Scatchard, Ann. NY Acad. Sci. 51: 660, 1.949). Los anticuerpos adecuados incluyen anticuerpos que se unen a BR43x2, en particular al dominio extracelular de BR43x2 (restos de aminoácido 1-120 de la ID. SEC. nº 2), y aquellos que se unen a polipéptidos que tienen una secuencia de aminoácidos de ID. SEC. nº 10.

Pueden producirse anticuerpos anti-BR43x2 usando péptidos y polipéptidos antigénicos que llevan epítopos de BR43x2. Los péptidos y polipéptidos antigénicos del presente invento que llevan epítopos contienen una secuencia de al menos nueve, preferiblemente de entre 15 y aproximadamente 30, aminoácidos contenida en la ID. SEC. nº 2. Sin embargo, los péptidos o polipéptidos que comprenden una porción mayor de una secuencia de aminoácidos del invento, que contienen de 30 a 50 aminoácidos, o cualquier longitud de hasta, e inclusive, la secuencia entera de aminoácidos de un polipéptido del invento, son también útiles para inducir anticuerpos que se unen a BR43x2. Es deseable que la secuencia de aminoácidos del péptido que lleva epítopos sea seleccionada para que proporcione una solubilidad sustancial en disolventes acuosos (es decir, la secuencia incluye restos relativamente hidrófilos, mientras que los restos hidrófobos son preferiblemente evitados). A partir de un gráfico de hidrofobia, véanse, por ejemplo, Hopp y Woods (Proc. Natl. Acad. Sci. USA 78: 3.824-8, 1.981), y Kyte y Doolittle (J. Mol. Biol. 157: 105-142, 1.982), un experto en la técnica puede prever péptidos hidrófilos. Además, las secuencias de aminoácidos que contienen restos de prolina pueden ser también deseables para la producción de anticuerpos.

Pueden prepararse anticuerpos policionales hacia proteína BR43x2 recombinante o hacia BR43x2 aislado de fuentes naturales, usando métodos bien conocidos por quienes tienen experiencia en la técnica; véanse, por ejemplo, Green et al., "Production of Polyclonal Antisera" en Immunochemical Protocols (redactado por Manson), páginas 1-5 (Humana Press, 1.992), y Williams et al., "Expression of foreign proteins in *E. coli* using plasmid vectors and purification of specific polyclonal antibodies" en DNA Cloning 2: Expressión Systems, 2ª edición, Glover et al. (redactores), página 15 (Oxford University Press, 1.995). La inmunogenicidad de un polipéptido BR43x2 puede ser aumentada mediante

el uso de un adyuvante, tal como alúmina (hidróxido de aluminio) o adyuvante completo o incompleto de Freund. Los polipéptidos útiles para inmunización también incluyen polipéptidos de fusión, tales como las fusiones de BR43x2 o una porción del mismo con un polipéptido inmunoglobulínico o con la proteína ligante de maltosa (MBP; del inglés, maltose binding protein). El inmunógeno polipeptídico puede ser una molécula de longitud completa o una porción de la misma. Si la porción polipeptídica es de "tipo hapteno", dicha porción puede ser ventajosamente unida o enlazada a un vehículo macromolecular [tal como hemocianina de *Fissurella* (KLH; del inglés, keyhole limpet hemocyanin), albúmina sérica bovina (BSA; del inglés, bovine serum albumin) o toxoide tetánico] para inmunización.

Aunque los anticuerpos policionales son típicamente generados en animales tales como caballos, vacas, perros, gallinas, ratas, ratones, conejos, hámsters, cobayas, cabras u ovejas, un anticuerpo anti-BR43x2 del presente invento puede también proceder de un anticuerpo de primate subhumano. En, por ejemplo, Goldenberg et al., publicación de patente internacional nº WO 91/11465, y en Losman et al., Int. J. Cancer 46: 310, 1.990, pueden hallarse técnicas generales para generar anticuerpos diagnóstica y terapéuticamente útiles en babuinos. Pueden también generarse anticuerpos en animales transgénicos tales como ovejas, vacas, cabras y cerdos transgénicos, y puede hacerse que aquellos se expresen en levaduras y hongos en formas modificadas así como en células de mamíferos e insectos.

Alternativamente, pueden generarse anticuerpos anti-BR43x2 monoclonales. Pueden obtenerse anticuerpos monoclonales de roedor hacia antígenos específicos mediante métodos conocidos por los expertos en la técnica [véanse, por ejemplo, Kohler et al., Nature 256: 495, 1.975, Coligan et al. (redactores), Current Protocols in Immunology, volumen 1, páginas 2.5.1-2.6.7 (John Wiley & Sons, 1.991), Picksley et al., "Production of monoclonal antibodies against proteins expressed in *E. coli*" en DNA Cloning 2: Expressión Systems, 2ª edición, Glover et al. (redactores), página 93 (Oxford University Press, 1.995)].

En resumen, pueden obtenerse anticuerpos monoclonales al inyectar una composición que comprende un producto del gen de BR43x2 a ratones, verificar la presencia de producción de anticuerpos tras extraer una muestra de suero, extraer el bazo para obtener linfocitos B, fusionar los linfocitos B con células de mieloma para producir hibridomas, clonar los hibridomas, seleccionar los clones positivos que producen anticuerpos hacia el antígeno, cultivar los clones que producen anticuerpos hacia el antígeno, y aislar los anticuerpos de los cultivos de hibridomas.

Además, un anticuerpo anti-BR43x2 del presente invento puede proceder de un anticuerpo monoclonal humano. Los anticuerpos monoclonales humanos se obtienen de ratones transgénicos que han sido creados para que produzcan anticuerpos humanos específicos en respuesta a una estimulación antigénica. En esta técnica, se introducen elementos del locus humano de las cadenas pesada y ligera en cepas de ratones procedentes de líneas celulares pluripotenciales embrionarias que contienen alteraciones específicas de los loci de la cadena pesada y la cadena ligera endógenas. Los ratones transgénicos pueden sintetizar anticuerpos humanos específicos para antígenos humanos, y los ratones pueden ser usados para producir hibridomas que secreten anticuerpos humanos. Por ejemplo, Green et al., Nat. Genet. 7: 13, 1.994, Lonberg et al., Nature 368: 856, 1.994, y Taylor et al., Int. Immun. 6: 579, 1.994, describen métodos para obtener anticuerpos humanos a partir de ratones transgénicos.

Los anticuerpos monoclonales pueden ser aislados y purificados de cultivos de hibridomas mediante una diversidad de técnicas bien establecidas. Dichas técnicas de aislamiento incluyen cromatografía de afinidad con proteína A-Sepharose, cromatografía de exclusión por tamaños y cromatografía de intercambio iónico [véanse, por ejemplo, Coligan en las páginas 2.7.1-2.7.12 y las páginas 2.9.1-2.9.3; y Baines et al., "Purification of Immunoglobulin G (IgG)" en Methods in Molecular Biology, volumen 10, páginas 79-104 (The Humana Press, Inc., 1.992)].

Para usos particulares, puede ser deseable preparar fragmentos de anticuerpos anti-BR43x2. Tales fragmentos de anticuerpos pueden ser obtenidos, por ejemplo, por hidrólisis proteolítica del anticuerpo. Los fragmentos de anticuerpos pueden ser obtenidos por digestión de anticuerpos completos con pepsina o papaína, mediante métodos convencionales. Como una ilustración, pueden producirse fragmentos de anticuerpos por escisión enzimática de los anticuerpos con pepsina para obtener un fragmento de 5 S denominado F(ab')₂. Este fragmento puede ser adicionalmente escindido usando un agente reductor tiólico para producir fragmentos monovalentes Fab' de 3,5 S. Opcionalmente, la reacción de escisión puede ser llevada a cabo usando un grupo bloqueador para los grupos sulfhidrilo que resultan de la escisión de los enlaces disulfuro. Como una alternativa, una escisión enzimática usando papaína produce directamente dos fragmentos Fab monovalentes y un fragmento Fc. Estos métodos son descritos, por ejemplo, por Goldenberg, Patente de EE.UU. nº 4.331.647, Nisonoff et al., Arch. Biochem. Biophys. 89: 230, 1.960, Porter, Biochem. J. 73: 119, 1.959, Edelman et al. en Methods in Enzymology, volumen 1, página 422 (Academic Press 1.967), y Coligan, ibídem.

Pueden usarse también otros métodos para escindir anticuerpos, tales como la separación de cadenas pesadas para formar fragmentos monovalentes de cadenas ligera-pesada, escisión adicional de fragmentos y otras técnicas enzimáticas, químicas o genéticas, con tal que los fragmentos se unan al antígeno que es reconocido por el anticuerpo intacto.

Por ejemplo, los fragmentos Fv comprenden una asociación de cadenas V_H y V_L. Esta asociación puede ser no covalente, como describen Inbar et al., <u>Proc. Natl. Acad. Sci. USA 69</u>: 2.659, 1.972. Alternativamente, las cadenas variables pueden ser unidas por un enlace disulfuro intermolecular o ser reticuladas por agentes químicos tales como el glutaraldehído (véase, por ejemplo, Sandhu, <u>Crit. Rev. Biotech. 12</u>: 437, 1.992).

Los fragmentos Fv pueden comprender cadenas V_H y V_L que estén conectadas por un conector peptídico. Estas proteínas ligantes de antígeno de una sola cadena (scFv; del inglés, single-chain Fv) son preparadas construyendo un gen estructural que comprende secuencias de DNA que codifican los dominios V_H y V_L, que están conectados por un oligonucleótido. El gen estructural es insertado en un vector de expresión que es posteriormente introducido en una célula huésped, tal como *E. coli*. Las células huésped recombinantes sintetizan una sola cadena polipeptídica con un péptido conector que conecta los dos dominios V. Por ejemplo, Whitlow et al., Methods: A Companion to Methods in Enzymology 2: 97, 1.991, describen métodos para producir scFvs; véanse también Bird et al., Science 242: 423, 1.988, Ladner et al., Patente de EE.UU. nº 4.946.778, Pack et al., Bio/Technology 11: 1.271, 1.993, y Sandhu, ibídem.

Como una ilustración, puede obtenerse un scFv al exponer linfocitos a un polipéptido BR43x2 in vitro y seleccionar librerías de despliegue de anticuerpos en fagos o vectores similares (por ejemplo, a través del uso de una proteína o péptido BR43x2 inmovilizado o marcado). Pueden obtenerse genes que codifican polipéptidos que tienen posibles dominios ligantes del polipéptido BR43x2, al explorar librerías peptídicas aleatorias desplegadas en fagos (despliegue en fagos) o en bacterias tales como E. coli. Pueden obtenerse secuencias de nucleótidos que codifican los polipéptidos de diversas maneras, tales como a través de mutagénesis aleatoria y síntesis aleatoria de polinucleótidos. Estas librerías de despliegue peptídico aleatorias pueden ser usadas para explorar péptidos que interaccionen con una diana conocida que puede ser una proteína o un polipéptido, tal como un ligando o receptor, una macromolécula biológica o sintética, o sustancias orgánicas o inorgánicas. En este campo técnico se conocen técnicas para crear y explorar tales librerías de despliegue peptídico aleatorias (Ladner et al., Patente de EE.UU. nº 5.223.409, Ladner et al., Patente de EE.UU. nº 4.946.778, Ladner et al., Patente de EE.UU. nº 5.403.484, Ladner et al., Patente de EE.UU. nº 5.571.698, y Kay et al., Phage Display of Peptides and Proteins (Academic Press, Inc., 1.996), y se dispone comercialmente de librerías de despliegue peptídico aleatorias y de sistemas para explorar dichas librerías, en, por ejemplo, Clontech (Palo Alto, California, EE.UU.), Invitrogen Inc. (San Diego, California, EE.UU.), New England Biolabs Inc. (Beverly, Massachusetts, EE.UU.), y Pharmacia LKB Biotechnology Inc. (Piscataway, New Jersey, EE.UU.). Las librerías de despliegue peptídico aleatorias pueden ser exploradas usando las aquí descritas secuencias de BR43x2 para identificar proteínas que se unen a BR43x2.

Otra forma de un fragmento de anticuerpo es un péptido que codifica una sola región determinante de la complementariedad (CDR; del inglés, complementary-determining region). Pueden obtenerse péptidos CDR ("unidades mínimas de reconocimiento") construyendo genes que codifiquen la CDR de un anticuerpo de interés. Dichos genes son preparados, por ejemplo, usando la reacción en cadena de la polimerasa para sintetizar la región variable a partir de RNA de células productoras de anticuerpos (véanse, por ejemplo, Larrick et al., Methods: A Companion to Methods in Enzymology 2: 106, 1.991, Courtenay-Luck, "Genetic Manipulation of Monoclonal Antibodies" en Monoclonal Antibodies: Production, Engineering and Clinical Application, redactado por Ritter et al., página 166 (Cambridge University Press, 1.995), y Ward et al., "Genetic Manipulation and Expression of Antibodies" en Monoclonal Antibodies: Principles and Applications, redactado por Birch et al., página 137 (Wiley-Liss, Inc., 1.995).

Alternativamente, un anticuerpo anti-BR43x2 puede proceder de un anticuerpo monoclonal "humanizado". Se producen anticuerpos monoclonales "humanizados" al transferir regiones determinantes de la complementariedad de ratón procedentes de cadenas variables pesadas y ligeras de la inmunoglobulina de ratón a un dominio variable humano. Restos típicos de anticuerpos humanos son luego sustituidos en las regiones estructurales de los remedos murinos. El uso de componentes de anticuerpo procedentes de anticuerpos monoclonales humanizados obvia los posibles problemas asociados con la inmunogenicidad de las regiones constantes murinas. Por ejemplo, Orlandi et al., <u>Proc. Natl. Acad. Sci. USA 86</u>: 3.833, 1.989, describen técnicas generales para clonar dominios variables de inmunoglobulinas murinas. Por ejemplo, Jones et al., Nature 321: 522, 1.986, Carter et al., <u>Proc. Natl. Acad. Sci. USA 89</u>: 4.285, 1.992, Sandhu, <u>Crit. Rev. Biotech. 12</u>: 437, 1.992, Singer et al., <u>J. Immun. 150</u>: 2.844, 1.993, Sudhir (redactor), <u>Antibody Engineering Protocols</u> (Humana Press, Inc., 1.995), Kelley, "Engineering Therapeutic Antibodies" en <u>Protein Engineering</u>: <u>Principles and Practice</u>, Cleland et al. (redactores), páginas 399-434 (John Wiley & Sons, Inc. 1.996), y Queen et al., <u>Patente de EE.UU.</u> nº 5.693.762 (1.997), describen técnicas para producir anticuerpos monoclonales humanizados.

Pueden prepararse anticuerpos policlonales antiidiotipo al inmunizar animales con anticuerpos o fragmentos de anticuerpos anti-BR43x2, usando técnicas estándares; véase, por ejemplo, Green et al., "Production of Polyclonal Antisera" en Methods in Molecular Biology: Immunochemical Protocols, Manson (redactor), páginas 1-12 (Humana Press, 1.992); véanse también las páginas 2.4.1-2.4.7 de Coligan, ibídem. Alternativamente, pueden prepararse anticuerpos monoclonales antiidiotipo usando anticuerpos o fragmentos de anticuerpos anti-BR43x2 como inmunógenos con las técnicas anteriormente descritas. Como otra alternativa, pueden prepararse anticuerpos antiidiotipo humanizados o anticuerpos antiidiotipo de primate subhumano usando las técnicas anteriormente descritas. Por ejemplo, Irie, Patente de EE.UU. nº 5.208.146, Greene et al., Patente de EE.UU. nº 5.637.677, y Varthakavi y Minocha, J. Gen. Virol. 77: 1.875, 1.996, describen métodos para producir anticuerpos antiidiotipo.

Los presentes anticuerpos o polipéptidos pueden ser también directa o indirectamente conjugados con fármacos, toxinas, radionucleidos y similares, y estos productos de conjugación ser usados para aplicaciones diagnósticas o terapéuticas *in vivo*. Por ejemplo, los polipéptidos o anticuerpos del presente invento pueden ser usados para identificar o tratar tejidos u órganos que expresan una correspondiente molécula anticomplementaria (un receptor o un antígeno, respectivamente, por ejemplo). Más específicamente, polipéptidos BR43x2 o anticuerpos anti-BR43x2, o fragmentos o porciones bioactivos de los mismos, pueden ser copulados con moléculas detectables o citotóxicas y suministrados a un mamífero que tenga células, tejidos u órganos que expresen la molécula anticomplementaria.

Las moléculas detectables adecuadas pueden ser directa o indirectamente fijadas al polipéptido o anticuerpo, e incluyen radionucleidos, enzimas, sustratos, cofactores, inhibidores, marcadores fluorescentes, marcadores quimioluminiscentes, partículas magnéticas y similares. Las moléculas citotóxicas adecuadas pueden ser directa o indirectamente fijadas al polipéptido o anticuerpo, e incluyen toxinas bacterianas o vegetales (por ejemplo, toxina diftérica, exotoxina de *Pseudomonas*, ricina, abrina y otras), así como radionucleidos terapéuticos tales como yodo-131, renio-188 e itrio-90 (directamente fijados al polipéptido o anticuerpo, o indirectamente fijados por medio de, por ejemplo, un grupo quelante). Los polipéptidos o los anticuerpos pueden ser también conjugados con fármacos citotóxicos, tales como la adriamicina. Para la fijación indirecta de una molécula detectable o citotóxica, la molécula detectable o citotóxica puede ser conjugada con un miembro de una pareja complementaria/anticomplementaria cuyo otro miembro está unido a la porción de polipéptido o anticuerpo. Para estos fines, la pareja biotina/estreptavidina es una pareja complementaria/anticomplementaria ejemplar.

Los polipéptidos BR43x2 solubles o anticuerpos hacia BR43x2 pueden ser directa o indirectamente conjugados con fármacos, toxinas, radionucleidos y similares, y estos productos de conjugación ser usados para la preparación de composiciones terapéuticas para uso *in vivo*. Por ejemplo, los polipéptidos o anticuerpos del presente invento pueden ser usados para tratar tejidos u órganos que expresan una correspondiente molécula anticomplementaria (un receptor o un antígeno, respectivamente, por ejemplo). Más específicamente, polipéptidos BR43x2 o anticuerpos anti-BR43x2, o fragmentos o porciones bioactivos de los mismos, pueden ser copulados con moléculas citotóxicas y suministrados a un mamífero que tenga células, tejidos u órganos que expresen la molécula anticomplementaria.

Las moléculas citotóxicas adecuadas pueden ser directa o indirectamente fijadas al polipéptido o anticuerpo, e incluyen toxinas bacterianas o vegetales (por ejemplo, toxina diftérica, exotoxina de *Pseudomonas*, ricina, abrina y similares), así como radionucleidos terapéuticos tales como yodo-131, renio-188 e itrio-90 (directamente fijados al polipéptido o anticuerpo, o indirectamente fijados por medio de, por ejemplo, un grupo quelante). Los polipéptidos o los anticuerpos pueden ser también conjugados con fármacos citotóxicos, tales como la adriamicina. Para la fijación indirecta de una molécula citotóxica, la molécula citotóxica puede ser conjugada con un miembro de una pareja complementaria/anticomplementaria cuyo otro miembro está unido a la porción de polipéptido o anticuerpo. Para estos fines, la pareja biotina/estreptavidina es una pareja complementaria/anticomplementaria ejemplar.

Dichas proteínas de fusión de polipéptido-toxina o proteínas de fusión de anticuerpo/fragmento-toxina pueden ser usadas para la inhibición o ablación de células o tejidos específicos (por ejemplo, para tratar células o tejidos cancerosos). Alternativamente, si el polipéptido tiene múltiples dominios funcionales (es decir, un dominio de activación o un dominio ligante de ligandos, más un dominio de direccionamiento), una proteína de fusión que sólo incluya el dominio de direccionamiento puede ser adecuada para dirigir una molécula detectable, una molécula citotóxica o una molécula complementaria a un tipo celular o tisular de interés. En los casos en que la proteína de fusión de dominio único incluye una molécula complementaria, la molécula anticomplementaria puede ser conjugada con una molécula detectable o citotóxica. De este modo, dichas proteínas de fusión de dominio-molécula complementaria representan un vehículo de direccionamiento genérico para una distribución celular/tisularmente específica de productos de conjugación genéricos de moléculas anticomplementaria-citotóxica. Los productos de conjugación de polipéptidos o anticuerpos bioactivos aquí descritos pueden ser distribuidos intravenosa, intraarterial o intraductalmente o pueden ser localmente introducidos en el pretendido sitio de acción.

Pueden prepararse anticuerpos hacia polipéptidos BR43x2 solubles que estén etiquetados con His o FLAGTM. Pueden también prepararse anticuerpos hacia proteínas de fusión-MBP producidas en *E. coli*. Alternativamente, dichos polipéptidos podrían incluir una proteína de fusión con Ig humana. En particular, un antisuero que contenga anticuerpos polipeptídicos hacia BR43x2 soluble etiquetado con His o etiquetado con FLAGTM puede ser usado en el análisis de la distribución tisular de BR43x2 por inmunohistoquímica sobre tejido de ser humano o primate. Estos polipéptidos BR43x2 solubles pueden ser también usados para inmunizar ratones con objeto de producir anticuerpos monoclonales hacia un polipéptido BR43x2 humano soluble. Los anticuerpos monoclonales hacia un polipéptido BR43x2 humano soluble pueden ser también usados para remedar una copulación de ligando/receptor, dando lugar a la activación o inactivación del par ligando/receptor. Por ejemplo, se ha demostrado que la reticulación de anticuerpos monoclonales anti-CD40 soluble proporciona una señal estimulante a células B que han sido subóptimamente activadas con anti-IgM o lipopolisacárido (LPS), y da lugar a proliferación y producción de inmunoglobulinas. Estos mismos anticuerpos monoclonales actúan como antagonistas cuando se usan en disolución al bloquear la activación del receptor. Los anticuerpos monoclonales hacia BR43x2 pueden ser usados para determinar la distribución, regulación e interacción biológica del par BR43x2/ligando de BR43x2 sobre linajes celulares específicos identificados mediante estudios de distribución tisular.

Pueden formularse cantidades farmacéuticamente eficaces de polipéptidos BR43x2, TACI o BCMA del presente invento con vehículos farmacéuticamente aceptables para administración parenteral, oral, nasal, rectal, tópica, transdérmica o similar, de acuerdo con métodos convencionales. Las formulaciones pueden incluir además uno o más diluyentes, cargas, agentes emulsivos, conservantes, tampones, excipientes y similares, y pueden ser dispuestas en formas tales como, por ejemplo, líquidos, polvos, emulsiones, supositorios, liposomas, parches transdérmicos y tabletas. Pueden también utilizarse sistemas de distribución por liberación lenta o prolongada, incluyendo cualesquiera de diversos biopolímeros (sistemas de base biológica), sistemas en que se emplean liposomas y sistemas de distribución polímeros, con las aquí descritas composiciones para proporcionar una fuente continua o de larga duración del polipéptido o antagonista de BR43x2. Dichos sistemas de liberación lenta son aplicables a las formulaciones para, por ejemplo, uso oral, tópico o parenteral. La expresión "vehículo farmacéuticamente aceptable" se refiere a un medio

vehículo que no interfiere en la eficacia de la actividad biológica de los ingredientes activos y que no es tóxico para el huésped o paciente. Un experto en la técnica puede formular los compuestos del presente invento de una manera apropiada y de acuerdo con prácticas admitidas, tales como las descritas en Remington: The Science and Practice of Pharmacy, redactado por Genaro, Mack Publishing Co., Easton, Pennsylvania, EE.UU., 19ª edición, 1.995.

Como se usa aquí, una "cantidad farmacéuticamente eficaz" de un polipéptido, agonista o antagonista de BR43x2, TACI o BCMA es una cantidad suficiente para provocar un resultado biológico deseado. El resultado puede ser el alivio de los signos, síntomas o causas de una enfermedad, o cualquier otra alteración deseada de un sistema biológico. Por ejemplo, una cantidad eficaz de un polipéptido BR43x2, TACI o BCMA es aquélla que proporciona bien un alivio subjetivo de síntomas o bien una mejora objetivamente identificable según advierte el clínico u otro observador cualificado. Por ejemplo, dicha cantidad eficaz de un polipéptido o una fusión soluble de BR43x2, TACI o BCMA proporcionaría una disminución de la respuesta de células B durante la respuesta inmune, una inhibición o disminución de la producción de autoanticuerpos, y una inhibición o disminución de los síntomas asociados con SLE, MG o RA. Cantidades eficaces de BR43x2, TACI o BCMA disminuirán el porcentaje de células B en sangre periférica. Las cantidades eficaces de los polipéptidos BR43x2, TACI o BCMA pueden variar mucho dependiendo de la enfermedad o síntoma que se trata. La cantidad del polipéptido que se va a administrar y su concentración en las formulaciones dependen del vehículo seleccionado, la vía de administración, la potencia del polipéptido concreto, el estado clínico del paciente, los efectos secundarios y la estabilidad del compuesto en la formulación. De este modo, el clínico empleará la preparación apropiada que contenga la concentración apropiada en la formulación, así como la cantidad de formulación administrada, dependiendo de la experiencia clínica con el paciente en cuestión o con pacientes similares. Dichas cantidades dependerán, en parte, del estado concreto que se trata, la edad, el peso y la salud general del paciente, y otros factores evidentes para los expertos en la técnica. Típicamente, la dosis estará en el intervalo de 0,1-100 mg/kg del sujeto. Las dosis para compuestos específicos pueden ser determinadas a partir de estudios in vitro o ex vivo en combinación con estudios en animales experimentales. Las concentraciones de compuestos que se han hallado eficaces in vitro o ex vivo proporcionan una orientación para estudios en animales, en los que se calculan las dosis que proporcionan concentraciones similares en el sitio de acción.

El invento es adicionalmente ilustrado mediante los ejemplos siguientes.

0 Ejemplos

Ejemplo 1

Identificación de BR43x2

35

La isoforma de TACI fue clonada a partir de una librería de despliegue de RPMI usando el procedimiento de trampa de secreción. Se desplegó una librería de RPMI 1788 (línea de células B activadas) usando veinte placas de 96 pocillos. Cada pocillo contenía aproximadamente 100 colonias de $E.\ coli$, conteniendo cada colonia un clon de cDNA. Se prepararon minipreparaciones de DNA en formato de 96 pocillos usando el sistema Tomtech Quadra 9600. El DNA aislado fue luego reunido en 120 colecciones, cada una de las cuales representa 1.600 clones. Células Cos-7 fueron transfectadas con estas colecciones y fueron sembradas en placas de 12 pocillos. Se mezclaron tres microlitros de DNA de colección y 5 μ l de LipofectAMINE en 92 μ l de medio DMEM desprovisto de suero (55 mg de piruvato sódico, 146 mg de L-glutamina, 5 mg de transferrina, 2,5 mg de insulina, 1 μ g de selenio y 5 mg de fetuína en 500 ml de DMEM) y se incubó la mezcla a temperatura ambiental durante 30 minutos, lo que fue seguido de la adición de 400 μ l de medio DMEM desprovisto de suero. Se añadió la mezcla de DNA-LipofectAMINE a 220.000 células Cos-7/pocillo sembradas en placas para cultivo tisular de 12 pocillos, y se incubó durante 5 horas a 37°C. Después de la incubación, se añadieron 500 μ l de medio DMEM-suero bovino fetal (FBS; del inglés, fetal bovine serum) al 20% (100 ml de FBS, 55 mg de piruvato sódico y 146 mg de L-glutamina en 500 ml de DMEM) a cada pocillo y se incubaron las células durante la noche.

50

La exploración con trampa de secreción fue llevada a cabo usando ztnf4 biotinilado y etiquetado con FLAG. Las células fueron enjuagadas con disolución salina tamponada con fosfato (PBS; del inglés, phosphate buffered saline) y fueron fijadas durante 15 minutos con formaldehído al 1,8% en PBS. Las células fueron luego lavadas con TNT (Tris-HCl 0,1 M, NaCl 0,15 M y Tween-20 al 0,05% en H₂O). Se dejó durante 15 minutos que Triton-X al 0,1% en PBS penetrara en las células, lo que fue seguido de un lavado en TNT. Las células fueron bloqueadas durante 1 hora con TNB (Tris-HCl 0,1 M, NaCl 0,15 M y Reactivo bloqueador al 0,5%) utilizando el sistema Renaissance® TSA-Direct de NEN (NEN, Boston, Massachusetts, EE.UU.) de acuerdo con las instrucciones del fabricante. Las células fueron lavadas con TNT y fueron bloqueadas durante 15 minutos con avidina y luego con biotina (nº SP-2001 del catálogo de Vector Labs), realizándose un lavado intermedio con TNT. Las células fueron incubadas durante 1 hora con 1 µg/ml de ztnf4/Flag/biotina en TNB, lo que fue seguido de un lavado con TNT. Las células fueron luego incubadas durante una hora con una dilución 1:300 de estreptavidina-peroxidasa de rábano picante (HRP; del inglés, horseradish peroxidase) (NEN) en TNB y fueron lavadas con TNT. Las hibridaciones fueron detectadas con el reactivo fluoresceína-tiramida diluido 1:50 en tampón de dilución (NEN) e incubado durante 4,4 minutos y fueron lavadas con TNT. Las células fueron conservadas con Vectashield Mounting Media (Vector Labs, Burlingame, California, EE.UU.) diluido 1:5 en TNT.

Las células fueron visualizadas por microscopía fluorescente usando un filtro de FITC. Doce colecciones eran positivas en cuanto a unión a ztnf4. Se descompuso la colección D8 (que representaba 1.600 clones) y se aisló un

único clon (D8-1), positivo en cuanto a unión a ztnf4. Un análisis por secuenciación reveló que el clon D8-1 contenía una secuencia polipéptidica que codificaba una isoforma de TACI, en la que la primera seudorrepetición rica en cisteína Phe21-Arg67 de TACI estaba sustituida por un solo resto de aminoácido, triptófano. Esta isoforma fue denominada BR43x2, cuya secuencia polinucleotídica se presenta en la ID. SEC. nº 1.

Ejemplo 2

Localización de BR43x1 en linfocitos y monocitos

Se usó transcriptasa inversa-PCR para localizar la expresión de BR43x1 en células T y B y monocitos. Se usaron los cebadores oligonucleotídicos ZC19980 (ID. SEC. nº 15) y ZC19981 (ID. SEC. nº 16) para explorar cDNA de CD19⁺, CD3⁺ y monocitos para BR43. La reacción de la transcriptasa inversa fue llevada a cabo a 94°C durante 3 minutos, lo que fue seguido de 30 ciclos a 94°C durante 30 segundos, 68°C durante 2 minutos y 72°C durante 1 minuto, seguidos de una extensión de 7 minutos a 72°C. Una banda del tamaño esperado, 720 bp, fue detectada sólo en células B y no en células T activadas, como había sido comunicado para TACI usando anticuerpos (von Bülow y Bram, *ibídem*).

Ejemplo 3

20

35

Ensayo de proliferación de células B usando el ligando ztnf4 de BR43

1 x 10⁸ células mononucleares de sangre periférica (PBMC; del inglés, peripheral blood mononuclear cell) congeladas, obtenidas por aféresis y contenidas en un vial, fueron rápidamente descongeladas en un baño de agua a 37°C y fueron resuspendidas en 25 ml de medio para células B (Medio de Dulbecco modificado de Iscove, suero bovino fetal al 10% térmicamente inactivado, L-glutamina al 5%, y Pen/Strep al 5%) en un tubo de 50 ml de capacidad. Las células fueron analizadas en cuanto a viabilidad usando azul de tripano (GIBCO BRL, Gaithersburg, Maryland, EE.UU.). Se dispuso una capa de diez mililitros de Ficoll/Hypaque Plus (Pharmacia LKB Biotechnology Inc., Piscataway, New Jersey, EE.UU.) bajo la suspensión celular, y el conjunto fue centrifugado durante 30 minutos a 1.800 rpm y dejado detener con el freno quitado. La capa de interfase fue luego separada y transferida a un nuevo tubo de 50 ml de capacidad, llevada hasta un volumen final de 40 ml con PBS y centrifugada durante 10 minutos a 1.200 rpm con el freno puesto. La viabilidad de las células B aisladas fue analizada usando azul de tripano. Las células B fueron resuspendidas hasta una concentración final de 1 x 10⁶ células/ml en medio para células B y fueron sembradas en una placa de 96 pocillos con fondo en U (Falcon, VWR, Seattle, Washington, EE.UU.) en una cantidad de 180 μl/pocillo.

A las células se añadió uno de los estimuladores siguientes hasta llevar el volumen final a 200 ml/pocillo:

ztnf-4sCF o ztnf-4-sNF soluble etiquetado con FLAG, en diluciones a la décima parte de 1 mg-1 ng/ml ya sea solo, con 10 μg/ml de anti-IgM (anti-IgM humana, de cabra) diluido en NaH₂CO₃, pH de 9,5 (Southern Biotechnology Associates, Inc., Birmingham, Alabama, EE.UU.), o con 10 μg/ml de anti-IgM y 10 ng/ml de IL-4 humana recombinante (diluida en PBS y BSA al 0,1%). Además, también se ensayaron otras citoquinas tales como IL-3 e IL-6, así como un anticuerpo hacia CD40 soluble (sCD40; Pharmingen, San Diego, California, EE.UU.). Como un testigo, las células fueron incubadas con albúmina sérica bovina (BSA) al 0,1% y PBS, 10 μg/ml de anti-IgM, o 10 μg/ml de anti-IgM y 10 ng/ml de IL-4 (u otras citoquinas). Las células fueron luego incubadas a 37°C en una incubadora humidificada durante 72 horas. Dieciseis horas antes de la recolección, se añadieron 3,7 x 10⁴ Bq de ³H-timidina a todos los pocillos. Las células fueron recolectadas en una placa filtrante de 96 pocillos (Unifilter GF/C, Pachard, Meriden, Connecticut, EE.UU.), donde fueron recolectadas usando una cosechadora celular (Packard) y recogidas de acuerdo con las instrucciones del fabricante. Las placas fueron secadas a 55°C durante 20-30 minutos, y el fondo de los pocillos fue sellado con un sellador de placas opaco. Se añadieron 0,25 ml de líquido de centelleo (Microscint-O, Packard) a cada pocillo y se leyó la placa usando un contador de centelleo TopCount (Packard) para microplacas.

Para medir la inducción de la producción de IgG en respuesta a diversos mitógenos de células B después de la estimulación de células B purificadas, las células fueron preparadas del modo descrito y fueron incubadas durante 9 días. El sobrenadante celular fue recogido para determinar la producción de IgG.

Para medir la activación de marcadores de la superficie celular en respuesta a diversos mitógenos de células B después de la estimulación de células B purificadas, las células fueron preparadas del modo anteriormente descrito pero sólo fueron incubadas 48 horas. Los marcadores de la superficie celular fueron medidos mediante análisis por FACS.

En la Tabla 5 se resume la proliferación de células B purificadas humanas, estimuladas con los diversos mitógenos de células B.

TABLA 5

Estímulo	Índice proliferativo
ztnf4	1,5
ztnf4 + IL-4	9,9
ztnf4 + anti-IgM + IL-4	15,8

Se vio un efecto sinérgico de ztnf4 con IL-4, IL-3 ($10 \mu g/ml$) e IL-6 ($10 \mu g/ml$) sobre la proliferación de células B. Se vio un aumento del doble en la generación de señales en células B cuando se usó sCD40.

En la Tabla 6 se resume la inducción de la producción de IgG (ng/ml) en respuesta a diversos mitógenos de células B después de la estimulación de células B purificadas.

TABLA 6

- 0	Estímulo	Testigo	Ztnf4
20	anti-IgM	3	7,5
	anti-IgM + IL-4	13	32
	anti- $IgM + IL-4 + IL-5$	10	45

Se vio un aumento de los marcadores de activación de la superficie celular después de la estimulación de células B purificadas con ztnf4 solo, con anti-IgM, o con anti-IgM + IL-4. No hubo efecto alguno sobre la proliferación de PBMNCs en presencia de mitógenos de células T óptimos o subóptimos. Tampoco se vio efecto alguno sobre la producción de TNF- α en monocitos purificados en respuesta a una estimulación con LPS.

La Figura 3 muestra la coactivación de linfocitos B humanos con ztnf4 soluble para que proliferen y secreten inmunoglobulina. La Figura 3A muestra la proliferación de células B purificadas de sangre periférica humana en respuesta a una estimulación con ztnf4 soluble (25 ng/ml) en presencia de IL-4 solo, e IL-4 con anti-IgM, anti-CD40 o anti-CD19, después de cinco días en cultivo. La Figura 3B muestra los niveles de IgM e IgG medidos en los sobrenadantes obtenidos de células B humanas estimuladas con ztnf4 soluble en presencia de IL-4 o IL-4+IL-5, después de nueve días en cultivo.

Estos resultados sugieren que el ztnf4 soluble es una molécula de activación de células B que actúa de concierto con otros estímulos de células B y débilmente por sí mismo. El ztnf4 soluble activa la proliferación de células B y la producción de Ig. La suprarregulación de moléculas de adhesión, moléculas coestimuladoras y receptores de activación sugiere un papel para activar la función APC de las células B.

La Figura 4 muestra la estimulación de células B de sangre periférica humana con ztnf4 soluble (25 ng/ml) o una proteína testigo (ubiquitina) en presencia de 10 ng/ml de IL-4 durante 5 días *in vitro*. TACI-Ig, BCMA-Ig y Fc testigo purificados fueron ensayados en cuanto a la inhibición de la proliferación específica por ztnf4 soluble.

Ejemplo 4

5

10

15

2

25

30

Selección de células BHK transformadas con TACI y BCMA, usando la unión de ztnf4

Células BHK que expresan un nivel elevado de proteína TACI fueron seleccionadas mediante clonación por dilución de una colección de transfectantes. Se incubaron células transfectantes (2 x 10⁵) sobre hielo durante 30 minutos con ztnf4 biotinilado en una concentración de 1 µg/ml en tampón de unión (PBS, BSA al 2% y NaN₃ al 0,02%). Las células fueron lavadas 2 veces con tampón de unión y fueron luego incubadas con estreptavidina-ficoeritrina (SA-PE; del inglés, streptavidin-phycoerythrin) (Caltag; dilución 1:1.000 en tampón de unión) sobre hielo durante 30 minutos. Las células fueron luego lavadas 2 veces en tampón de unión, resuspendidas en tampón de unión y leídas por FACS (FACS Vantage, Becton Dickinson). Se seleccionan los clones con la mayor unión de TNF4.

Células BHK que expresan un nivel elevado de proteína BCMA fueron seleccionadas al marcar superficialmente con ztnf4 biotinilado la colección de transfectantes que expresan BCMA. Esto fue seguido de SA-PE (Caltag, Burlingame, California, EE.UU.) y clasificación en medio estéril en cuanto a células brillantes en el canal 2 de fluorescencia (FL2) del sistema FACS Vantage (Becton Dickinson). Las colonias individuales fueron luego exploradas en cuanto a la unión de ztnf4.

65

Ejemplo 5

50

Distribución tisular

Se sondaron transferencias Northern de múltiples tejidos humanos (MTN I, MTN II y MTN III; Clontech) para determinar la distribución tisular de la expresión humana de BR43x2 y TACI. Una sonda de aproximadamente 500 bp procedente de PCR (ID. SEC. n° 21) fue multiplicada usando BR43x2 (ID. SEC. n° 1) como molde y los oligonucleótidos ZC20061 (ID. SEC. n° 22) y ZC20062 (ID. SEC. n° 23) como cebadores. Esta secuencia es idéntica a la región homóloga de TACI. La multiplicación fue llevada a cabo del modo siguiente: 1 ciclo a 94°C durante 1,0 minutos, 30 ciclos de 94°C durante 30 segundos, 60°C durante 30 segundos y 72°C durante 30 segundos, seguidos de 1 ciclo a 72°C durante 10 minutos. Los productos de PCR fueron visualizados mediante electroforesis en gel de agarosa, y el producto de PCR de 500 bp fue purificado usando un sistema de extracción en gel (Qiagen, Chatsworth, California, EE.UU.) de acuerdo con las instrucciones del fabricante. La sonda fue marcada radiactivamente usando el sistema MULTIPRIME para marcación de DNA (Amersham, Arlington Heights, Illinois, EE.UU.) de acuerdo con las instrucciones del fabricante. La sonda fue purificada usando una columna NUCTRAP de empuje (Stratagene). Se utilizó la disolución EXPRESSHYB (Clontech) para la prehibridación y como una disolución de hibridación para las transferencias Northern. La hibridación tuvo lugar durante la noche a 65°C usando 106 cpm/ml de sonda marcada. Las transferencias se lavaron luego en tampón de disolución salina-citrato sódico (SSC; del inglés, saline-sodium citrate) 2x y dodecilsulfato sódico (SDS; del inglés, sodium dodecylsulfate) al 0,1% a temperatura ambiental, lo que fue seguido de 2 lavados en SSC 0,1x y SDS al 0,1% a 50°C. Se detectó un transcrito de aproximadamente 1,5 kb en bazo, ganglio linfático e intestino delgado.

Se sondaron transferencias Northern de múltiples tejidos humanos (MTN I, MTN II y MTN III; Clontech) para determinar la distribución tisular de la expresión de BCMA humana. Una sonda de aproximadamente 257 bp procedente de PCR (ID. SEC. nº 24) fue multiplicada usando cDNA de células Daudi como molde y los oligonucleótidos ZC21065 (ID. SEC. nº 25) y ZC21067 (ID. SEC. nº 26) como cebadores. La multiplicación fue llevada a cabo del modo siguiente: 1 ciclo a 94°C durante 1,0 minutos, 35 ciclos de 94°C durante 30 segundos, 60°C durante 30 segundos y 72°C durante 30 segundos, seguidos de 1 ciclo a 72°C durante 10 minutos. Los productos de PCR fueron visualizados mediante electroforesis en gel de agarosa, y el producto de PCR de 257 bp fue purificado usando un sistema de extracción en gel (Qiagen, Chatsworth, California, EE.UU.) de acuerdo con las instrucciones del fabricante. La sonda fue marcada radiactivamente usando el sistema MULTIPRIME para marcación de DNA (Amersham, Arlington Heights, Illinois, EE.UU.) de acuerdo con las instrucciones del fabricante. La sonda fue purificada usando una columna NUCTRAP de empuje (Stratagene). Se utilizó la disolución EXPRESSHYB (Clontech) para la prehibridación y como una disolución de hibridación para las transferencias Northern. La hibridación tuvo lugar durante la noche a 65°C usando 10° cpm/ml de sonda marcada. Las transferencias se lavaron luego en SSC 2x y SDS al 0,1% a temperatura ambiental, lo que fue seguido de 2 lavados en SSC 0,1x y SDS al 0,1% a 50°C. Se detectó un transcrito de aproximadamente 1,2 kb en estómago, intestino delgado, ganglio linfático, tráquea, bazo y testículo.

Transferencias RNA Master en forma de manchas (Clontech) que contenían RNAs de diversos tejidos que estaban normalizados a 8 genes domésticos fueron también sondadas con la sonda de TACI (ID. SEC. nº 21) o la sonda de BCMA (ID. SEC. nº 24) e hibridadas de la manera anteriormente descrita. Se vio expresión de BR43x2/TACI en bazo, ganglio linfático, intestino delgado, estómago, glándula salival, apéndice, pulmón, médula ósea y bazo fetal. Se detectó expresión de BCMA en intestino delgado, bazo, estómago, colon, ganglio linfático y apéndice.

Se sondaron un Blot V de un conjunto de tumores humanos (Invitrogen Inc., San Diego, California, EE.UU.) y una transferencia de linfoma humano (Invitrogen) de la forma anteriormente descrita con una sonda de BR43x2/TACI (ID. SEC. n° 21) o una sonda de BCMA (ID. SEC. n° 24). Se halló un transcrito de 1,5 kb que correspondía a TACI en linfoma no Hodgkin y tumor parotídeo. Se halló un transcrito de 1,2 kb que correspondía a BCMA en adenolinfoma, linfoma no Hodgkin y tumor parotídeo.

Se preparó RNA total de células CD4+, CD8+, CD19+ y células que presentan reacción mixta de linfocitos (CellPro, Bothell, Washington, EE.UU.) usando isotiocianato de guanidina (Chirgwin et al., <u>Biochemistry 18</u>: 52-94, 1.979), seguido de una operación de centrifugación en CsCl. Se aisló poli(A) + RNA usando una cromatografía en oligo(dT)-celulosa (Aviv y Leder, <u>Proc. Natl. Acad.Sci. USA</u> <u>69</u>: 1.408-12, 1.972). Luego se llevó a cabo un análisis por transferencia Northern del modo siguiente.

Aproximadamente 2 mg de cada uno de los poli(A) + RNAs fueron desnaturalizados en formaldehído 2,2 M/tampón de fosfato (Na₂HPO₄ 50 mM, NaH₂PO₄ 50 mM, NaOAc 50 mM, EDTA 1 mM y formaldehído 2,2 M) y sometidos a separación mediante electroforesis en un minigel de agarosa al 1,5% (Stratagene Cloning Systems, La Jolla, California, EE.UU.) en formaldehído/tampón de fosfato. El RNA fue transferido durante la noche a un filtro Nytran (Schleicher & Schuell, Keene, New Hampshire, EE.UU.), y el filtro fue reticulado por luz UV (1.200 mJ) en un reticulador UV STRATALINKER® (Stratagene Cloning Systems) y luego secado a 80°C durante 1 hora.

Las transferencias fueron sondadas con una sonda de TACI (ID. SEC. nº 21) o de BCMA (ID. SEC. nº 24). Sólo se detectó una banda de 1,5 kb que representaba a TACI en células CD19⁺. Se detectó tenuemente un transcrito de 1,2 kb que representaba a BCMA en células CD8⁺, CD19⁺ y MLR.

Se llevó a cabo un análisis adicional por transferencia Northern sobre transferencias realizadas con poli(A)-RNA de células K-562 (línea eritroide, ATCC CCL 243), células HUT78 (célula T, ATCC TIB-161), células Jurkat (célula T), DAUDI (linfoma humano de Burkitt, Clontech, Palo Alto, California, EE.UU.), RAJI (linfoma humano de Burkitt, Clontech) y HL60 (monocito) del modo anteriormente descrito. Las transferencias fueron sondadas con una sonda de TACI (ID. SEC. nº 21) o de BCMA (ID. SEC. nº 24). Se detectó un transcrito de 1,5 kb que correspondía a TACI en células Raji. Se detectó un transcrito de 1,2 kb que correspondía a BCMA en células Daudi, Raji y Hut 78.

Se usó una exploración basada en PCR para identificar tejidos que expresasen TACI humano o murino y BCMA humano. Se exploraron los conjuntos de expresión génica Řapid-ScanTM (OriGene Technologies, Inc., Řockville, Maryland, EE.UU.) humanos y murinos de acuerdo con las instrucciones del fabricante. Se crearon los cebadores oligonucleotídicos ZC24200 (ID. SEC. nº 27) y ZC24201 (ID. SEC. nº 28) para abarcar una juntura exónica y producir un fragmento de 272 bp correspondiente a TACI murino. Se detectó expresión en bazo, timo, pulmón, mama, corazón, músculo, piel, glándula suprarrenal, estómago, intestino delgado, cerebro, ovario, próstata y embrión. Se detectaron bandas adicionales de ~500 y 800 bp en muchos tejidos.

15

Se crearon los cebadores oligonucleotídicos ZC24198 (ID. SEC. nº 29) y ZC24199 (ID. SEC. nº 30) para abarcar una juntura exónica y producir un fragmento de 204 bp correspondiente a TACI humano. Se detectó expresión en bazo, cerebro, corazón, hígado, colon, pulmón, intestino delgado, músculo, estómago, testículo, placenta, glándula salival, glándula suprarrenal, páncreas, próstata, linfocitos de sangre periférica y médula ósea.

20

Se crearon los cebadores oligonucleotídicos ZC24271 (ID. SEC. nº 31) y ZC24272 (ID. SEC. nº 32) para abarcar una juntura exónica y producir un fragmento de 329 bp correspondiente a BCMA humano. Se detectó expresión en cerebro, bazo, colon, pulmón, intestino delgado, estómago, ovario, testículo, glándula salival, glándula suprarrenal, próstata, linfocitos de sangre periférica, médula ósea e hígado fetal.

2.5

Se crearon los cebadores oligonucleotídicos ZC24495 (ID. SEC. nº 33) y ZC24496 (ID. SEC. nº 34) para abarcar una juntura exónica y producir un fragmento de 436 bp correspondiente a BCMA murino. Se detectó expresión en hígado.

Ejemplo 6

Preparación de vectores de las fusiones TACI-Ig y BCMA-Ig

Construcción del Fragmento Fc4 de Ig gamma-1

35

Para preparar la proteína de fusión TACI-Ig, la región Fc de IgG1 humana (la región bisagra y los dominios CH2 y CH3) fue modificada para eliminar las funciones receptor de Fc (FcgRI) y unión a complemento (C1q). Esta versión modificada de Fc de IgG1 humana fue llamada Fc4.

La región Fc fue aislada de una librería de hígado fetal humano (Clontech) por PCR usando los cebadores oligo-

nucleotídicos ZC10.134 (ID. SEC. nº 43) y ZC10.135 (ID. SEC. nº 44). Se usó PCR para introducir mutaciones en

la región Fc para reducir la unión a FcgRI. El sitio de unión a FcgRI (Leu-Leu-gly-Gly) fue mutado a Ala-Glu-gly-Ala (restos de aminoácido 38-41 de la ID. SEC. nº 45) de acuerdo con Baum et al. (EMBO J. 13: 3.992-4.001, 1.994), para reducir la unión a FcR1 (Duncan et al., Nature 332: 563-4, 1.988). Se usaron los cebadores oligonucleotídicos ZC15.345 (ID. SEC. n° 46) y ZC15.347 (ID. SEC. n° 47) para introducir la mutación. Para un volumen final de 50 μ l se añadieron 570 ng de molde de IgFc, $5 \mu l$ de tampón de reacción de Pfu 10x (Stratagene), $8 \mu l$ de desoxinucleótido trifosfatos (dNTPs) 1,25 nM, 31 μ l de H_2O destilada, y 2 μ l de ZC15.345 (ID. SEC. nº 46) y ZC15.347 (ID. SEC. nº 47) 20 mM. Se añadió un volumen igual de aceite mineral y se calentó la mezcla de reacción a 94°C durante 1 minuto. Se añadió polimerasa Pfu (2,5 unidades, Stratagene), lo que fue seguido de 25 ciclos a 94°C durante 30 segundos, 55°C durante 30 segundos, y 72°C durante 1 minuto, seguidos de una extensión de 7 minutos a 72°C. Se sometieron los productos de reacción a electroforesis y se detectó la banda correspondiente al tamaño previsto de ~676 bp. La banda fue escindida del gel y fue recuperada usando el sistema de extracción en gel QIAGEN QIAquick™ (Qiagen) de acuerdo con las instrucciones del fabricante.

También se usó PCR para introducir una mutación de Ala a Ser (resto de aminoácido 134 de la ID. SEC. nº 45) y Pro a Ser (resto de aminoácido 135 de la ID. SEC. nº 45) para reducir la unión del complemento C1q y/o la fijación del complemento (Duncan y Winter, Nature 332: 788, 1.988), y el codón de parada TAA. Se realizaron dos reacciones de primer ciclo usando como un molde la secuencia de IgFc mutada en el lado de unión a FcyRI. Para un volumen final de 50 μ l se añadieron 1 μ l de molde de IgFc mutada en el sitio de unión a Fc γ RI, 5 μ l de tampón de reacción de Pfu 10x (Stratagene), 8 µl de dNTPs 1,25 mM, 31 µl de H₂O destilada, 2 µl de ZC15.517 (ID. SEC. nº 48) 20 mM, un cebador 5' que empieza en el nucleótido 26 de la ID. SEC. nº 45, y 2 μ l de ZC15.530 (ID. SEC. nº 49) 20 mM, un cebador 3' que empieza en el complemento del nucleótido 405 de la ID. SEC. nº 45. La segunda mezcla de reacción contenía $2 \mu l$ de cada una de las disoluciones originales 20 mM de los cebadores oligonucleotídicos ZC15.518 (ID. SEC. nº 50), un cebador 5' que empieza en el nucleótido 388 de la ID. SEC. nº 45, y ZC15.347 (ID. SEC. nº 47), un cebador 3', para introducir la mutación Ala a Ser, un sitio de restricción Xba I y un codón de parada. Se añadió un volumen igual de aceite mineral y se calentaron las mezclas de reacción a 94°C durante 1 minuto. Se añadió polimerasa Pfu (2,5 unidades, Stratagene), lo que fue seguido de 25 ciclos a 94°C durante 30 segundos, 55°C durante 30 segundos, y 72°C durante 2 minutos, seguidos de una extensión de 7 minutos a 72°C. Se sometieron los

productos de reacción a electroforesis y se detectaron las bandas correspondientes a los tamaños previstos, ~370 y ~ 395 bp, respectivamente. Las bandas fueron escindidas del gel y fueron extraídas usando el sistema de extracción en gel QIAGEN QIAquickTM (Qiagen) de acuerdo con las instrucciones del fabricante. Se realizó una reacción de segundo ciclo para unir los fragmentos anteriores y añadir el sitio de restricción BamH I 5'. Para un volumen final de 50 μl se añadieron 30 μl de H₂O destilada, 8 μl de dNTPs 1,25 mM, 5 μl de tampón de reacción de polimerasa Pfu 10x (Stratagene), y 1 μl de cada uno de los dos primeros productos de las dos PCR. Se añadió un volumen igual de aceite mineral y se calentó la mezcla de reacción a 94°C durante 1 minuto. Se añadió polimerasa Pfu (2,5 unidades, Stratagene), lo que fue seguido de 5 ciclos a 94°C durante 30 segundos, 55°C durante 30 segundos, y 72°C durante 2 minutos. Se llevó de nuevo la temperatura a 94°C y se añadieron 2 μl de cada una de las disoluciones originales 20 mM de ZC15.516 (ID. SEC. n° 51), un cebador 5' que empieza en el nucleótido 1 de la ID. SEC. n° 45, y ZC15.347 (ID. SEC. n° 47), lo que fue seguido de 25 ciclos a 94°C durante 30 segundos, 55°C durante 30 segundos y 72°C durante 2 minutos, y una extensión final de 7 minutos a 72°C. Una porción de la mezcla de reacción fue visualizada usando electroforesis en gel. Se detectó una banda de 789 bp que correspondía al tamaño previsto.

Construcción de los vectores de expresión de TACI-Fc4 y BCMA-Fc4

15

Plásmidos de expresión que contenían las proteínas de fusión TACI-Fc4 y BCMA-Fc4 fueron construidos en levadura por medio de recombinación homóloga. Se aisló un fragmento de cDNA de TACI usando PCR, que incluía la secuencia polinucleotídica del nucleótido 15 al nucleótido 475 de la ID. SEC. n° 5. Los dos cebadores usados en la producción del fragmento de TACI eran: (1) un cebador que contenía 40 bp de la secuencia flanqueadora 5' del vector y 17 bp que correspondían al extremo amínico del fragmento de TACI (ID. SEC. n° 52); y (2) 40 bp del extremo 3' correspondiente a la secuencia de Fc4 flanqueadora y 17 bp que correspondían al extremo carboxílico del fragmento de TACI (ID. SEC. n° 53). Para un volumen final de 100 μl se añadieron 10 ng de molde de TACI, 10 μl de tampón de reacción de polimerasa Taq 10x (Perkin Elmer), 8 μl de dNTPs 2,5 nM, 78 μl de H₂O destilada, 2 μl de cada una de las disoluciones originales 20 mM de los cebadores oligonucleotídicos de ID. SEC. n° 52 e ID. SEC. n° 53, y polimerasa Taq (2,5 unidades, Life Technology). Se añadió un volumen igual de aceite mineral y se calentó la mezcla de reacción a 94°C durante 2 minutos, lo que fue seguido de 25 ciclos a 94°C durante 30 segundos, 65°C durante 30 segundos y 72°C durante 1 minuto, seguidos de una extensión de 5 minutos a 72°C.

Se aisló un fragmento de cDNA de BCMA usando PCR, que incluye la secuencia polinucleotídica del nucleótido 219 al nucleótido 362 de la ID. SEC. n° 7. Los dos cebadores usados en la producción del fragmento de BCMA eran un cebador oligonucleotídico que contenía 40 bp de la secuencia flanqueadora 5' del vector y 17 bp que correspondían al extremo amínico del fragmento de BCMA (ID. SEC. n° 54); y un cebador oligonucleotídico que contenía 40 bp del extremo 3' correspondiente a la secuencia de Fc4 flanqueadora y 17 bp que correspondían al extremo carboxílico del fragmento de BCMA (ID. SEC. n° 55). Para un volumen final de 100 µl se añadieron 10 ng de molde de BCMA, 10 µl de tampón de reacción de polimerasa Taq 10x (Perkin Elmer), 8 µl de dNTPs 2,5 mM, 78 µl de H₂O, y 2 µl de cada una de las disoluciones originales 20 mM de los cebadores oligonucleotídicos de ID. SEC. n° 54 e ID. SEC. n° 55. Se añadió un volumen igual de aceite mineral y se calentó la mezcla de reacción a 94°C durante 2 minutos, lo que fue seguido de 25 ciclos a 94°C durante 30 segundos, 65°C durante 30 segundos y 72°C durante 1 minuto, seguidos de una extensión de 5 minutos a 72°C.

El fragmento que contiene el cDNA que codifica el fragmento Fc4 fue construido de una manera similar, uno para cada una de las construcciones de fusión de TACI y BCMA. Para TACI, los dos cebadores usados en la producción del fragmento Fc4 eran (aguas arriba y aguas abajo) un cebador oligonucleotídico que contenía 40 bp de la secuencia flanqueadora 5' de TACI y 17 bp que correspondían al extremo amínico del fragmento Fc4 (ID. SEC. nº 56); y un cebador oligonucleotídico que contenía 40 bp del extremo 3' correspondiente a la secuencia vector flanqueadora y 17 bp que correspondían al extremo carboxílico del fragmento Fc4 (ID. SEC. nº 57). Para BCMA, el cebador aguas arriba usado en la producción del fragmento Fc4 era un cebador oligonucleotídico que contenía 40 bp de la secuencia flanqueadora 5' de BCMA y 17 bp que correspondían al extremo amínico del fragmento Fc4 (ID. SEC. nº 58). Para la construcción de BCMA, el cebador aguas abajo para el Fc4 era el mismo que el anteriormente descrito para TACI-Fc4 (ID. SEC. nº 57).

Para un volumen final de $100~\mu$ l se añadieron 10~ng del molde de Fc4 anteriormente descrito, $10~\mu$ l de tampón de reacción de polimerasa Taq 10x (Perkin Elmer), $8~\mu$ l de dNTPs 2.5~nM, $78~\mu$ l de H_2O destilada, $2~\mu$ l de cada una de las disoluciones originales 20~mM de los oligonucleótidos de ID. SEC. n° 56 e ID. SEC. n° 57 para TACI y los oligonucleótidos de ID. SEC. n° 58 e ID. SEC. n° 57 para BCMA, y polimerasa Taq (2.5~unidades, Life Technology). Se añadió un volumen igual de aceite mineral y se calentó la mezcla de reacción a 94° C durante 2~minutos, lo que fue seguido de 25~ciclos a 94° C durante 30~segundos, 65° C durante 30~segundos y 72° C durante 1~minutos, seguidos de una extensión de 5~minutos a 72° C.

Se desarrollaron diez microlitros de cada una de las mezclas de reacción PCR de 100 μ l anteriormente descritas, en un gel de agarosa de bajo punto de fusión al 0,8% (Seaplaque GTG) con tampón TBE 1x para análisis. Los 90 μ l restantes de cada reacción PCR fueron sometidos a precipitación mediante la adición de 5 μ l de NaCl 1 M y 250 μ l de etanol absoluto. El plásmido pZMP6 fue cortado con SmaI para linealizarlo en el policonector. El plásmido pZMP6 procedía del plásmido pCZR199 (American Type Culture Collection, Manassas, Virginia, EE.UU.; ATCC nº 98668) y es un vector de expresión de mamífero que contiene una casete de expresión que tiene el promotor precoz inmediato de CMV, un intrón de consenso procedente de la región variable del locus de cadenas pesadas inmunoglobulínicas de ratón, múltiples sitios de restricción para la inserción de secuencias de codificación, un codón de parada y un

terminador de la hormona de crecimiento humana (hGH; del inglés, human growth hormone). El plásmido tiene también un origen de replicación de *E. coli*, una unidad de expresión de marcadores seleccionables de mamífero que tiene un promotor, potenciador y origen de replicación del virus 40 de simios (SV40; del inglés, simian virus 40), un gen de DHFR y el terminador de SV40. El vector pZMP6 fue construido a partir de pCZR199 por sustitución del promotor de metalotioneína por el promotor precoz inmediato de CMV, y las secuencias de Kozac en el extremo 5' del marco de lectura abierto.

Se combinaron cien microlitros de células de levadura competentes (S. cerevisiae) con $10 \mu l$ que contenían aproximadamente $1 \mu g$ tanto del dominio extracelular de TACI o BCMA como de los fragmentos de PCR de Fc4 apropiados para recombinación con cada uno de ellos, y 100 ng del vector pZMP6 sometido a digestión con SmaI, y se transfirió la mezcla a una cubeta de electroporación de 0.2 cm. Las mezclas de levadura/DNA fueron sometidas a impulsos eléctricos de 0.75 kV (5 kV/cm), ∞ ohmios, $25 \mu F$. Se añadieron $600 \mu l$ de sorbitol 1.2 M a cada cubeta, y las levaduras fueron sembradas en dos partes alícuotas de $300 \mu l$ en placas URA-D y fueron incubadas a 30° C.

Después de aproximadamente 48 horas, los transformantes de levadura Ura+ de una sola placa fueron resuspendidos en 1 ml de H_2O y fueron centrifugados brevemente para recoger las células de levadura como sedimento. El sedimento celular fue resuspendido en 1 ml de tampón de lisis (Triton X-100 al 2%, SDS al 1%, NaCl 100 mM, Tris 10 mM, pH de 8,0, EDTA 1 mM). Se añadieron quinientos microlitros de la mezcla de lisis a un tubo Eppendorf que contenía 300 μ l de glóbulos de vidrio lavados con ácido y 200 μ l de fenol-cloroformo y se revolvió la mezcla dos o tres veces durante intervalos de 1 minuto con formación de remolinos, lo que fue seguido de una centrifugación de 5 minutos en una centrifugadora Eppendorf a la máxima velocidad. Se transfirieron trescientos microlitros de la fase acuosa a un tubo nuevo y se hizo precipitar el DNA con 600 μ l de etanol (EtOH), lo que fue seguido de centrifugación durante 10 minutos a 4°C. El sedimento de DNA fue resuspendido en 100 μ l de H_2O .

La transformación de células de *E. coli* electrocompetentes (DH10B, GibcoBRL) fue realizada con 0,5-2 ml de preparación de DNA de levadura y 40 μl de células DH10B. Las células fueron sometidas a impulsos eléctricos de 2,0 kV, 25 mF y 400 ohmios. Después de la electroporación, se sembró 1 ml de SOC [triptona Bacto (Difco, Detroit, Michigan, EE.UU.) al 2%, extracto de levadura (Difco) al 0,5%, NaCl 10 mM, KCl 2,5 mM, MgCl₂ 10 mM, MgSO₄ 10 mM, glucosa 20 mM] en partes alícuotas de 250 μl en cuatro placas LB AMP [caldo LB (Lennox), agar Bacto (Difco) al 1,8%, 100 mg/l de ampicilina].

Los clones individuales que contenían la correcta construcción de expresión para TACI-Fc4 o BCMA-Fc4 fueron identificados por digestión de restricción para verificar la presencia del inserto y confirmar que las diversas secuencias de DNA habían sido correctamente unidas entre sí. El inserto de los clones positivos fue sometido a un análisis de secuencia. Se aisla DNA plasmídico a mayor escala usando el sistema Qiagen Maxi (Qiagen) de acuerdo con las instrucciones del fabricante.

Ejemplo 7

15

25

40 Expresión de TACI-Fc4 y BCMA-Fc4 en mamífero

Células BHK 570 (ATCC nº CRL-10314) fueron sembradas en placas de 10 cm para cultivo tisular y fueron dejadas crecer hasta una confluencia de aproximadamente 50 a 70% durante la noche a 37°C, CO₂ al 5%, en medio DMEM/FBS [DMEM, Gibco/BRL High Glucose (Gibco BRL, Gaithersburg, Maryland, EE.UU.), suero bovino fetal (Hyclone, Logan, Utah, EE.UU.) al 5%, L-glutamina (JRH Biosciences, Lenexa, Kansas, EE.UU.) 1 mM, piruvato sódico (Gibco BRL) 1 mM]. Las células fueron luego transfectadas con el plásmido TACI-Fc4/pZMP6 o BCMA-Fc4/pZMP6, usando LipofectamineTM (Gibco BRL), en una formulación de medio exenta de suero (SF; del inglés, serum free) (DMEM, 10 mg/ml de transferrina, 5 mg/ml de insulina, 2 mg/ml de fetuína, L-glutamina al 1% y piruvato sódico al 1%). Se diluyó TACI-Fc4/pZMP6 o BCMA-Fc4/pZMP6 hasta un volumen final total de 640 μl con medio SF en tubos de 15 ml de capacidad. Se mezclaron 35 μ l de LipofectamineTM (Gibco BRL) con 605 μ l de medio SF. Se añadió la mezcla de LipofectamineTM a la mezcla de DNA y se dejó todo en incubación a temperatura ambiental durante aproximadamente 30 minutos. Se añadieron cinco militros de medio SF a la mezcla de DNA:LipofectamineTM. Se enjuagaron las células una vez con 5 ml de medio SF y se succionaron, y se añadió la mezcla de DNA:Lipofectamine™. Se incubaron las células a 37°C durante cinco horas y luego se añadieron 6,4 ml de medio DMEM/FBS al 10%, penicilina- estreptomicina-neomicina al 1% a cada placa. Las placas fueron incubadas a 37°C durante la noche, y la mezcla de DNA:LipofectamineTM fue sustituida por medio FBS al 5%/DMEM fresco el día siguiente. El día 5 después de la transfección, las células fueron repartidas en matraces T-162, en medio de selección (DMEM/FBS al 5%, L-Glu al 1%, piruvato sódico al 1%). Aproximadamente 10 días después de la transfección, dos placas de cultivo de 150 mm de colonias resistentes al metotrexato procedentes de cada transfección fueron tratadas con tripsina, y las células fueron reunidas, sembradas en un matraz T-162 y transferidas a un cultivo a gran escala.

Ejemplo 9

Expresión transgénica de ztnf4

65

Se crearon animales transgénicos que expresaban genes de ztnf4 usando machos fértiles adultos (B6C3f1), hembras fértiles prepubescentes (B6C3f1), machos sometidos a vasectomía (B6D2f1) y hembras fértiles adultas (B6D2f1) (todos de Taconic Farms, Germantown, New York, EE.UU.). Se hizo que las hembras fértiles prepubescentes supe-

rovularan usando gonadotropina de suero de yegua preñada (Sigma, St. Louis, Missouri, EE.UU.) y gonadotropina coriónica humana [hCG; del inglés, human chorionic gonadotropin (Sigma)]. Las hembras con superovulación fueron posteriormente apareadas con machos fértiles adultos, y la copulación fue confirmada por la presencia de tapones vaginales.

Los óvulos fertilizados fueron recogidos bajo un ámbito quirúrgico (Estereomicroscopio Leica MZ12, Leica, Wetzlar, Alemania). Los óvulos fueron luego lavados en hialuronidasa y medio W640 de Whitten (Tabla 8; todos los reactivos asequibles de Sigma Chemical Co.) que había sido incubado con CO₂ al 5%, O₂ al 5% y N₂ al 90% a 37°C. Los óvulos fueron guardados en una incubadora a 37°C/CO₂ al 5% hasta la microinyección.

TABLA 8 *Medio 640 de WHITTEN*

15		mg/200 ml	mg/500 ml
	NaCl	1.280	3.200
	KCI	72	180
20	KH_2PO_4	32	80
20	$MgSO_4-7H_2O$	60	150
	Glucosa	200	500
	Lactato Ca ²⁺	106	265
	Bencilpenicilina	15	37,5
25	Estreptomicina-SO ₄	10	25
	$NaHCO_3$	380	950
	Piruvato Na	5	12,5
	H_2O	200 ml	500 ml
30	EDTA 500 mM	100μ l	$250 \mu l$
	Rojo fenol al 5 %	200μ l	500μ l
	BSA	600	1.500

50

El marco de lectura abierto de 858 bp que codifica el ligando Blys de TACI humano de longitud completa (ID. SEC. n° 35) fue multiplicado por PCR con objeto de introducir un codón de iniciación optimizado y sitios 5' *PmeI* y 3' *AscI* flanqueadores usando los cebadores oligonucleotídicos de ID. SEC. n° 36 e ID. SEC. n° 37. Este fragmento *PmeI/AscI* fue subclonado en pKFO24, un vector transgénico restringido a células B y/o T que contiene el potenciador E_m de Ig (fragmento *NotI/XbaI* de 690 bp de pE_mSR; Bodrug et al., EMBO J. 13: 2.124-30, 1.994), el promotor V_h de Ig (fragmento *HincII/HxoI* de 536 bp de pJH1X(-); Hu et al., J. Exp. Med. 177: 1.681-90, 1.993), el intrón 16S de SV40 (fragmento *XhoI/HindIII* de 171 bp de pE_mSR), un policonector *PmeI/AscI*, y la señal de poliadenilación del gen de la hormona de crecimiento humana (fragmento *SmaI/Eco*RI de 627 bp; Seeburg, DNA 1: 239-49, 1.982). El inserto transgénico fue separado de la estructura plasmídica por digestión con *NotI* y purificación en gel de agarosa, y los óvulos fertilizados de los apareamientos de ratones B6C3F1Tac anteriormente descritos fueron microinyectados e implantados en hembras seudopreñadas esencialmente del modo previamente descrito (Malik et al., Molec. Cell. Biol. 15: 2.349-58, 1.995).

Los receptores fueron devueltos a las jaulas por parejas y fueron dejados en una gestación de 19-21 días. Después del parto, se dejaron 19-21 días de posparto antes de la determinación del sexo y el destete, y se cortaron 0,5 cm de la cola con unas tijeras limpias para biopsia (usados para determinación del genotipo).

Se preparó DNA genómico a partir de los recortes de la cola usando un sistema comercialmente asequible (Dneasy 96 Tissue Kit; Qiagen, Valencia, California, EE.UU.), siguiendo las instrucciones del fabricante. El DNA genómico fue analizado por PCR usando cebadores diseñados para la porción 3' UTR (región no traducida; del inglés, untranslated region) de la hormona de crecimiento humana (hGH) del vector transgénico. Los cebadores ZC17251 (ID. SEC. nº 38) y ZC17252 (ID. SEC. nº 39) multiplican un fragmento de 368 pares de bases de hGH. El uso de una región única con respecto a la secuencia humana (identificada a partir de una alineación de las secuencias de DNA 3' UTR de las hormonas de crecimiento humana y de ratón) aseguraba que la reacción PCR no multiplicaba la secuencia de ratón. Además, pueden usarse los cebadores ZC17156 (ID. SEC. nº 40) y ZC17157 (ID. SEC. nº 41), que se hibridan con secuencias del vector y multiplican el inserto de cDNA, junto con los cebadores de hGH. En estos experimentos, el DNA de animales positivos para el transgén generaba dos bandas, una banda de 368 pares de bases correspondiente al fragmento 3' UTR de hGH, y una banda de tamaño variable que correspondía al inserto de cDNA.

Una vez que se confirmó que los animales eran transgénicos (TG), fueron retrocruzados en una cepa consanguínea al colocar una hembra TG con un macho de tipo silvestre, o un macho TG con una o dos hembras de tipo silvestre. Una vez nacidas y destetadas las crías, se separaron por sexo y se cortaron muestras de la cola con unas tijeras para determinación del genotipo.

Para comprobar la expresión de un transgén en un animal vivo, se lleva a cabo una biopsia de supervivencia. El análisis del nivel de expresión de mRNA de cada transgén fue realizado usando un ensayo de hibridación en disolución de RNA o una PCR en tiempo real en un dispositivo ABI Prism 7700 (PE Applied Biosystems, Inc., Foster City, California, EE.UU.) siguiendo las instrucciones del fabricante.

Preparación celular y citometría de flujo

Se analizaron los ratones fundadores a distintas edades. Para el análisis citométrico de flujo (FACS) de tejidos linfoides, se aislaron células de médula ósea (BM; del inglés, bone marrow) de fémures y tibias por deshacimiento cuidadoso en disolución salina tamponada con fosfato (PBS) usando un mortero y su maja. Las células fueron resuspendidas, desprovistas de fragmentos óseos por sedimentación pasiva y recogidas como sedimento de una centrifugación a 1.000 x g. Se obtuvieron esplenocitos, timocitos o células de ganglio linfático aplastando tejidos intactos entre portaobjetos de vidrio, y luego resuspendiendo y recogiendo las células como sedimento de centrifugación de igual modo que para BM. Antes de su tinción, las células fueron resuspendidas en tampón de lavado (WB; del inglés, wash buffer) de FACS (disolución salina equilibrada de Hank, BSA al 1%, Hepes 10 mM, pH de 7,4) en una concentración de 20 x 106 células/ml. Para la tinción, 1 x 106 células fueron transferidas a tubos de 5 ml de capacidad, lavadas con 1 ml de WB de FACS y luego recogidas como sedimento de una centrifugación a 1.000 x g. Las células fueron luego incubadas sobre hielo durante 20 minutos en presencia de cantidades saturantes de los apropiados anticuerpos monoclonales (mAbs; del inglés, monoclonal Antibodies) conjugados con FITC, PE y/o TriColor(TC), en un volumen total de 100 ml en WB de FACS. Las células fueron lavadas con 1,5 ml de WB y recogidas como sedimento de centrifugación, y fueron luego resuspendidas en 400 ml de WB y analizadas en un citómetro de flujo FACSCalibur usando el programa informático CellQuest (Becton Dickinson, Mountain View, California, EE.UU.). Se ajustaron detectores a escala lineal para las dispersiones lumínicas directa (FSC; del inglés, forward scatter) y lateral (SSC; del inglés, side scatter), mientras que se usaron detectores logarítmicos para los tres canales de fluorescencia (FL-1, FL-2 y FL-3).

En cada experimento, se llevó a cabo una compensación para el solapamiento espectral entre canales FL usando poblaciones celulares teñidas con un solo color. Todas las células fueron recogidas sin selección en un disco, y los datos fueron analizados usando el programa informático CellQuest. Los glóbulos rojos y las células muertas fueron excluídas al seleccionar electrónicamente los datos sobre la base de los perfiles FSC frente a SSC.

Anticuerpos

Los mAbs anti-CD8 conjugado con isotiocianato de fluoresceína (FITC) (clon 53-6.7) y anti-CD4 conjugado con ficoeritrina (PE) (clon RM4-5), anti-CD5 (clon 53-7.3), anti-CD19 (clon 1D3) y antisindecán (clon 281-2) fueron adquiridos a PharMingen (San Diego, California, EE.UU.). El mAb anti-CD45R/B220 conjugado con Tricolor(TC) (clon RA3-6B2) fue adquirido a Caltag.

Ratones transgénicos que sobreexpresan ztnf4 en el compartimiento linfoide desarrollan números aumentados de células B periféricas, células plasmáticas aumentadas y niveles elevados de inmunoglobulina sérica. Estos animales transgénicos tienen un número aumentado de células B200+ en el bazo, los ganglios linfáticos y el timo. El número aumentado de células B esplénicas incluye tanto células B-2 convencionales como la población de células B-1 normalmente rara. En general, las células B-1 están en gran parte confinadas en la cavidad peritoneal y otras cavidades corporales, producen anticuerpos autorreactivos de baja afinidad y se han asociado a menudo con el desarrollo de enfermedades autoinmunes tales como el lupus sistémico eritematoso (SLE).

Los animales transgénicos más viejos producen autoanticuerpos y desarrollan proteinuria y glomérulos escleróticos, características del lupus sistémico eritematoso.

La Figura 5A muestra suspensiones celulares independientes de bazo (gráfico superior), ganglio linfático mesentérico (gráfico central) y médula ósea (gráfico inferior) preparadas del modo descrito más adelante, teñidas con anti-B220-TC y analizadas por citometría de flujo. El número de células B220+ en cada tejido fue calculado multiplicando el porcentaje de células B220+ por el número total de células vivas (exclusión de azul de tripano) contadas con un hemocitómetro. Cada barra representa datos de ratones individuales transgénicos en cuanto a ztnf4 (TG, barras sombreadas) o compañeros de camada testigo no-TG (barras claras).

La Figura 5B muestra células aisladas de ganglio linfático (fila superior), bazo (filas centrales) y timo (fila inferior) de ratones TG en cuanto a ztnf4 (gráficos a mano derecha) y de compañeros de camada no-TG (gráficos a mano izquierda), teñidas con mAbs hacia las moléculas indicadas (CD5, CD4 y CD8) y luego analizadas por citometría de flujo. Los datos mostrados fueron seleccionados para excluir las células muertas y los glóbulos rojos.

La Figura 5C muestra niveles totales de IgG, IgM e IgE en suero de ratones transgénicos en cuanto a ztnf4 con una edad que variaba de 6 a 23 semanas.

La Figura 5D muestra el depósito de amiloide y el mesangio engrosado de los glomérulos identificados en secciones renales, teñidas con H&E, de ratones transgénicos en cuanto a ztnf4 en comparación con glomérulos normales de compañeros de camada testigo.

29

5

25

30

45

- د

La Figura 5E muestra un aumento de células T efectoras en ratones transgénicos en cuanto a ztnf4, similar al comunicado por Mackay et al. (J. Exp. Med. 190: 1.697-1.710, 1.999).

Se inyectan (ip, im o iv) fusiones solubles de TACI (BR43x2) o BCMA- Ig a animales transgénicos que sobreexpresan ztnf4. Se usará un análisis citométrico de flujo (FACS) de tejidos linfoides para identificar cualquier cambio en el número de células B B220+ en el bazo, los ganglios linfáticos y el timo.

Ejemplo 10

15

10 ELISA de unión directo

Se desarrolló un ELISA de unión directo para caracterizar la capacidad de TACI-Ig soluble o BCMA-Ig soluble para unirse a, e inhibir, la actividad biológica de ztnfr4 *in vitro*.

Una placa de 96 pocillos fue revestida con 1 µg/ml de anti-Ig humana de cabra (Jackson Labs, Bar Harbor, Massachusetts, EE.UU.) en tampón ELISA A (Na₂HCO₃ 0,1 M, pH de 9,6, NaN₃ al 0,02%) y fue incubada durante la noche a 4°C. TACI, BCMA, y un receptor de TNF no relacionado tal como ztnfr10 (ID. SEC. n° 42), como un testigo, fueron titulados mediante diluciones a la quinta parte desde 10 µg/ml hasta 320 ng/ml más un cero y coincubados con 2,5, 0,5 ó 0,1 µg/ml de ztnf4 biotinilado u ovoalbúmina como un testigo negativo, y fueron incubados durante 1 hora a temperatura ambiental.

La mezcla de receptor-ligando biotinilado coincubados fue luego añadida a las placas de 96 pocillos revestidos con anti-Ig humana de cabra. Las placas fueron luego lavadas [ELISA C, 500 μ l de Tween 20 (Sigma Chemical Co., St. Louis, Missouri, EE.UU.), 200 mg de NaN₃, PBS hasta un volumen final de 1 litro] y bloquedas con Superblock (Pierce, Rockford, Illinois, EE.UU.). Las placas fueron luego incubadas a 37°C durante 2 horas.

Las placas son lavadas una vez más con ELISA C, lo que va seguido de la adición de 100 μ l/pocillo de NeutrAvidinTM-HRP a 1:10.000 en ELISA B [5 ó 10 μ g de BSA (Sigma) para BSA al 1% o 2%, respectivamente, 250 μ l de Tween 20 (Sigma), 100 mg de NaN₃, disolución salina tamponada con fosfato, pH de 7,2 (PBS, Sigma), hasta un volumen final de 500 ml; alternativamente, el tampón puede ser preparado como BSA al 1% o 2% en tampón ELISA C]. Las placas son luego desarrolladas con o-fenilendiamina (OPD; del inglés, ortho-phenylendiamine) durante 10 minutos a temperatura ambiental y son leídas a 492 nm.

Ejemplo 11

Ensayo de actividad biológica

Se desarrolló un ensayo de actividad biológica para medir la inhibición, por TACI-FC soluble, de la estimulación de células B humanas por ztnf4 soluble. Se aislaron células B de células mononucleares de sangre periférica (PBMNC) usando glóbulos magnéticos-CD19 y el sistema de separación magnetico VarioMacs (Miltenyi Biotec, Auburn, California, EE.UU.) de acuerdo con las instrucciones del fabricante. Las células B purificadas fueron mezcladas con ztnf4 soluble (25 ng/ml) e IL-4 humana recombinante (10 ng/ml, Pharmigen) y fueron sembradas (por triplicado) en placas de 96 pocillos de fondo redondo en una cantidad de 1 x 10⁵ células por pocillo.

TACI-FC soluble fue diluido de 5 μg/ml a 6 ng/ml y fue incubado con las células B durante 5 días, estimulando durante la noche del día 4 con 3,7 x 10⁴ Bq de ³H-timidina (Amersham) por pocillo. Como un testigo, también se incubó TACI-FC soluble con células B e IL-4 sin ztnf4 presente.

Las placas fueron recolectadas usando la cosechadora Packard de placas y fueron contadas usando el lector Pac-50 kard. El receptor soluble TACI-Ig inhibía la capacidad de ztnf4 soluble para estimular la proliferación de células B *in vitro* de un modo dependiente de la dosis. Un exceso molar de TACI-Ig de 10 veces inhibe completamente la proliferación de células B humanas en respuesta a ztnf4 soluble en presencia de IL-4.

Ejemplo 12

Ensayo ORIGIN

Se determinaron los niveles de ztnf4 en individuos con un estado morboso (tal como SLE o artritis reumatoide, por ejemplo) con respecto a los de individuos normales usando un ensayo de electroquimioluminiscencia (ECL; del inglés, electrochemiluminescence). Se preparó una curva patrón a partir de ztnf4 humano soluble en unas concentraciones de 10 ng/ml, 0.1 ng/ml, 0.01 ng/ml y 0 ng/ml en tampón ORIGIN (Igen, Gaithersburg, Maryland, EE.UU.). Se diluyeron muestras de suero en tampón ORIGIN. Los patrones y las muestras se incubaron a temperatura ambiental durante 2 horas con anticuerpo anti-ztnf4-NF BV humano biotinilado de conejo, diluido hasta $1 \mu \text{g/ml}$ en tampón de ensayo Origin (Igen), y anticuerpo policlonal anti-ztnf4-NF BV humano rutenilado de conejo, diluido hasta $1 \mu \text{g/ml}$ en tampón de ensayo Origin (IGEN). Después de la incubación, se removieron las muestras con formación de remolinos y se añadieron $50 \mu \text{l/tubo}$ de Dynabeads-estreptavidina a 0.4 mg/ml (Dynal, Oslo, Noruega) a cada uno de los patrones y muestras, realizándose una incubación a temperatura ambiental durante 30 minutos. Las muestras fueron luego removidas con formación de remolinos y fueron leídas en un analizador Origin (Igen) de acuerdo con las instrucciones

del fabricante. El ensayo Origin se basa en la electroquimioluminiscencia y produce una lectura en ECL: ¿qué es esto, cómo actúa y qué te dice?

Se detectó un nivel elevado de ztnf4 en las muestras de suero de ratones tanto NZBWF1/J como MRL-Mpj-Fas^{lpr} que han progresado hasta fases avanzadas de glomerulonefritis y enfermedad autoinmune.

Ejemplo 13

TACI-Ig soluble en un modelo espontáneo de SLE

Los ratones NZBW se vuelven sintomáticos en cuanto a SLE espontáneo a aproximadamente los 7-9 meses de edad. Se administró TACI-Fc a ratones NZBW para determinar su efecto supresor sobre células B a lo largo del periodo de 5 semanas en que, por término medio, se piensa que la producción de autoanticuerpos por células B está en niveles elevados en los ratones NZBW.

Se dividieron cien hembras de ratón (NZB x NZW)F₁ de 8 semanas de edad (Jackson Labs) en 6 grupos de 15 ratones. Antes del tratamiento, se determinó una vez al mes la proteína úrica de los ratones y se extrajo sangre para cuenta sanguínea completa (CBC; del inglés, complete blood count) y depósito de suero. El suero será explorado en cuanto a la presencia de autoanticuerpos. Puesto que la proteinuria es la marca de contraste de la glomerulonefritis, los niveles de proteína úrica se determinaron mediante tira reactiva a intervalos regulares a lo largo del curso del estudio. Antes del tratamiento, los animales fueron pesados. La dosificación empezó cuando los ratones tenían aproximadamente 5 meses de edad. Los ratones recibieron inyecciones intraperitoneales de vehículo solo (PBS) o IgG-FC humano (proteína testigo) o TACI-FC4 (proteína de ensayo) tres veces a la semana durante 5 semanas.

Grupo (5 ratones cada uno)	Tratamiento	Dosis
1	Testigo no tratado	
2	Vehículo solo	
3	IgG-FC humano	20 μg
4	IgG-FC humano	100 μg
5	TACI-FC4 humano	20 μg
6	TACI-FC4 humano	100 μg

Se recogió sangre dos veces durante la dosificación y se recogerá al menos dos veces tras la dosificación. Se determinaron los valores de proteinuria mediante tira reactiva y los pesos corporales cada dos semanas una vez que hubo comenzado la dosificación. Se recogieron sangre, el valor úrico mediante tira reactiva y el peso corporal en el momento de la eutanasia. Se obtuvieron los pesos del bazo, timo, hígado con vesícula biliar, riñón izquierdo y cerebro. Se dividieron el bazo y el timo para análisis por FACS e histología. También se recogerán glándulas salivales submandibulares, cadena de ganglios linfáticos mesentéricos, lóbulo hepático con vesícula biliar, ciego e intestino grueso, estómago, intestino delgado, páncreas, riñón derecho, glándula suprarrenal, lengua con tráquea y esófago, corazón y pulmones para histología.

La Figura 6 muestra un nivel elevado de ztnf4 en suero de ratones NZBWF1 y MRL/lpr/lpr que se correlaciona con el desarrollo de SLE. El gráfico superior de la Figura 6A muestra la correlación de los niveles séricos de ztnf4 con la edad, 68 ratones NZBWF1 con una edad que variaba de 10 a 40 semanas y ratones testigo NZB/B de 10 semanas y 30 semanas de edad. El gráfico central muestra la correlación con proteinuria en tres intervalos, indicios a 20 mg/dl (I-30), 100-300 mg/dl y 2.000 mg/dl en ratones NZBWF1, comparada con la de ratones NZB/B testigo. El gráfico inferior muestra niveles de ztnf4 con diversos títulos de anticuerpo anti-dsDNA en ratones NZBWF1, comparados con los de ratones NZB/B testigo.

La Figura 6B muestra las mismas correlaciones realizadas en 23 ratones MRL/lpr/lpr con una edad que variaba de 18 a 24 semanas y 10 ratones MRL/MpJ testigo de 11 semanas de edad.

La Figura 7 muestra resultados de urianálisis. Se consideró que los ratones tenían proteinuria si la lectura de la tira reactiva era ≥ 100 mg/dl. (A) PBS; (B) FC de IgG humano, 100 mg; (C) FC de IgG humano, 20 mg; (D) TACI-IgG humano, 100 mg; y (E) TACI-IgG humano, 20 mg. Los ratones tratados con la fusión TACI-IgG soluble mostraron un reducción de proteinuria.

El análisis de la sangre periférica de los animales tratados reveló que las cuentas de glóbulos blancos y linfocitos estaban reducidas en los ratones tratados con TACI-FC (20 y 100 mg) en comparación con las de los ratones tratados con FC (20 y 100 mg) y con PBS, 2 semanas después del inicio del tratamiento. El análisis por FACS (selección de

31

15

25

30

35

40

50

linfocitos) de sangre periférica extraída seis semanas después de que empezara el tratamiento (dos semanas después de que se administrara el último tratamiento) mostró una drástica reducción del porcentaje de células B presentes en las muestras. Los niveles de células B continuaron menguando a las cinco semanas después de que se administrara el último tratamiento, aunque no tan drásticamente. La Tabla 9 proporciona la media (y la desviación estándar) para los ratones de cada grupo de tratamiento. La reducción del porcentaje de células B en sangre periférica también se observó a las dos semanas de tratamiento.

TABLA 9

10	Tratamiento	Semana 2		Semana 5
		% de células B	% de células T	% de células B
	PBS	26,05 (6,52)	67,05 (6,80)	20,83 (3,14)
15	100 mg de FC	23,34 (5,77)	68,23 (7,30)	25,04 (8,07)
	20 mg de FC	24,09 (6,26)	65,27 (7,18)	18,96 (6,42)
	100 mg de TACI-FC	11,07 (5,03)	79,06 (6,71)	14,79 (4,76)
20	20 mg de TACI-FC	16,37 (7,27)	69,72 (8,90)	19,14 (5,27)

Ejemplo 14

TACI-Ig soluble en ratones normales

25

35

40

45

50

55

Se administró TACI-FC a ratones Balb/C para determinar su efecto sobre ratones normales. Sesenta hembras de ratón Balb/C (HSD) de 8 semanas de edad fueron divididas en 12 grupos de 5 ratones. Antes del tratamiento, se pesaron los ratones y se les extrajo sangre para CBC y depósito de suero. Los grupos 1-9 recibieron inyecciones intraperitoneales (ip) de vehículo solo (PBS) o IgG-FC humano (proteína testigo) o TACI-FC4 (proteína de ensayo) diariamente durante 12 días y fueron sacrificados el día 14. Los grupos 10 y 11 recibieron inyecciones ip tres veces por semana durante dos semanas y fueron sacrificados el día 14.

Grupo (5 ratones cada uno)	Tratamiento	Dosis
1	TACI-FC4 humano	200 mg
2	TACI-FC4 humano	100 mg
3	TACI-FC4 humano	20 μg
4	TACI-FC4 humano	5 μg
5	FC4 humano	200 μg
6	FC4 humano	100 mg
7	FC4 humano	20 mg
8	FC4 humano	5 mg
9	vehículo solo	tal cual
10	TACI-FC4 humano	100 mg
11	FC4 humano	100 mg
12	testigo no tratado	

60

Se recogió sangre los días 7 y 12. Se recogió sangre y se determinó el peso corporal en el momento de la eutanasia. Se obtuvieron los pesos del bazo, timo y cerebro. Se dividieron el bazo y el timo para análisis por FACS e histología. También se recogieron piel, bazo, cadena de ganglios linfáticos mesentéricos, glándulas salivales submandibulares, ovario, útero, cérvix, vejiga, lóbulo hepático con vesícula biliar, ciego e intestino grueso, estómago, intestino delgado, páncreas, riñón derecho, glándula suprarrenal, lengua con tráquea y esófago, corazón, timo, músculo del muslo, fémures izquierdo y derecho y cerebro para histología.

Como antes se describió en el Ejemplo 13, se vio una reducción significativa del porcentaje de células B los días 7 (por CBC) y 12 (usando FACS) en las células de sangre periférica obtenidas de todas las muestras tratadas con TACI-FC4, en comparación con las tratadas con FC4 o PBS solos y analizadas por CBC o FACS. Además, el día 14 hubo una disminución de células B de casi el 50% en los bazos obtenidos de animales tratados con TACI-FC4, en comparación con los de ratones tratados con FC4.

Ejemplo 15

ELISA anti-dsDNA

10

La autoinmunidad se caracteriza por niveles elevados de anticuerpos anti-DNA de doble cadena. Para medir los niveles de anticuerpos anti-dsDNA tanto en los ratones transgénicos que sobreexpresan ztnf4 como en los ratones NZBW, se desarrolló un ensayo ELISA. Una placa de microtitulación de 96 pocillos fue revestida con poli-L-lisina (Sigma; 20μ l/ml en tampón de Tris 0,1 M, pH de 7,3) en una cantidad de 75 μ l/pocillo y fue incubada durante la noche a temperatura ambiental. Las placas fueron luego lavadas en H_2O destilada y fueron revestidas con poli-dAdT (Sigma; 20μ l/ml en tampón de Tris 0,1 M, pH de 7,3) en una cantidad de 75 μ l/pocillo y fueron incubadas a temperatura ambiental durante 60 minutos. Las placas fueron luego lavadas con H_2O destilada y fueron bloqueadas con BSA (Sigma) al 2% en tampón de Tris durante 30 minutos a temperatura ambiental, lo que fue seguido de un lavado final en H_2O destilada.

20

Se obtuvieron muestras de suero de los ratones transgénicos en cuanto a ztnf4 descritos en el Ejemplo 10 y de los ratones NZBW descritos en el Ejemplo 11. Las muestras de suero fueron diluidas a 1:50 en BSA al 1%/gamma-globulina bovina (BGG; del inglés, bovine gamma globulin) al 2% (Calbiochem) en tampón de Tris. Las muestras diluidas fueron luego tituladas en la placa revestida a 1:50, 1:100, 1:200, 1:400, 1:800, 1:1.600, 1:3.200 y 1:6.400 (50 μl/pocillo) y fueron incubadas durante 90 minutos a temperatura ambiental.

Luego se lavaron las placas en H_2O destilada y se añadió anti- IgG-Fc de ratón-HRP, generado en cabra (Cappel), diluido a 1:1.000 en BSA al 1%/BGG al 2%, en una cantidad de 50 μ l/pocillo. Las placas fueron incubadas durante 60 minutos a temperatura ambiental. Las placas fueron lavadas 5 veces en H_2O destilada y fueron desarrolladas con OPD, 1 tableta/10 ml de Novo D, añadida en una cantidad de 100 μ l/pocillo. El revelador fue detenido con H_2SO_4 1 N, 100 μ l/pocillo, y la densidad óptica (OD; del inglés, optical density) fue leída a 492 nm.

La Figura 8 muestra los niveles de anti-dsDNA en dos ratones transgénicos en cuanto a ztnf4 (23 semanas de edad) y dos compañeros de camada no transgénicos, en comparación con los niveles detectados en el suero de ratones NZBWF1 (32 semanas de edad) y MRL/lpr/lpr (19 semanas de edad).

Ejemplo 16

TACI-Ig soluble en un modelo espontáneo de encefalomielitis alérgica experimental

40

60

65

Veinticinco hembras de ratón PLxSJL F1 (12 semanas de edad, Jackson Labs) recibieron una inyección subcutánea de $125~\mu g/r$ atón de antígeno [proteína proteolipídica (PLP; del inglés, proteolipid protein) de la mielina, restos 139-151], formulada en adyuvante completo de Freund. Los ratones son divididos en 5 grupos de 5 ratones. Los días 0 y 2 se administran inyecciones intraperitoneales de toxina pertussis (400~ng). Los grupos recibirán una dosis 1x, 10x o 100x de TACI, BCMA o BR43x2, un grupo sólo recibirá vehículo y un grupo no recibirá tratamiento alguno. La terapia de prevención comenzará el día 0; la terapia de intervención comenzará el día 7 o al inicio de los síntomas clínicos. Los síntomas de enfermedad, pérdida de peso y parálisis se manifiestan en aproximadamente 10-14 días y duran aproximadamente 1 semana. Los animales son evaluados diariamente obteniendo sus pesos corporales y asignándoles una calificación clínica que corresponda al grado de sus síntomas. Los síntomas clínicos de la EAE aparecen a los 10-14 días de la inoculación y persisten durante aproximadamente 1 semana. Al final del estudio, todos los animales son sometidos a eutanasia por sobredosis de gas y a necropsia. El cerebro y la columna vertebral son recogidos para histología o son congelados para análisis de mRNA. Los datos de peso corporal y calificación clínica son representados gráficamente por individuo y por grupo.

55 Calificación clínica

- 0 normal
- 0,5 débil, el tono de la cola puede estar reducido pero no ausente
- 1 cola flácida (el ratón no puede elevar la cola cuando es cogido por la base de la cola)
- 2 cola flácida, patas débiles (no puede elevar la cola, puede permanecer derecho sobre las patas traseras pero las patas están temblorosas).
- paresia (no puede sentarse con las patas bajo el cuerpo, anda echando las patas hacia los lados y hacia atrás)
- 4 parálisis (no puede mover las patas traseras, arrastra las patas cuando intenta andar)

- 5 cuadriplejia (parálisis en las patas delanteras o andadura siguiendo un patrón circular; puede tener la cabeza ladeada)
- 6 moribundo (completamente paralizado, no puede alcanzar la comida ni el agua; animal para sacrificar)

⁵ Ejemplo 17

TACI-FC y el modelo "artritis provocada por colágeno" para artritis reumatoide

Se dividen machos de ratón DBA/1J (Jackson Labs) de ocho semanas de edad en grupos de 5 ratones/grupo y se les administran dos inyecciones subcutáneas de 50-100 µl de colágeno (procedente de pollo o bovino) en concentración de 1 mg/ml, en intervalos de 3 semanas. Un testigo no recibirá inyecciones de colágeno. La primera inyección es formulada en adyuvante completo de Freund y la segunda inyección es formulada en adyuvante incompleto de Freund. Se administrará profilácticamente TACI-FC en el momento, o antes, de la segunda inyección, o una vez que el animal ha desarrollado una calificación clínica de 2 o más que persiste al menos 24 horas. Los animales comienzan a mostrar síntomas de artritis después de la segunda inyección de colágeno, normalmente en 2-3 semanas. El grado de enfermedad es evaluado en cada pata utilizando un calibre para medir el grosor de las patas y asignar una calificación clínica (0-4) a cada pata; calificación clínica: 0 normal, 1 punta(s) de la(s) pata(s) inflamada(s), 2 ligera inflamación de las patas, 3 moderada inflamación de las patas, y 4 grave inflamación de las patas. Los animales fueron sometidos a eutanasia una vez que se hubo establecido la enfermedad durante un determinado periodo de tiempo, normalmente 7 días. Se recogen las patas para histología o análisis de mRNA y se recoge suero para ensayos de inmunoglobulinas y citoquinas.

Ejemplo 18

²⁵ Anticuerpos neutralizantes hacia TACI

Se prepararon anticuerpos policionales antipeptídicos al inmunizar 2 hembras de conejo blanco de Nueva Zelanda con el péptido, huztnf4-1 SAGIAKLEE- GPELQLAIPRE (ID. SEC. n° 59) o huztnf4-2 SFKRGSALEEKENKELV-KET (ID. SEC. n° 60). Los péptidos fueron sintetizados usando un sintetizador peptídico Applied Biosystems Model 431A (Applied Biosystems, Inc., Foster City, California, EE.UU.) de acuerdo con las instrucciones del fabricante. Los péptidos fueron luego conjugados con el vehículo proteico, hemocianina de *Fissurella* (KLH), mediante activación con maleimida. Cada conejo recibió una inyección intraperitoneal (ip) inicial de $200 \,\mu\mathrm{g}$ de péptido en adyuvante completo de Freund, seguida de inyecciones ip de refuerzo de $100 \,\mu\mathrm{g}$ de péptido en adyuvante incompleto de Freund cada tres semanas. Siete a diez días después de la administración de la segunda inyección de refuerzo (3 inyecciones en total), se realizó una sangría a los animales y se recogió el suero. Los animales fueron luego reforzados y sangrados cada tres semanas.

Los sueros de conejo específicos del péptido ztnf4 fueron caracterizados mediante una determinación del título por ELISA usando 1 µg/ml de los péptidos usados para preparar el anticuerpo (ID. SEC. nºs 59 y 60) como una diana del anticuerpo. Los sueros de 2 conejos hacia el péptido huztnf4-1 (ID. SEC. nºs 59) tenían título hacia su péptido específico en una dilución de 1:1E5 (1:100.000). Los sueros de 2 conejos hacia el péptido huztnf4-2 (ID. SEC. nºs 60) tenían título hacia su péptido específico en una dilución de 1:5E6 y hacia proteínas recombinantes de longitud completa [ztnf4 N-terminalmente etiquetado con FLAG, preparado en baculovirus (huztnf4s- NF-Bv), y ztnf4 C-terminalmente etiquetado con FLAG, preparado en células BHK] en una dilución de 1:5E6.

Los anticuerpos policionales específicos del péptido ztnf4 fueron purificados del suero de conejo por afinidad usando columnas de proteína-CNBr- SEPHAROSE 4B (Pharmacia LKB) que fueron preparadas usando 10 mg de los péptidos específicos (ID. SEC. n° 59 y 60) por gramo de CNBr-SEPHAROSE, seguido de diálisis 20x en PBS durante la noche. Los anticuerpos específicos de ztnf4 fueron caracterizados mediante una determinación del título por ELISA usando 1 µg/ml del apropiado antígeno peptídico o proteína recombinante de longitud completa (huztnf4s-NF-Bv) como dianas del anticuerpo. El límite inferior de detección (LLD; del inglés, lower limit of detection) del anticuerpo de conejo anti-huztnf4-1, purificado por afinidad, con respecto a su antígeno específico (péptido huztnf4-1, ID. SEC. n° 59) es una dilución de 5 ng/ml. El LLD del anticuerpo de conejo anti-huztnf4-2, purificado por afinidad, con respecto a su antígeno específico (péptido huztnf4-2, ID. SEC. n° 60) es una dilución de 0,5 ng/ml. El LLD del anticuerpo de conejo anti-huztnf4-2 purificado por afinidad con respecto a la proteína recombinante huztnf4s-NF-Bv es una dilución de 5 ng/ml.

También se generaron anticuerpos monoclonales de ratón, y se seleccionaron en cuanto a la inhibición de la inhibición de ztnf4 soluble marcado con biotina. Ninguno de los anticuerpos monoclonales hacia TACI (248.14, 248.23, 248.24 y 246.3) bloquea la unión de ztnf4 a BCMA. El anticuerpo monoclonal 248.23 reduce la unión de 10 ng/ml de ztnf4-biotina a aproximadamente 50% cuando medio acondicionado es diluido hasta 1:243 y reduce la unión hasta aproximadamente 2x en medio no diluido. El anticuerpo monoclonal 246.3 reduce la unión de 10 ng/ml de ztnf4-biotina a aproximadamente 50% entre unas diluciones de 1:243 y 1:181 de medio acondicionado y reduce la unión 5x en medio no diluido.

El invento no está limitado salvo por las reivindicaciones adjuntas.

34

REIVINDICACIONES

- 1. Uso de un compuesto seleccionado del grupo que consiste en: 5 a) un polipéptido que comprende el dominio extracelular de BR43x2 (ID. SEC. nº 2); b) un polipéptido soluble que comprende el dominio extracelular de TACI; c) un polipéptido que comprende el dominio extracelular de BCMA; 10 d) un polipéptido que comprende la secuencia de ID. SEC. nº 10; e) un anticuerpo o fragmento de anticuerpo que se une específicamente a un polipéptido de ID. SEC. nº 2; 15 f) un anticuerpo o fragmento de anticuerpo que se une específicamente a un polipéptido de ID. SEC. nº 4; g) un anticuerpo o fragmento de anticuerpo que se une específicamente a un polipéptido de ID. SEC. nº 6; h) un anticuerpo o fragmento de anticuerpo que se une específicamente a un polipéptido de ID. SEC. nº 8; 20 i) un anticuerpo o fragmento de anticuerpo que se une específicamente a un polipéptido de ID. SEC. nº 10; k) un polipéptido de ID. SEC. nº 4; 25 1) los restos de aminoácido 1-166 de la ID. SEC. nº 6; m) los restos de aminoácido 8-37 de la ID. SEC. nº 8; y n) los restos de aminoácido 1-48 de la ID. SEC. nº 8, 30 en la fabricación de un medicamento para inhibir la actividad de ztnf4 en un mamífero. 2. Un uso de acuerdo con la Reivindicación 1, en el que dicho mamífero es un primate. 35 3. Uso de un compuesto seleccionado del grupo que consiste en: a) un polipéptido que comprende el dominio extracelular de BR43x2 (ID. SEC. nº 2); b) un polipéptido soluble que comprende el dominio extracelular de TACI; 40 c) un polipéptido que comprende el dominio extracelular de BCMA; d) un polipéptido que comprende la secuencia de ID. SEC. nº 10; 45 e) un anticuerpo o fragmento de anticuerpo que se une específicamente a un polipéptido de ID. SEC. nº 2; f) un anticuerpo o fragmento de anticuerpo que se une específicamente a un polipéptido de ID. SEC. nº 4; g) un anticuerpo o fragmento de anticuerpo que se une específicamente a un polipéptido de ID. SEC. nº 6; 50 h) un anticuerpo o fragmento de anticuerpo que se une específicamente a un polipéptido de ID. SEC. nº 8; i) un anticuerpo o fragmento de anticuerpo que se une específicamente a un polipéptido de ID. SEC. nº 10; 55 j) un anticuerpo o fragmento de anticuerpo que se une específicamente a un polipéptido de ID. SEC. nº 18; k) un anticuerpo o fragmento de anticuerpo que se une específicamente a un polipéptido de ID. SEC. nº 20; 1) un polipéptido de ID. SEC. nº 4; 60 m) los restos de aminoácido 1-166 de la ID. SEC. nº 6; n) los restos de aminoácido 8-37 de la ID. SEC. nº 8; y
 - 35

en la fabricación de un medicamento para inhibir el acoplamiento del receptor BR43x2, TACI o BCMA-ztnf4.

o) los restos de aminoácido 1-48 de la ID. SEC. nº 8,

- 4. Un uso de acuerdo con las Reivindicaciones 1-3, en el que dicho compuesto es una proteína de fusión que consiste en una primera porción y una segunda porción unidas por un enlace peptídico, primera porción que comprende un polipéptido seleccionado del grupo que consiste en:
- a) un polipéptido que comprende la secuencia de ID. SEC. nº 8;

5

10

20

2.5

30

35

40

45

- b) un polipéptido que comprende los restos de aminoácido 25-58 de la ID. SEC. nº 2;
- c) un polipéptido que comprende los restos de aminoácido 34-66 de la ID. SEC. nº 6;
- d) un polipéptido que comprende los restos de aminoácido 71-104 de la ID. SEC. nº 6;
- e) un polipéptido que comprende los restos de aminoácido 25-104 de la ID. SEC. nº 6;
- f) un polipéptido que comprende los restos de aminoácido 8-37 de la ID. SEC. nº 8;
 - g) un polipéptido que comprende los restos de aminoácido 41-88 de la ID. SEC. nº 8; y
 - h) un polipéptido que comprende los restos de aminoácido 8-58 de la ID. SEC. nº 8;
 - y segunda porción que comprende otro polipéptido.
 - 5. Un uso de acuerdo con la Reivindicación 4, en el que dicha primera porción comprende además un polipéptido seleccionado del grupo que consiste en:
 - a) los restos de aminoácido 59-120 de la ID. SEC. nº 2;
 - b) los restos de aminoácido 105-166 de la ID. SEC. nº 6; y
 - c) los restos de aminoácido 89-150 de la ID. SEC. nº 8.
 - 6. Un uso de acuerdo con la Reivindicación 4, en el que dicha primera porción es seleccionada del grupo que consiste en:
 - a) un polipéptido que comprende el dominio extracelular de BR43x2 (ID. SEC. n° 2);
 - b) un polipéptido soluble que comprende el dominio extracelular de TACI; y
 - c) un polipéptido que comprende el dominio extracelular de BCMA;
 - 7. Un uso de acuerdo con la Reivindicación 4, en el que dicha primera porción es seleccionada del grupo que consiste en:
 - a) un polipéptido de ID. SEC. nº 4;
 - b) los restos de aminoácido 1-154 de la ID. SEC. nº 6; y
 - c) los restos de aminoácido 1-48 de la ID. SEC. nº 8.
- 8. Un uso de acuerdo con las Reivindicaciones 4-7, en el que dicha segunda porción es una región constante de cadena pesada inmunoglobulínica.
 - 9. Un uso de acuerdo con la Reivindicación 8, en el que dicha región constante de cadena pesada inmunoglobulínica es una región constante de cadena pesada inmunoglobulínica humana.
 - 10. Un uso de acuerdo con la Reivindicación 9, en el que dicha región constante de cadena pesada inmunoglobulínica humana es una región constante de cadena pesada inmunoglobulínica humana de IgG1.
- 11. Un uso de acuerdo con las Reivindicaciones 8 a 10, en el que dicho medicamento comprende un multímero de dichas proteínas de fusión.
 - 12. Un uso de acuerdo con la Reivindicación 11, en el que dicho medicamento comprende una región constante de cadena pesada inmunoglobulínica que contiene dos dominios de región constante y carece de la región variable.
- 65 13. Un uso de acuerdo con las Reivindicaciones 1-12, en el que el medicamento es para el tratamiento de linfocitos B.
 - 14. Un uso de acuerdo con la Reivindicación 13, en el que los linfocitos B son linfocitos B activados.

- 15. Un uso de acuerdo con la Reivindicación 13, en el que los citados linfocitos B son linfocitos B en reposo.
- 16. Un uso de acuerdo con las Reivindicaciones 1-15, en el que el medicamento es para inhibir la producción de anticuerpos.
- 17. Un uso de acuerdo con la Reivindicación 16, en el que dicha producción de anticuerpos está asociada con una enfermedad autoinmune.
- 18. Un uso de acuerdo con la Reivindicación 17, en el que dicha enfermedad autoinmune es lupus sistémico eritematoso, miastenia gravis, esclerosis múltiple o artritis reumatoide.
 - 19. Un uso de acuerdo con las Reivindicaciones 1-18, para el tratamiento del asma, bronquitis, enfisema e insuficiencia renal de fase terminal.
- 20. Un uso de acuerdo con la Reivindicación 19, en el que dicha enfermedad renal es glomerulonefritis, vasculitis, nefritis o pielonefritis.
 - 21. Un uso de acuerdo con las Reivindicaciones 1-20, para el tratamiento de neoplasias renales, mielomas múltiples, linfomas, neuropatía de cadenas ligeras o amiloidosis.
 - 22. Un uso de acuerdo con las Reivindicaciones 1-21, para inhibir células T efectoras.
 - 23. Un uso de acuerdo con la Reivindicación 22, para moderar la respuesta inmune.
- 24. Un uso de acuerdo con la Reivindicación 22, en el que dicha inhibición comprende además inmunosupresión.
 - 25. Un uso de acuerdo con la Reivindicación 24, en el que dicha inmunosupresión está asociada con rechazo de injertos, enfermedad del injerto contra el huésped, enfermedad autoinmune o inflamación.
- 26. Un uso de acuerdo con la Reivindicación 17, en el que dicha enfermedad autoinmune es diabetes mellitus dependiente de insulina o la enfermedad de Crohn.
 - 27. Un uso de acuerdo con las Reivindicaciones 1-26, para el tratamiento de la inflamación.
- 28. Un uso de acuerdo con la Reivindicación 27, en el que dicha inflamación está asociada con dolor articular, hinchazón, anemia o shock séptico.
 - 29. Una molécula polinucleotídica aislada que codifica un polipéptido de ID. SEC. n° 2.
- 30. Una molécula polinucleotídica aislada de ID. SEC. n° 1.
 - 31. Un vector de expresión que comprende los siguientes elementos operativamente enlazados:
 - un promotor de transcripción;

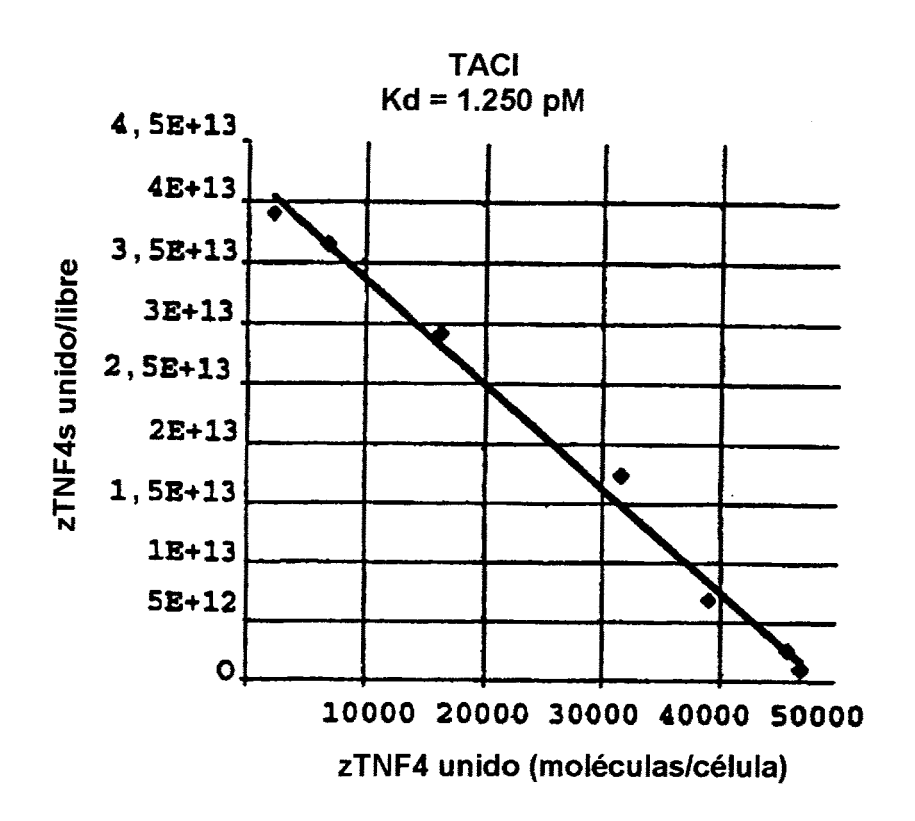
20

- una molécula polinucleotídica de acuerdo con la Reivindicación 29; y
- un terminador de transcripción.
- 32. Una célula en cultivo en la que se ha introducido un vector de expresión de acuerdo con la Reivindicación 31, célula en cultivo que expresa dicho polipéptido codificado por dicha molécula polinucleotídica.
 - 33. Un método para producir un polipéptido, que comprende:
- cultivar una célula en la que se ha introducido un vector de expresión de acuerdo con la Reivindicación 31, mediante lo cual dicha célula expresa dicho polipéptido codificado por dicha molécula polinucleotídica; y
 - recuperar dicho polipéptido expresado.
- 34. Un polipéptido aislado que tiene la secuencia de ID. SEC. n° 2.
 - 35. Un polipéptido de acuerdo con la Reivindicación 34, en combinación con un vehículo farmacéuticamente aceptable.
- 65 36. Una composición farmacéutica que comprende:
 - a) un anticuerpo o fragmento de anticuerpo que se une específicamente a un polipéptido de ID. SEC. n° 2;

	b) un anticuerpo o fragmento de anticuerpo que se une especificamente a un polipeptido de ID. SEC. nº 4;
	c) un anticuerpo o fragmento de anticuerpo que se une específicamente a un polipéptido de ID. SEC. n° 6;
5	d) un anticuerpo o fragmento de anticuerpo que se une específicamente a un polipéptido de ID. SEC. nº 8; o
	e) un anticuerpo o fragmento de anticuerpo que se une específicamente a un polipéptido de ID. SEC. n° 10;
4.0	y un vehículo farmacéuticamente aceptable.
10	37. Una composición de acuerdo con la Reivindicación 36, en la que dicho anticuerpo o fragmento de anticuerpo es seleccionado del grupo que consiste en:
15	a) anticuerpo policional;
13	b) anticuerpo monoclonal murino;
	c) anticuerpo humanizado procedente de b); y
20	d) anticuerpo monoclonal humano.
	38. Una composición de acuerdo con las Reivindicaciones 36 y 37, en la que dicho fragmento de anticuerpo es seleccionado del grupo que consiste en F(ab'), Fab, Fv y scFv.
25	
30	
35	
40	
40	
45	
50	
30	
55	
60	
υU	NOTA INFORMATIVA: Conforme a la reserva del art. 167.2 del Convenio de Patentes Europeas (CPE) y a la
	Disposición Transitoria del RD 2424/1986, de 10 de octubre, relativo a la aplicación del
65	Convenio de Patente Europea, las patentes europeas que designen a España y solicitadas antes del 7-10-1992, no producirán ningún efecto en España en la medida en que confieran protección a productos químicos y farmacéuticos como tales.

Esta información no prejuzga que la patente esté o no incluida en la mencionada reserva.

TacI BR43X1 BR43X2 BCMA		••••••			MSGLGRSRRG GRSRRG MSGLGRSRRG
TacI BR43X1 BR43X2	GRSRVDQEER		MRSCPEEQYW	DPLL-GTCMS	CKTICNHQSQ CKTICNHQSQ
BCMA			AGQCSQNEYF		COLRCSSNTP /s
TacI BR43X1 BR43X2 BCMA	-RTCAAFCRS WS PLTCQRYCNA	LSC LSC SVTNSVKGTN	RKEQGKFYDH RKEQGKFYDH AILWTCLGLS	LL-RD-CISC LL-RD-CISC LL-RD-CISC LIISLAVFVL tición de cys-	MFLLRKISSE
TacI BR43X1 BR43X2 BCMA	CAYFCENKLR CAYFCENKLR	SPVNLPPELR SPVNLPPELR	RQRSGEVENN RQRSGEVENN	SDNSGRYQGL SDNSGRYQGL SDNSGRYQGL ILPRGLEYTV	EHRGSEASPA
TacI BR43X1 BR43X2 BCMA	LPGLKLSADQ LPGLKLSADQ	VALVYSTLGL VALVYSTLGL FPLPAMEEGA	CLCAVLCCFL CLCAVLCCFL	VAVACFLKKR VAVACFLKKR YCKSLPAALS	GDPCSCQPRS GDPCSCQPRS GDPCSCQPRS ATEIEKSISA
TacI BR43X1 BR43X2 BCMA	RPRQSPAKSS RPRQSPAKSS	QDHAMEAGSP QDHAMEAGSP	VSTSPEPVET VSTSPEPVET	CSFCFPECRA	PTQESAVTPG PTQESAVTPG PTQESAVTPG
TacI BR43X1 BR43X2 BCMA	TPDPTCAGRW TPDPTCAGRW	GCHTRTTVLQ	PCPHIPDSGL PCPHIPDSGL		GPGA GPGA



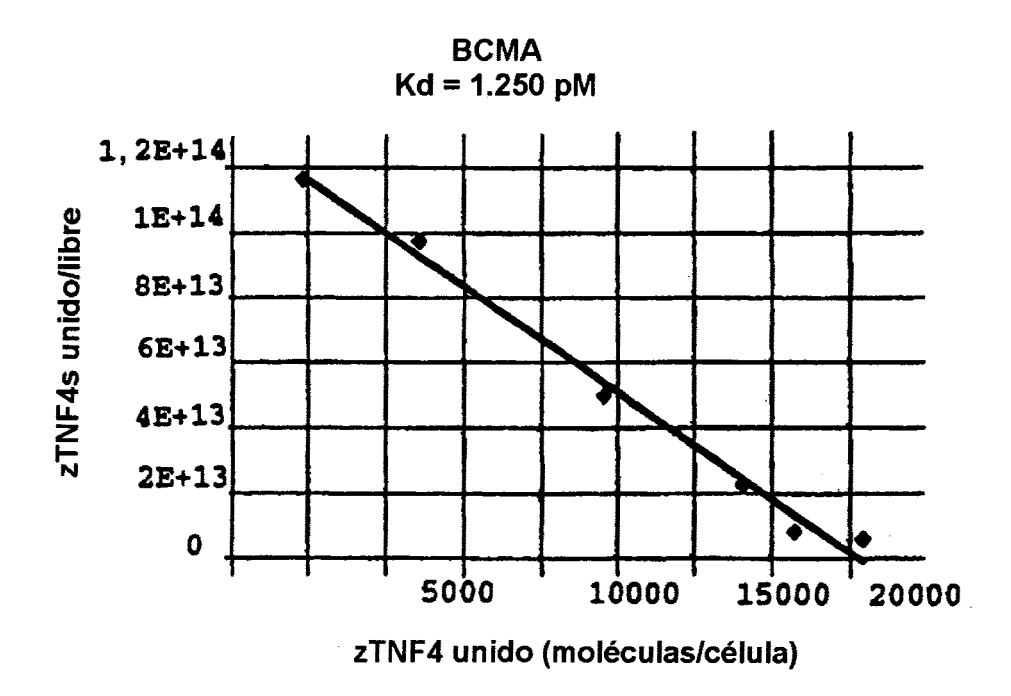


FIGURA 2

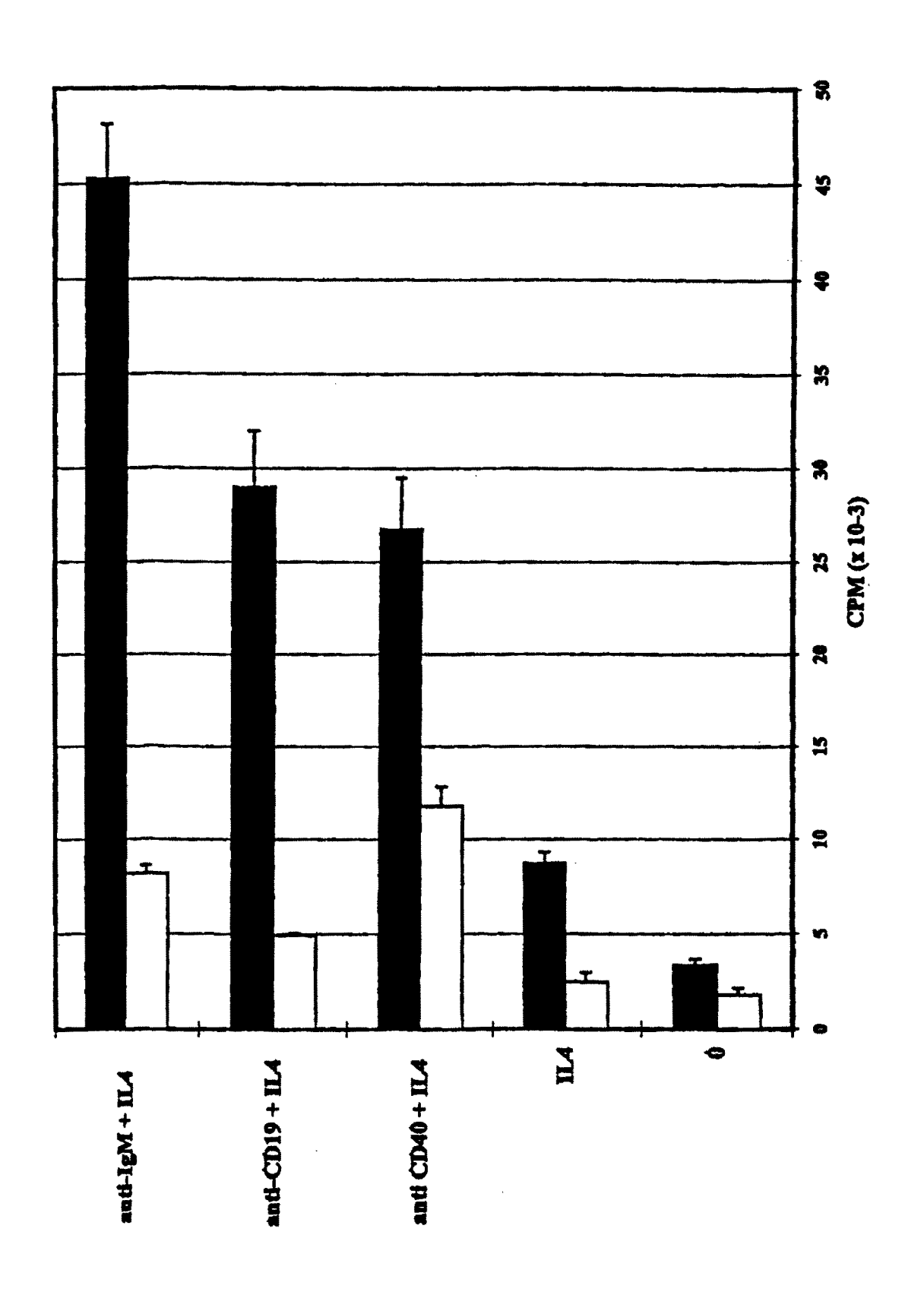


FIGURA 3A

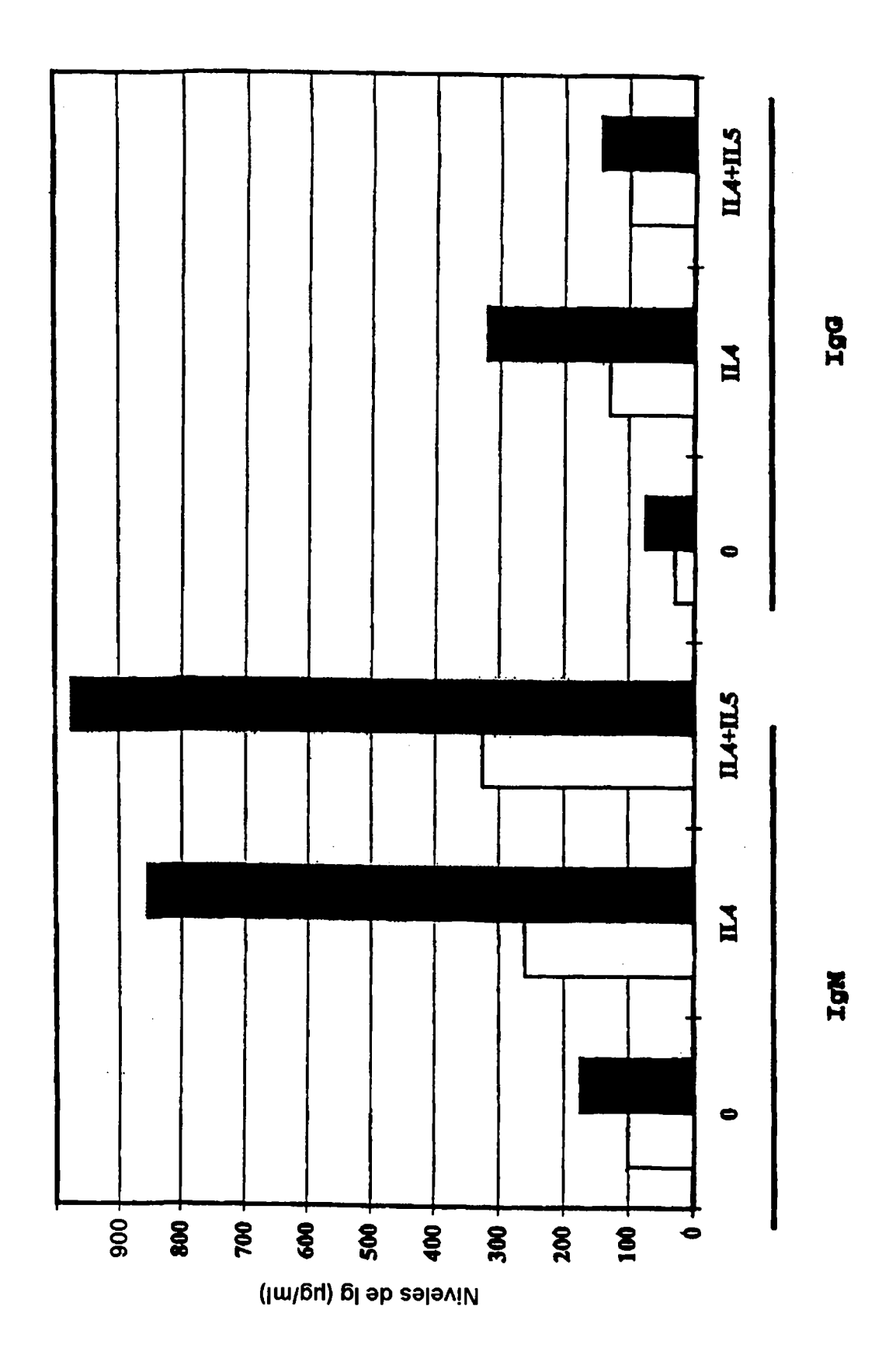


FIGURA 3B

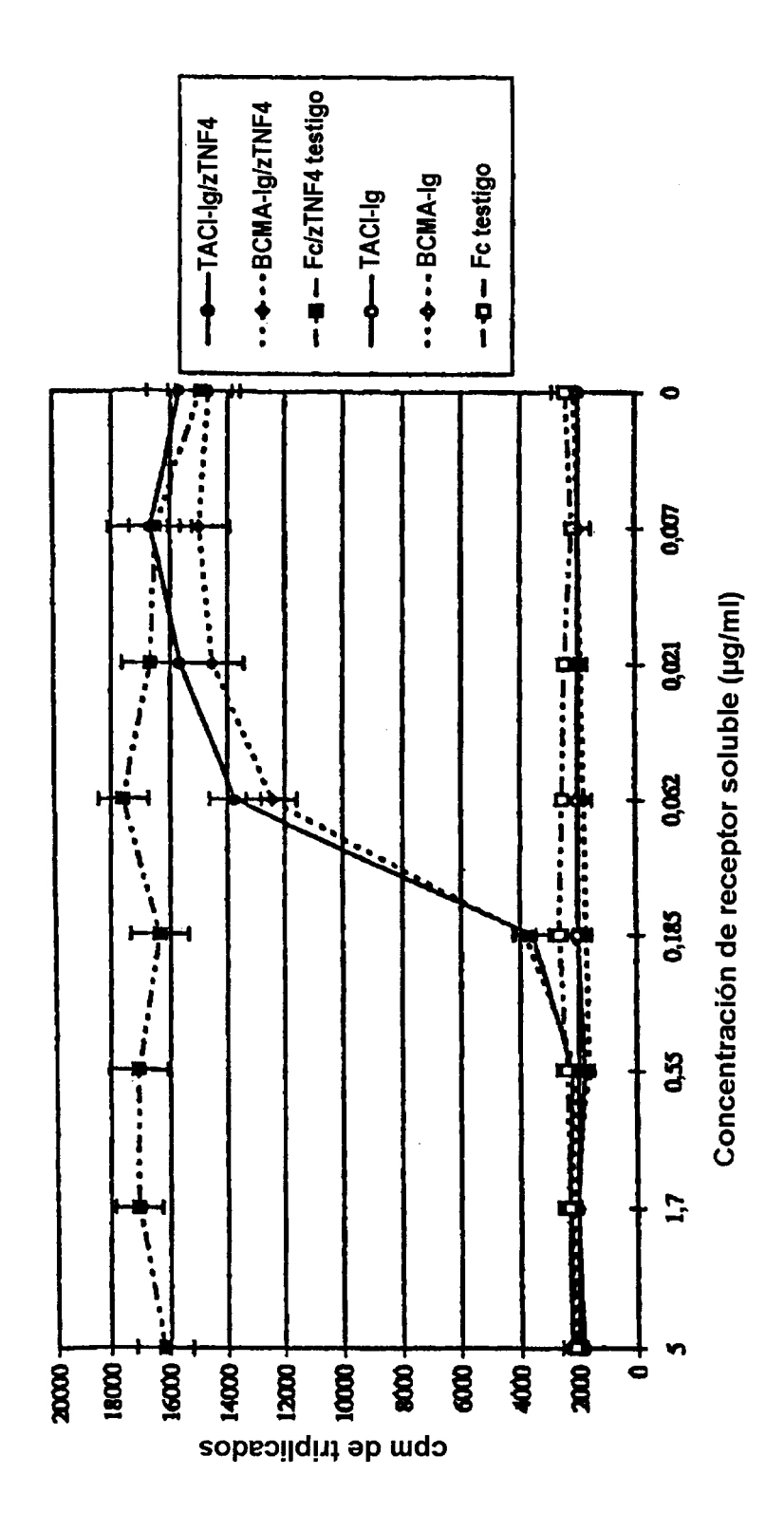


FIGURA 4

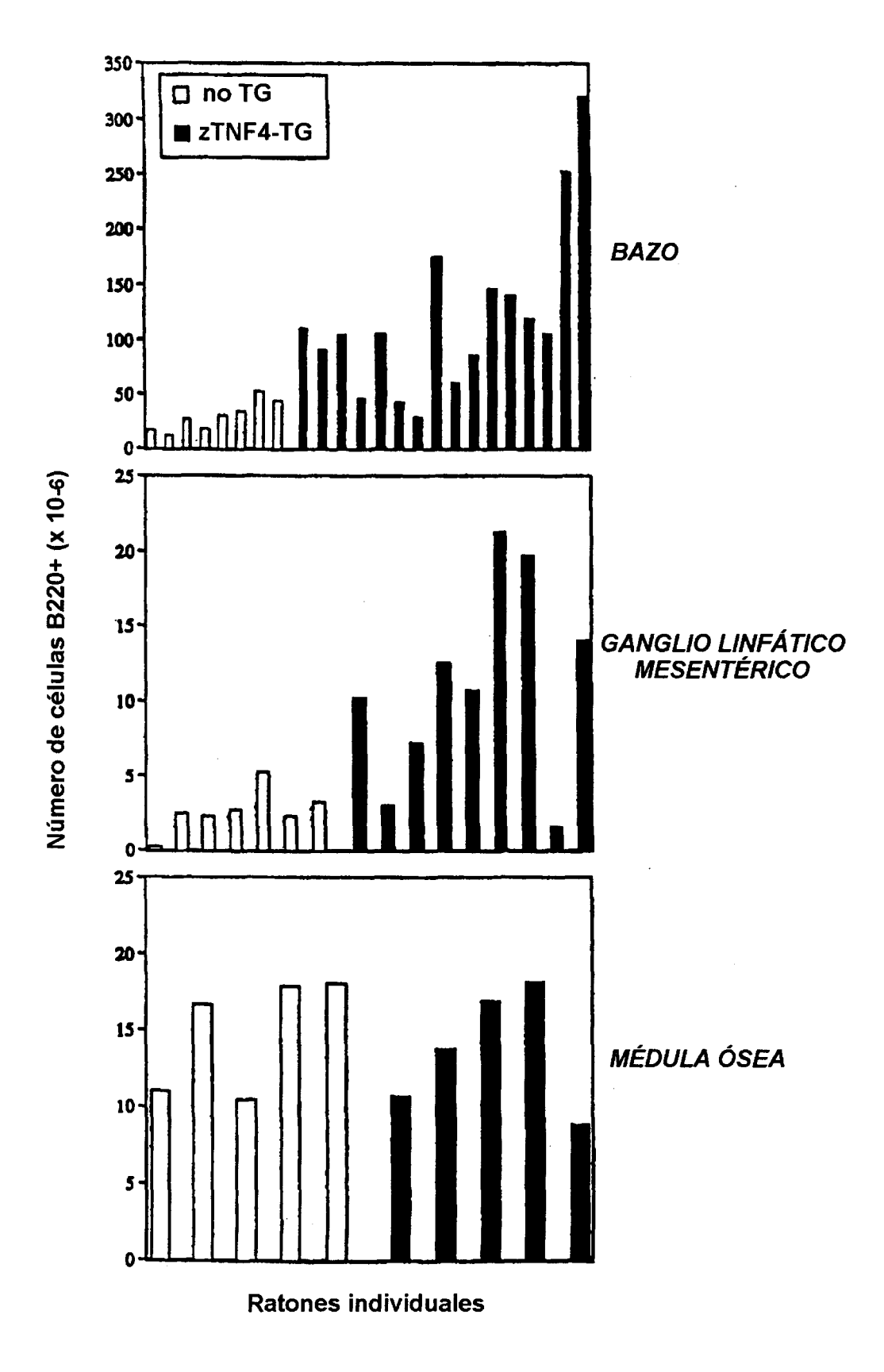


FIGURA 5A

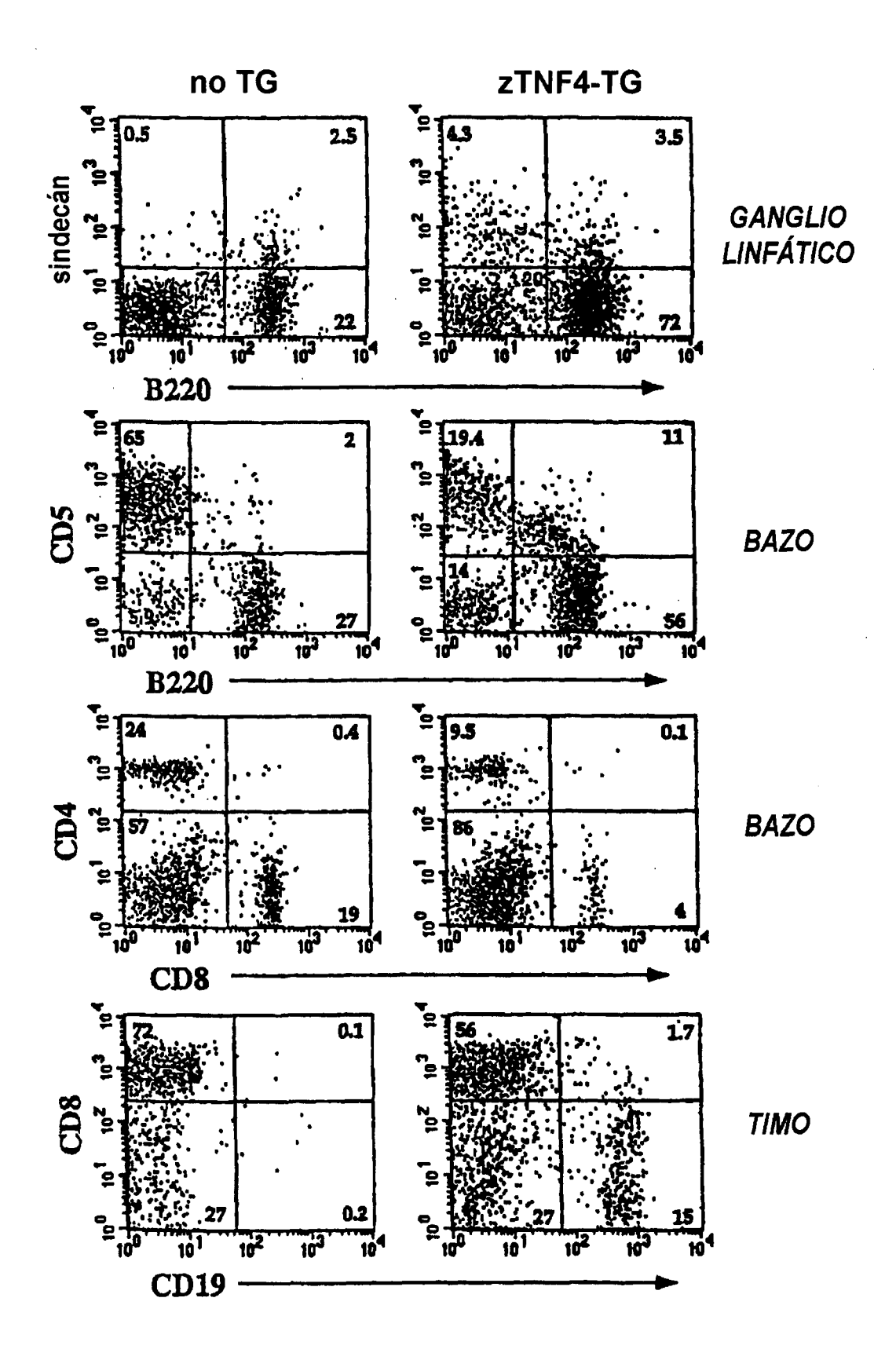


FIGURA 5B

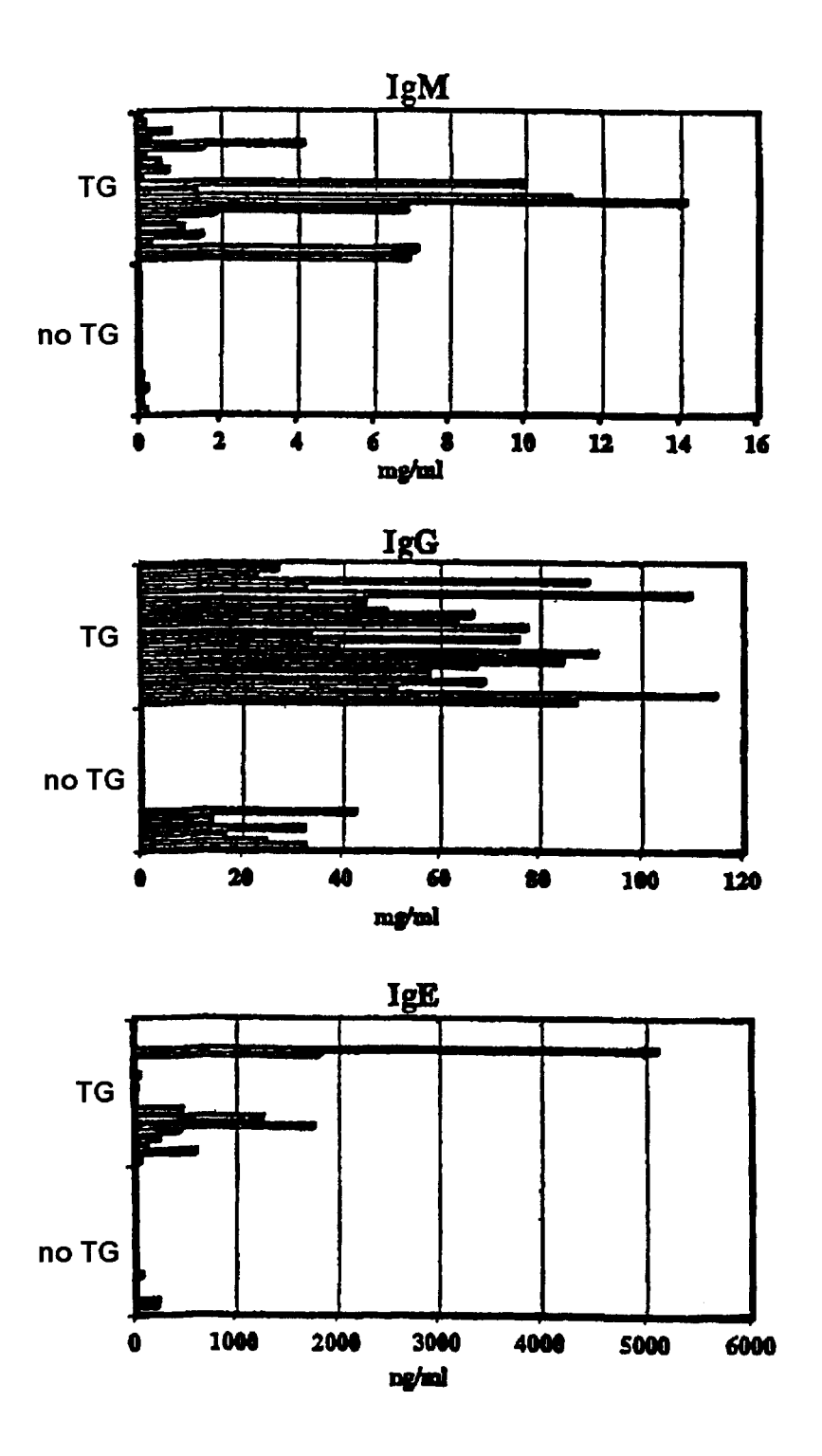


FIGURA 5C

Esplenocitos CD3+

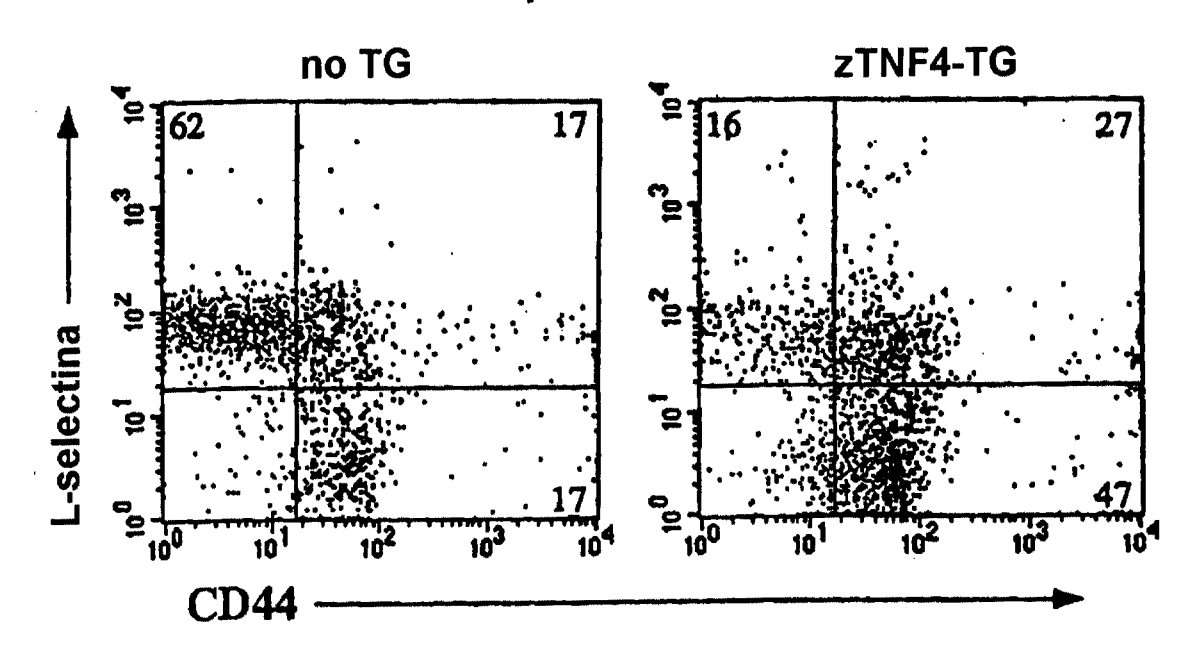


FIGURA 5E

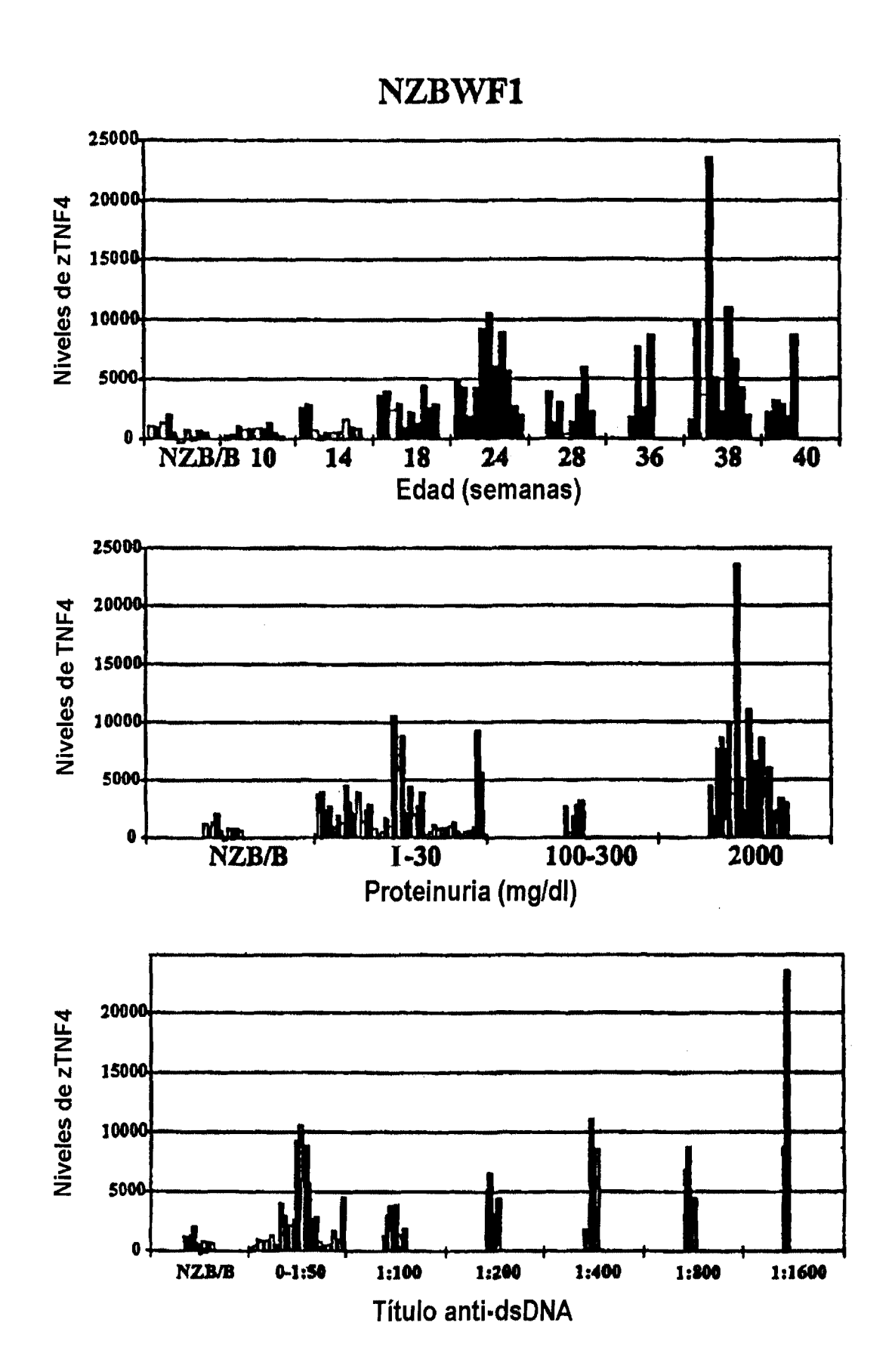
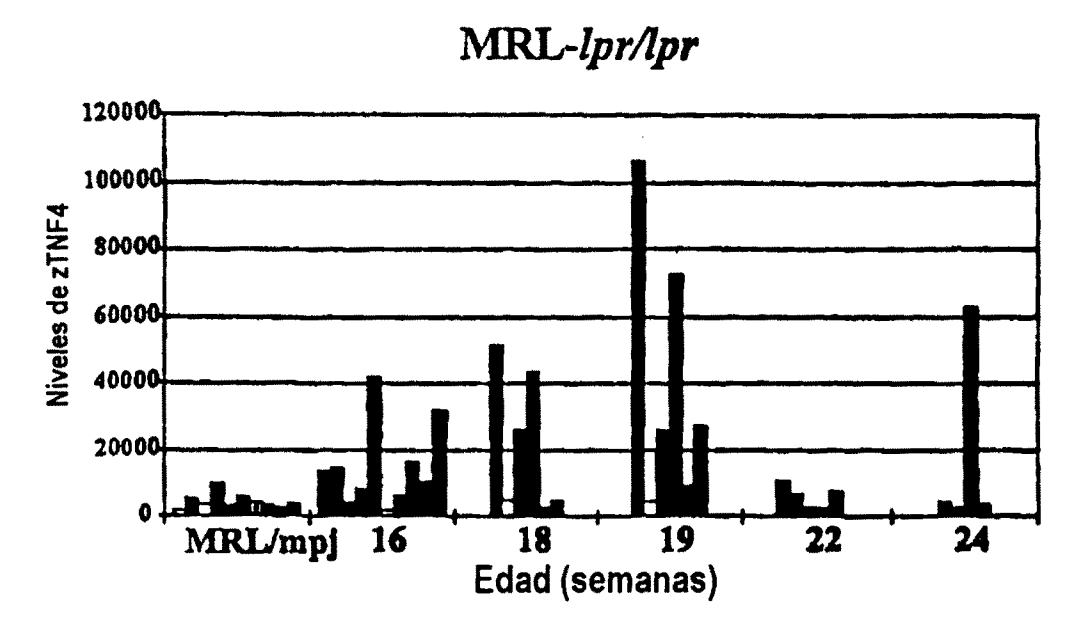
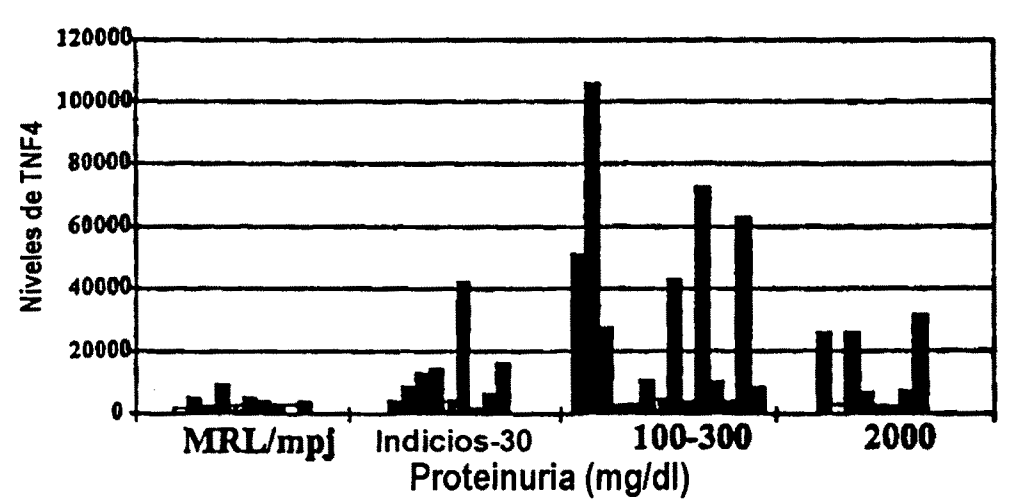


FIGURA 6A





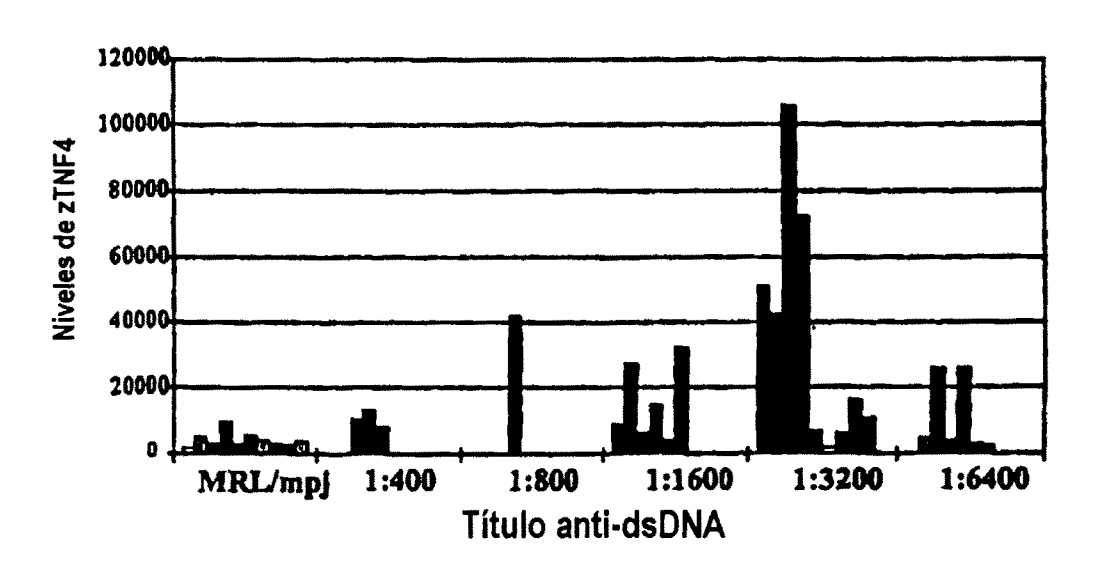


FIGURA 6B

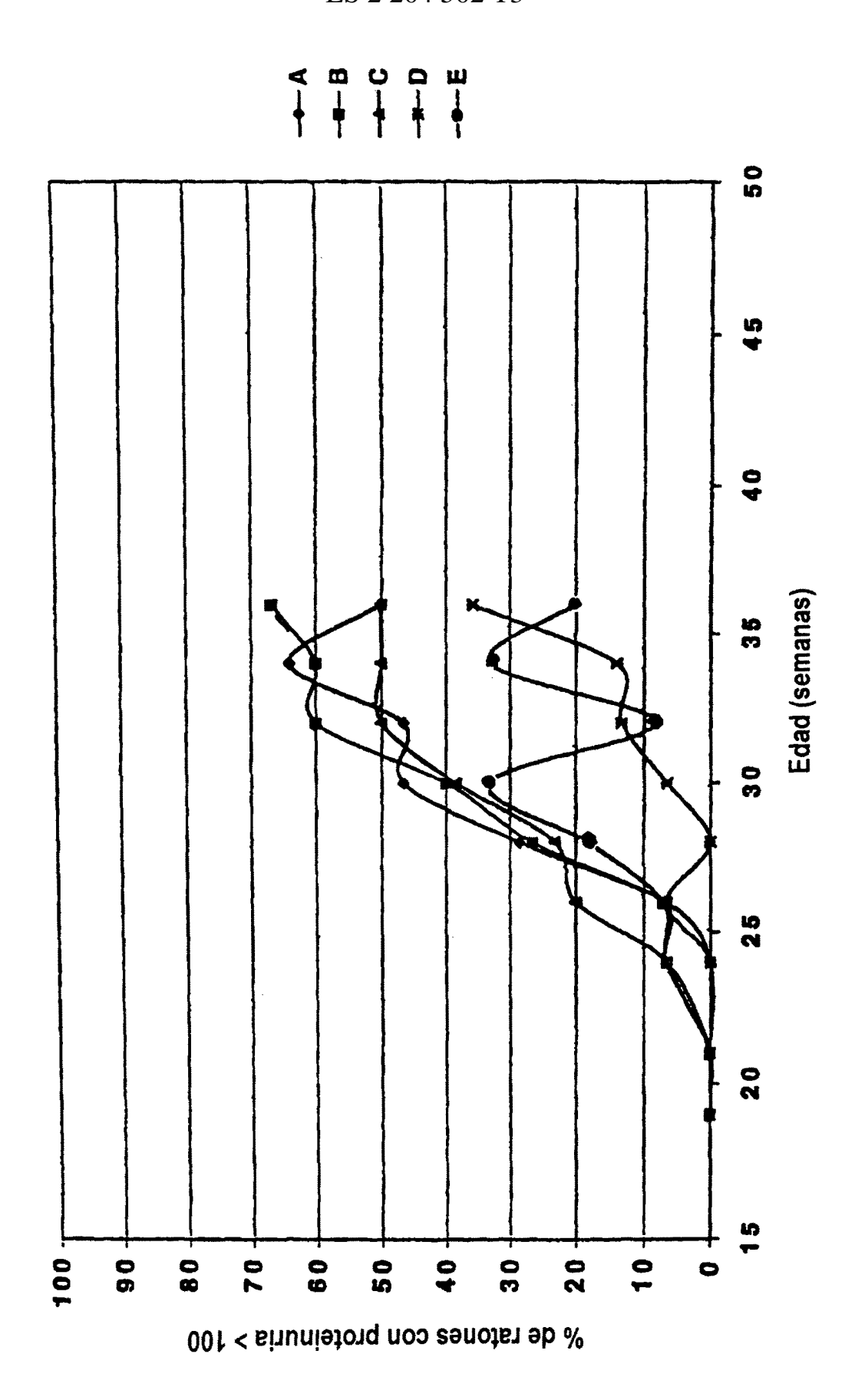


FIGURA 7

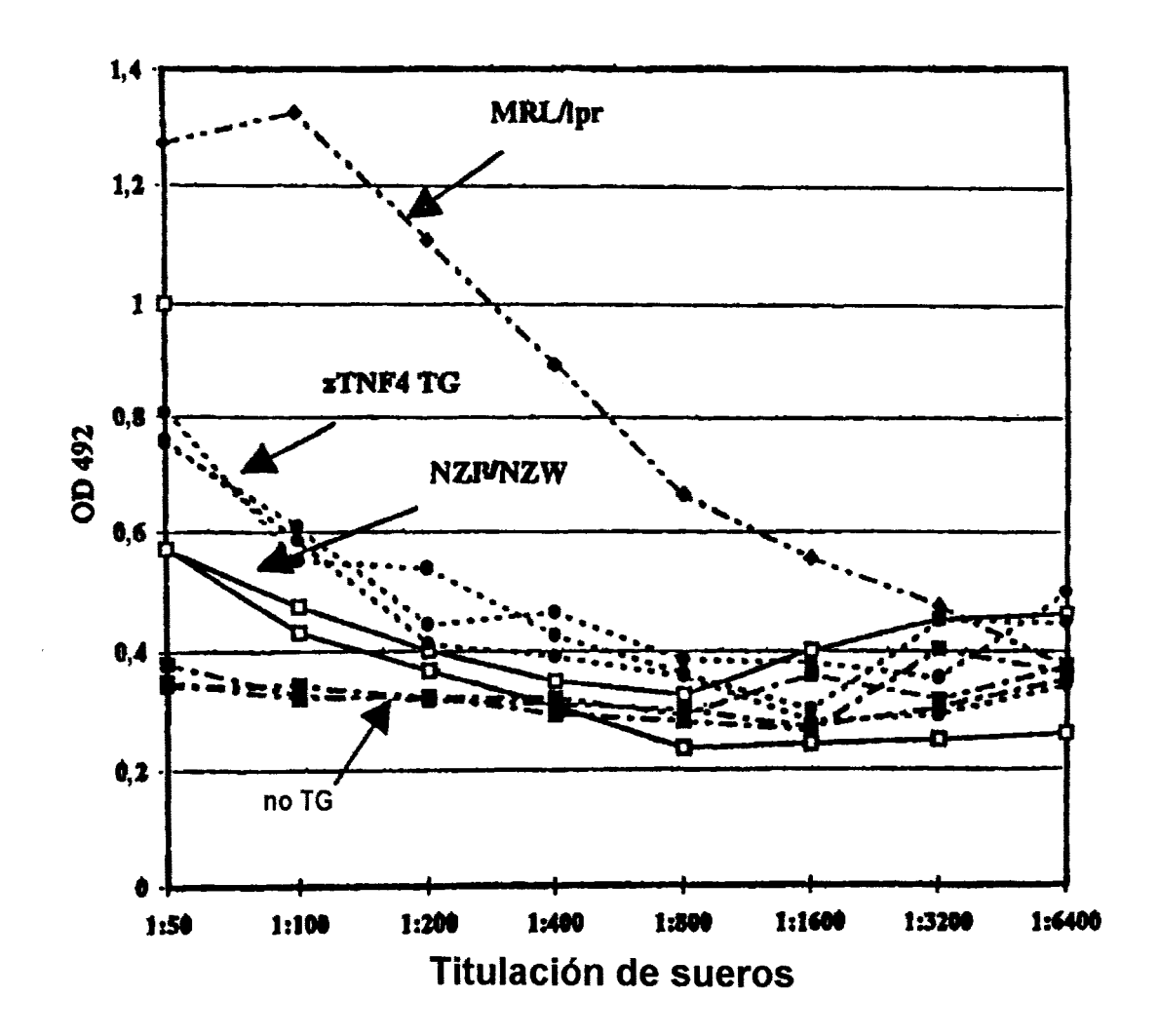


FIGURA 8

LISTA DE SECUENCIAS

	<110> ZymoGenetics, Inc. <120> RECEPTOR SOLUBLE BR43X2 Y MÉTODOS DE USO <130> 98-75 <150> 09/226.533 <151> 1.999-01-07 <160> 60 <170> FastSEQ para Windows, versión 3.0 <210> 1 <211> 1.192 <212> DNA <212> DNA <213> Homo sapiens <220> <221> CDS <222> (6)(746) <400> 1 gagta atg agt ggc ctg ggc cgg agc agg cga ggt ggc cgg agc cgt gtg Met Ser Gly Leu Gly Arg Ser Arg Arg Gly Gly Arg Ser Arg Vall 1 50 Met Ser Gly Leu Gly Arg Ser Arg Arg Gly Gly Arg Ser Arg Vall 1 10 15 gac cag gag gag cgc tgg tca ctc agc tgc cgc aag gag caa ggc aag Asp Gln Glu Arg Trp Ser Leu Ser Cys Arg Lys Glu Gln Gly Lys 20 25 30 ttc tat gac cat ctc ctg agg gac tgc atc agc tgt gcc tcc atc tgt Phe Tyr Asp His Leu Leu Arg Asp Cys Ile Ser Cys Ala Ser Ile Cys														
5	<110> ZymoGenetics, Inc.														
	<120> RECEPTOR SOLUBLE BR43X2 Y MÉTODOS DE USO														
10	<130> 98-75														
15	<160> 60														
	<170> FastSEQ para Windows, versión 3.0														
20	<211>1.192 <212> DNA <213> Homo sapiens														
25	<213> Homo sapiens														
20	<221> CDS														
30	<400> 1														
35	Met Ser Gly Leu Gly Arg Ser Arg Arg Gly Gly Arg Ser Arg Val	50													
40	Asp Gin Giu Giu Arg Trp Ser Leu Ser Cys Arg Lys Giu Gin Giy Lys	98													
45		146													
50	gga cag cac cct aag caa tgt gca tac ttc tgt gag aac aag ctc agg Gly Gln His Pro Lys Gln Cys Ala Tyr Phe Cys Glu Asn Lys Leu Arg 50 55 60	194													
55	agc cca gtg aac ctt cca cca gag ctc agg aga cag cgg agt gga gaa Ser Pro Val Asn Leu Pro Pro Glu Leu Arg Arg Gln Arg Ser Gly Glu 65 70 75	242													

60

5	gtt gaa Val Glu 80			_						_			290
10	aga ggc Arg Gly		Ser	_		-		-			_	_	338
15	gat cag Asp Gln	Val A											386
20	gtc ctc Val Leu												434
25	ggg gat Gly Asp 145	Pro C											482
30	gcc aag Ala Lys 160												530
35	aca tco Thr Ser		Val										578
40	agg gcg Arg Ala	Pro T											626
45	act tgi Thr Cys												674
50	cct tgo Pro Cys 229	s Pro H							۷a٦				722
55	gcc cag Ala Gli 240	g gag g n Glu G			taaa	atgg	999	tcag	ggag	gg a	aagg	aggag	776
60													

836

896

956

1016

1076

1136

```
qqaqaqat ggagaggagg ggagagagaa agagaggtgg ggagagggga gagagatatg
        aggagagaa gacagagaa gcagagagaga agagaaacag aggagacaga gagggagaga
        gagacagagg gagagagaga cagaggggaa gagaggcaga gagggaaaga ggcagagaag
5
        gaaaqaqqca gagaggaga gaggcagaga gggagagagg cagagagaca gagagggaga
        gagggacaga gagagataga gcaggaggtc ggggcactct gagtcccagt tcccagtgca
        gctgtaggtc gtcatcacct aaccacacgt gcaataaagt cctcgtgcct gctgctcaca
        gcccccaga gcccctcctc ctggagaata aaacctttgg cagctgccct tcctca
10
   <210> 2
   <211> 247
   <212> PRT
15
   <213> Homo sapiens
   <400> 2
        Met Ser Gly Leu Gly Arg Ser Arg Gly Gly Arg Ser Arg Val Asp
20
        Gln Glu Glu Arg Trp Ser Leu Ser Cys Arg Lys Glu Gln Gly Lys Phe
                                         25
        Tyr Asp His Leu Leu Arg Asp Cys Ile Ser Cys Ala Ser Ile Cys Gly
25
        Gln His Pro Lys Gln Cys Ala Tyr Phe Cys Glu Asn Lys Leu Arg Ser
                                 55
30
        Pro Val Asn Leu Pro Pro Glu Leu Arg Arg Gln Arg Ser Gly Glu Val
                                                                      80
        Glu Asn Asn Ser Asp Asn Ser Gly Arg Tyr Gln Gly Leu Glu His Arg
35
        Gly Ser Glu Ala Ser Pro Ala Leu Pro Gly Leu Lys Leu Ser Ala Asp
                    100
        Gln Val Ala Leu Val Tyr Ser Thr Leu Gly Leu Cys Leu Cys Ala Val
                                    120
40
        Leu Cys Cys Phe Leu Val Ala Val Ala Cys Phe Leu Lys Lys Arg Gly
                                135
        Asp Pro Cys Ser Cys Gln Pro Arg Ser Arg Pro Arg Gln Ser Pro Ala
45
        145
                            150
                                                 155
                                                                      160
        Lys Ser Ser Gln Asp His Ala Met Glu Ala Gly Ser Pro Val Ser Thr
                                             170
        Ser Pro Glu Pro Val Glu Thr Cys Ser Phe Cys Phe Pro Glu Cys Arg
50
                                         185
        Ala Pro Thr Gln Glu Ser Ala Val Thr Pro Gly Thr Pro Asp Pro Thr
                195
                                    200
                                                         205
        Cys Ala Gly Arg Trp Gly Cys His Thr Arg Thr Thr Val Leu Gln Pro
55
                                215
                                                     220
        Cys Pro His Ile Pro Asp Ser Gly Leu Gly Ile Val Cys Val Pro Ala
                                                 235
                                                                      240
60
        Gin Glu Gly Gly Pro Gly Ala
                            245
   <210> 3
   <211> 360
   <212> DNA
   <213> Homo sapiens
```

	<220>																
	<221>	CDS															
	<222>	(1)	(360)														
5	<400>	. 3															
10		_	_			_			_		-			cgt Arg	_		48
15		_	-					-	-	-	_	-		99C G1y 30	-		96
20			•			-	 -	_		_	•	-		atc Ile	-		144
25		_					-			_			-	ctc Leu			192
30										-	_	-		gga Gly			240
35		•					_						_	gag Glu			288
40														agt Ser 110		gat Asp	336
45				gcc Ala 115	Leu												360
50	<210><211><211><212>	120															
55	<213> <400>	Hom	o sap	iens													
60																	

	Me 1		Ser	Gly	Leu	Gly 5	Arg	Ser	Arg	Arg	Gly 10	Gly	Arg	Ser	Arg	Va7 15	Asp	
5	G1	n	Glu	Glu	Arg 20	Trp	Ser	Leu	Ser	Cys 25	Arg	Lys	Glu	Gln	Gly 30	Lys	Phe	
	Ту	r	Asp	His 35	Leu	Leu	Arg	Asp	Cys 40	Ile	Ser	Cys	δſΑ	Ser 45	Ile	Cys	Gly	
10	Gì	n	His 50		Lys	Gln	Cys	A1a 55		Phe	Cys	Glu	Asn 60		Leu	Arg	Ser	
	Pr 65			Asn	Leu	Pro	Pro 70	••	Leu	Arg	Arg	G]n 75	Arg	Ser	Gly	Glu	Va1 80	
15			Asn	Asn	Ser	Asp 85		Ser	Gly	Arg	Tyr 90		Gly	Leu	Glu	His 95		
	G	y	Ser	Glu	Ala 100		Pro	Ala	Leu			Leu	Lys	Leu			Asp	
20	G	ln	Val	Ala 115		Val	Tyr	Ser	Thr 120	105					110			
25	<210> 5 <211> 1 <212> D <213> H	.37 N	A	piens														
30	<220> <221> C <222> (2)			5)														
35	<400> 5																	
	aç]Cā	atcc	tga g									agg d Arg A					49
40						1				5					10			
45													ggc Gly					97
50				Met									tgg Trp 40					145
55																		

5	ggt Gly 45	acc Thr	tgc Cys	atg Met	tcc Ser	tgc Cys 50	aaa Lys	acc Thr	att	tgc Cys	aac Asn 55	cat His	cag Gln	agc Ser	cag Gln	cgc Arg 60	193
10	acc Thr	tgt Cys	gca Ala	326 9CC	ttc Phe 65	tgc Cys	agg Arg	tca Ser	ctc Leu	agc Ser 70	tgc Cys	cgc Arg	aag Lys	gag Glu	caa Gln 75	ggc Gly	241
15	aag Lys	ttc Phe	tat Tyr	gac Asp 80	cat His	ctc Leu	ctg Leu	agg Arg	gac Asp 85	tgc Cys	atc Ile	agc Ser	tgt Cys	gcc Ala 90	tcc Ser	atc Ile	289
20	tgt Cys	gga Gly	cag Gln 95	cac His	cct Pro	aag Lys	caa Gln	tgt Cys 100	gca Ala	tac Tyr	ttc Phe	tgt Cys	gag Glu 105	aac Asn	aag Lys	ctc Leu	337
25	agg Arg	agc Ser 110	cca Pro	gtg Val	aac Asn	ctt Leu	cca Pro 115	cca Pro	gag Glu	ctc Leu	agg Arg	aga Arg 120	cag Gìn	cgg Arg	agt Ser	gga Gly	385
30	gaa G1u 125	Val	gaa G1u	aac Asn	aat Asn	tca Ser 130	gac Asp	aac Asn	tcg Ser	gga Gly	agg Arg 135	tac Tyr	caa G1n	gga Gly	ttg Leu	gag Glu 140	433
35	cac His	aga Arg	ggc Gly	tca Ser	gaa Glu 145	gca Ala	agt Ser	cca Pro	gct Ala	ctc Leu 150	ccg Pro	999 Gly	ctg Leu	aag Lys	ctg Leu 155	agt Ser	481
40	gca Ala	gat Asp	cag G1n	gtg Val 160	gcc Ala	ctg Leu	gtc Val	tac Tyr	agc Ser 165	acg Thr	ctg Leu	999 Gly	ctc Leu	tgc Cys 170	ctg Leu	tgt Cys	529
45	gcc	gtc Val	ctc Leu 175	tgc Cys	tgc Cys	ttc Phe	ctg Leu	gtg Val 180	gcg Ala	gtg Val	9CC Ala	tgc Cys	ttc Phe 185	ctc Leu	aag Lys	aag Lys	577
50	agg Arg	999 Gly 190	gat Asp	ccc Pro	tgc Cys	tcc Ser	tgc Cys 195	cag G1n	ccc Pro	cgc Arg	tca Ser	agg Arg 200	ccc Pro	cgt Arg	caa G1n	agt Ser	625
55	ccg Pro 205	Ala	aag Lys	tct Ser	tcc Ser	cag Gln 210	gat Asp	cac His	gcg Ala	atg Met	gaa Glu 215	gcc Ala	99c Gly	agc Ser	cct Pro	gtg Val 220	673
60																	

5	agc aca tcc ccc gag cca gtg gag acc tgc agc ttc tgc ttc cct gag Ser Thr Ser Pro Glu Pro Val Glu Thr Cys Ser Phe Cys Phe Pro Glu 225 230 235	721
10	tgc agg gcg ccc acg cag gag agc gca gtc acg cct ggg acc ccc gac Cys Arg Ala Pro Thr Gln Glu Ser Ala Val Thr Pro Gly Thr Pro Asp 240 245 250	769
15	ccc act tgt gct gga agg tgg ggg tgc cac acc agg acc aca gtc ctg Pro Thr Cys Ala Gly Arg Trp Gly Cys His Thr Arg Thr Thr Val Leu 255 260 265	817
20	cag cct tgc cca cac atc cca gac agt ggc ctt ggc att gtg tgt gtg Gln Pro Cys Pro His Ile Pro Asp Ser Gly Leu Gly Ile Val Cys Val 270 275 280	865
25	cct gcc cag gag ggc gcc ggt gca taa atgggggtca gggagggaaa Pro Ala Glm Glu Gly Gly Pro Gly Ala * 285 290	915
30	ggaggaggga gagagatgga gaggagggga gagagaaaga gaggtgggga gaggggagag agatatgagg agagagagac agaggaggca gaaagggaga gaaacagagg agacagagag ggagagagag acagagggag agagagacag aggggaagag aggcagagag gcagagaggg agagaaggaa agagacaggc agagaaggag agaggcagag agggagagag gcagagaggg	975 1035 1095 1155
35	agagaggcag agagacagag agggagagag ggacagagag agatagagca ggaggtcggg gcactctgag tcccagttcc cagtgcagct gtaggtcgtc atcacctaac cacacgtgca ataaagtcct cgtgcctgct gctcacagcc cccgagagcc cctcctcctg gagaataaaa cctttggcag ctgcccttcc tcaaaaaaaa aaaaaaaaa aa	1215 1275 1335 1377
40	<210> 6 <211> 293 <212> PRT <213> Homo sapiens	
45	<400> 6	
50	Met Ser Gly Leu Gly Arg Ser Arg Arg Gly Gly Arg Ser Arg Val Asp 1 5 10 15	
50	Gln Glu Glu Arg Phe Pro Gln Gly Leu Trp Thr Gly Val Ala Met Arg 20 25 30	
55	Ser Cys Pro Glu Glu Gln Tyr Trp Asp Pro Leu Leu Gly Thr Cys Met 35 40 45	
	Ser Cys Lys Thr Ile Cys Asn His Gln Ser Gln Arg Thr Cys Ala Ala 50 55 60	
60	Phe Cys Arg Ser Leu Ser Cys Arg Lys Glu Gln Gly Lys Phe Tyr Asp 65 70 75 80	

	His	Leu	Leu	Arg	Asp 85	Cys	He	Ser	Cys	A1a 90	Ser	He	Cys	Gly	G1n 95	His	
5	Pro	Lys	Gln	Cys 100	Ala	Tyr	Phe	Cys	Glu 105	Asn	Lys	Leu	Arg	Ser 110		Val	
	Asn	Leu	Pro 115	Pro	Glu	Leu	Arg	Arg 120		Arg	Ser	Gly	Glu 125		Glu	Asn	
10	Asn	Ser 130	Asp	Asn	Ser	Gly	Arg 135	Tyr	Gln	Gly	Leu	G1u 140		Arg	Gly	Ser	
	G1u 145	Ala	Ser	Pro	Ala	Leu 150	Pro	Gly	Leu	Lys	Leu 155	Ser	Ala	Asp	Gln	Val 160	
15	Ala	Leu	Val	Tyr	Ser 165	Thr	Leu	Gly	Leu	Cys 170	Leu	Cys	Ala	Val	Leu 175	Cys	
	Cys	Phe	Leu	Va1 180	Ala	Val	Ala	Cys	Phe 185	Leu	Lys	Lys	Arg	Gly 190	Asp	Pro	
20			Cys 195					200					205		-		
25		210					215					220					
23	225		Val			230					235					240	
30			Glu		245					250					255		
			Trp	260					265					270			
35			275			uly	Leu	280	116	ısv	Cys	Va I	285	Ala	Gin	Glu	
	-	290	Pro	uly	MIG												
40	<210> 7 <211> 995 <212> DNA <213> Hom		ens														
45	<220> <221> CDS <222> (219))(77	3)														
50	<400> 7																
55	acac agct	agac gctc	aa ct ag cc tt gc ct gt	cccg tgca	taag tttg	aac	ccac; tgga	gaa (att (gcag cttg	gcga taga	ag t ga t atg	tcat atta ttg	tgtt cttg cag	t co atg	aaca ttcc gct	ttct	60 120 180 236
60											1				5		

5	cag G1n													gct Ala 20			284
10														aca Thr			332
15	_		-		-	_	_				-			acg Thr			380
20					-	_		_	•					ttg Leu	_	_	428
25														cca Pro			476
30					Asn									gct Ala 100			524
35				Lys										ccg Pro			572
40			Tyr					Cys					Cys	atc Ile			620
45		Pro					Asp					Leu		gct Ala			668
50						Leu					Thr			tat Tyr		Lys	716
55					ı Ala					Glu				tca Ser 180	He	tct Ser	764
60																	

		agg Arg	taa *	tta	acca	attt	cgad	ctcga	agc a	agtgo	cact	tt ta	aaaa	tctt	;		813
5																	
10	aca	gctt	ttt	gtc	ctct	aac '	tgtg	gaaa	ct c	ttta	tgtt	a gaf	tata	tttc	tcta	gccgat ggttac tttcct	873 933 993 995
15	<210> 8 <211> 18 ⁴ <212> PR <213> Ho	T	piens														
20	<400> 8																
20	Met 1	Leu	Gln	Met	Ala 5	Gly	Gln	Cys	Ser	Gln 10	Asn	Glu	Tyr	Phe	Asp 15	Ser	
25	Leu	Leu	His	A1a 20	Cys	Пe	Pro	Cys	G1n 25		Arg	Cys	Ser	Ser 30		Thr	
	Pro	Pro	Leu 35		Cys	Gln	Arg	Tyr 40		Asn	Ala	Ser	Va1 45		Asn	Ser	
30	Val	Lys 50	Gly	Thr	Asn	Ala	11e 55	Leu	Trp	Thr	Cys	Leu 60		Leu	Ser	Leu	
	I1e 65		Ser	Leu	Ala	Va1 70		Val	Leu	Met	Phe 75		Leu	Arg	Lys	Ile 80	
35		Ser	Glu	Pro	Leu 85		Asp	Glu	Phe	Lys 90		Thr	Gly	Ser	G1 <i>y</i> 95		
	Leu	Gly	Met	Ala 100		Ile	Asp	Leu	G1u 105		Ser	Arg	Thr	Gly 110		Glu	
40	Ile	He	Leu 115		Arg	Gly	Leu	Glu 120		Thr	Val	Glu	Glu 125		Thr	Cys	
	Glu	Asp 130	Cys	Ile	Lys	Ser	Lys 135		Lys	Val	Asp	Ser 140		His	Cys	Phe	
45	Pro 145	Leu	Pro	6 FA	Met	G1u 150		Gly	Ala	Thr	I le 155		۷al	Thr	Thr	Lys 160	
			Asp	Tyr	Cys 165		Ser	Leu	Pro	Ala 170		Leu	Ser	Ala	Thr 175		
50	Ile	Glu	Lys	Ser 180		Ser	Ala	Arg		1/0					1/3		
55	<210> 9 <211> 243 <212> PR <213> Ho	T	piens														
60	<400> 9		-														

```
Gly Arg Ser Arg Arg Gly Gly Arg Ser Arg Val Asp Gln Glu Glu Arg
                                                 10
        Phe Pro Gin Gly Leu Trp Thr Gly Val Ala Met Arg Ser Cys Pro Glu
5
        Glu Gln Tyr Trp Asp Pro Leu Leu Gly Thr Cys Met Ser Cys Lys Thr
         Ile Cys Asn His Gln Ser Gln Arg Thr Cys Ala Ala Phe Cys Arg Ser
10
         Leu Ser Cys Arg Lys Glu Gln Gly Lys Phe Tyr Asp His Leu Leu Arg
                                                     75
         Asp Cys Ile Ser Cys Ala Ser Ile Cys Gly Gln His Pro Lys Gln Cys
15
         Ala Tyr Phe Cys Glu Asn Lys Leu Arg Ser Pro Val Asn Leu Pro Pro
20
         Glu Leu Arg Arg Gln Arg Ser Gly Glu Val Glu Asn Asn Ser Asp Asn
         Ser Gly Arg Tyr Gln Gly Leu Glu His Arg Gly Ser Glu Ala Ser Pro
                                                         140
25
         Ala Leu Pro Gly Leu Lys Leu Ser Ala Asp Gln Val Ala Leu Val Tyr
         145
                               150
                                                     155
                                                                            160
         Ser Thr Leu Gly Leu Cys Leu Cys Ala Val Leu Cys Cys Phe Leu Val
                                                170
30
         Ala Val Ala Cys Phe Leu Lys Lys Arg Gly Asp Pro Cys Ser Cys Gln
                                            185
         Pro Arg Ser Arg Pro Arg Gln Ser Pro Ala Lys Ser Ser Gln Asp His
35
         Ala Met Glu Ala Gly Ser Pro Val Ser Thr Ser Pro Glu Pro Val Glu
                                   215
                                                         220
         Thr Cys Ser Phe Cys Phe Pro Glu Cys Arg Ala Pro Thr Gln Glu Ser
40
         225
                               230
                                                     235
                                                                            240
         Ala Val Thr Pro Gly
                           245
   <210> 10
45
    <211>40
    <212> PRT
    <213> Secuencia artificial
50
    <223> Motivo que describe el dominio de seudorrepeticiones ricas en cisteína
   <221> VARIANTE
    <222> (1)...(2)
    <223> Cada Xaa es independientemente cualquier resto de aminoácido salvo cisteína, o está ausente.
   <221> VARIANTE
60
    <222> (4)...(4)
    <223> Xaa es cualquier resto de aminoácido salvo cisteína.
   <221> VARIANTE
    <222> (5)...(5)
    <223> Xaa es glutamina, ácido glutámico o lisina.
```

```
<221> VARIANTE
    <222> (6)...(6)
    <223> Xaa es glutamina, ácido glutámico, lisina, asparagina, arginina, ácido aspártico, histidina o serina.
    <221> VARIANTE
    <222> (7)...(7)
    <223> Xaa es glutamina o ácido glutámico.
    <221> VARIANTE
    <222> (8)...(9)
    <223> Cada Xaa es independientemente cualquier resto de aminoácido salvo cisteína, o está ausente.
15
    <221> VARIANTE
    <222> (10)...(11)
    <223> Xaa es tirosina, fenilalanina o triptófano.
20
    <221> VARIANTE
    <222> (13)...(13)
    <223> Xaa es cualquier resto de aminoácido salvo cisteína.
25
    <221> VARIANTE
    <222> (16)...(17)
    <223> Cada Xaa es independientemente cualquier resto de aminoácido salvo cisteína.
30
    <221> VARIANTE
    <222> (19)...(19)
    <223> Xaa es isoleucina, metionina, leucina o valina.
35
    <221> VARIANTE
    <222> (20)...(20)
    <223> Xaa es cualquier resto de aminoácido salvo cisteína.
    <221> VARIANTE
    <222> (22)...(24)
    <223> Cada Xaa es independientemente cualquier resto de aminoácido salvo cisteína.
45
    <221> VARIANTE
    <222> (26)...(31)
    <223> Cada Xaa es independientemente cualquier resto de aminoácido salvo cisteína.
50
    <221> VARIANTE
    <222> (32)...(33)
    <223> Cada Xaa es independientemente cualquier resto de aminoácido salvo cisteína, o está ausente.
    <221> VARIANTE
    <222> (35)...(36)
    <223> Cada Xaa es independientemente cualquier resto de aminoácido salvo cisteína.
    <221> VARIANTE
    <222> (37)...(37)
    <223> Xaa es tirosina o fenilalanina.
65
```

```
<221> VARIANTE
    <222> (39)...(40)
    <223> Cada Xaa es independientemente cualquier resto de aminoácido salvo cisteína, o está ausente.
    <400> 10
         Xaa Xaa Cys Xaa Xaa Xaa Xaa Xaa Xaa Xaa Asp Xaa Leu Leu Xaa
10
          Xaa Cys Xaa Xaa Cys Xaa Xaa Xaa Cys Xaa Xaa Xaa Xaa Xaa Xaa Xaa
                                              25
                                                                      30
          Xaa Cys Xaa Xaa Xaa Cys Xaa Xaa
15
    <210> 11
    <211> 360
    <212> DNA
20
    <213> Secuencia artificial
    <223> Secuencia oligonucleotídica degenerada que codifica el polipéptido de ID. SEC. nº 4.
25
    <221> Variación
    <222> (1)...(360)
    <223> Cada N es independientemente A, T, G o C.
30
    <400> 11
         atgwsnggny tnggnmgnws nmgnmgnggn ggnmgnwsnm gngtngayca rgargarmgn
                                                                                            60
         tggwsnytnw sntgymgnaa rgarcarggn aarttytayg aycayytnyt nmgngaytgy
                                                                                          120
35
         athwsntgyg cnwsnathtg yggncarcay ccnaarcart gygcntaytt ytgygaraay
                                                                                          180
         aarytnmgnw snccngtnaa yytnccnccn garytnmgnm gncarmgnws nggngargtn
                                                                                          240
         garaayaayw sngayaayws nggnmgntay carggnytng arcaymgngg nwsngargcn
                                                                                          300
         wsneengeny theenggnyt naarythwsn gengayearg theonythet ntaywsnaen
40
                                                                                          360
    <210> 12
    <211> 741
   <212> DNA
    <213> Secuencia artificial
    <220>
   <223> Secuencia oligonucleotídica degenerada que codifica un polipéptido de ID. SEC. nº 2.
    <221> Variación
    <222> (1)...(741)
   <223> Cada N es independientemente A, T, G o C.
    <400>12
60
```

```
atgwsnggny tnggnmgnws nmgnmgnggn ggnmgnwsnm gngtngayca rqarqarmon
                                                                                     60
        tggwsnytnw sntgymgnaa rgarcarggn aarttytayg aycayytnyt nmgngaytgy
                                                                                    120
        athwsntgyg cnwsnathtg yggncarcay ccnaarcart gygcntaytt ytgygaraay
                                                                                    180
5
        aarytnmgnw snccngtnaa yytnocnocn garytnmgnm gncarmgnws nggngargtn
                                                                                    240
        garaayaayw sngayaayws nggnmgntay carggnytng arcaymgngg nwsngargcn
                                                                                    300
        wsnccngcny tnccnggnyt naarytnwsn gengayearg tngcnytngt ntaywsnach
                                                                                    360
        ytnggnytnt gyytntgygc ngtnytntgy tgyttyytng tngcngtngc ntgyttyytn
                                                                                    420
10
        aaraarmgng gngayccntg ywsntgycar ccnmgnwsnm gnccnmgnca rwsnecngcn
                                                                                    480
        aarwsnwsnc argaycaygc natggargen ggnwsneeng tnwsnacnws neengareen
                                                                                    540
        gingarachi gywsnitytg yttycchgar tgymgngchc chachcarga rwsngchgin
                                                                                    600
        acncenggna encengayee nacntgygen ggnmgntggg gntgyeayae nmgnaenaen
15
                                                                                    660
        gtnytncarc cntgyccnca yathccngay wsnggnytng gnathgtntg ygtnccngcn
                                                                                    720
        cargarggng gnccnggngc n
                                                                                    741
  <210> 13
   <211>8
   <212> PRT
   <213> Secuencia artificial
25
   <220>
   <223> Etiqueta FLAG.
   <400> 13
30
   Asp Tyr Lys Asp Asp Asp Lys
   <210> 14
   <211>7
   <212> PRT
   <213> Secuencia artificial
   <220>
   <223> Etiqueta Glu-Glu.
   <400> 14
   Glu Glu Tyr Met Pro Met Glu
   <210> 15
   <211> 24
   <212> DNA
   <213> Secuencia artificial
   <220>
   <223> Oligonucleótido ZC19980.
   <400> 15
60
          cgaagagcag tactgggatc ctct
                                                                                           24
   <210> 16
  <211> 23
   <212> DNA
   <213> Secuencia artificial
```

	<220> <223>		onucle	eótido	ZC19	9981.													
5	<400>	_																	
		gcca	aaggco	ca ctg	tctggg	ga tgt													23
10	<210><211><211><212><213>	> 1.149 > DNA	L	ens															
15	<220><221><222>	> > CDS	-																
20	<400>	> 17																	
25		gccc	tgcc gtgg	at gtc	gtag actt	tgca attc	cg c	agga aggc	catc ccca	a cc	aaac ttca	acag aagt	ataa tcaa	acago agtao	gaa a	atga atat	agccaa tccatt ggatga a atg Met 1	60 120 180 238	
30			•	-			_				cca Pro		_	_	•			286	
35											ctg Leu							334	
40		_	•	Leu			-		Thr		gtg Val				_		_	382	
50											cgg Arg							430	
55											gga Gly 75							478	
60											ctg Leu							526	
65											aac Asn							574	

5	_	_	ggt Gly			-		_			_	-	_		_		622
10	•	a Asp	agt Ser	_												_	670
15			ctt Leu							-	_		_				718
20			ata Ile														766
25	•		tat ı Tyr 180	Thr	_	_			_	_					_	• •	814
30		•	g gtc s Val 5		-			•	_	_	-	-			_		862
35		g Cy	t att s Ile									Asn					910
40			t ggo a Gly			Lys										Ala	958
45			a aga o Arg		Asn					Leu					Thr		1006
50			nt gci ly Ali 26	Leu		_	-	_	ccta	ctt	acac	catg	tc t	gtag	ctat	t	1057
55			cctt aaaa		-					_	ctaa	ctg	8886	tac	caaa	865666	1117 1149
60	<210> 18 <211> 20 <212> P1 <213> H	64 RT	apiens														
65	<400> 18	3															

```
Met Lys Leu Lys Glu Cys Val Ser Ile Leu Pro Arg Lys Glu Ser Pro
       Ser Val Arg Ser Ser Lys Asp Gly Lys Leu Leu Ala Ala Thr Leu Leu
5
       Leu Ala Leu Leu Ser Cys Cys Leu Thr Val Val Ser Phe Tyr Gln Val
       Ala Ala Leu Gln Gly Asp Leu Ala Ser Leu Arg Ala Glu Leu Gln Gly
10
       His His Ala Glu Lys Leu Pro Ala Gly Ala Gly Ala Pro Lys Ala Gly
       Leu Glu Glu Ala Pro Ala Val Thr Ala Gly Leu Lys Ile Phe Glu Pro
15
                                             90
       Pro Ala Pro Gly Glu Gly Asn Ser Ser Gln Asn Ser Arg Asn Lys Arg
                                         105
                                                             110
       Ala Val Gln Gly Pro Glu Glu Thr Val Thr Gln Asp Cys Leu Gln Leu
20
        Ile Ala Asp Ser Glu Thr Pro Thr Ile Gln Lys Gly Ser Tyr Thr Phe
                                135
                                                     140
25
        Val Pro Trp Leu Leu Ser Phe Lys Arg Gly Ser Ala Leu Glu Glu Lys
                            150
                                                 155
        Glu Asn Lys Ile Leu Val Lys Glu Thr Gly Tyr Phe Phe Ile Tyr Gly
                                             170
30
        Gin Val Leu Tyr Thr Asp Lys Thr Tyr Ala Met Gly His Leu Ile Gin
                                         185
                                                             190
        Arg Lys Lys Val His Val Phe Gly Asp Glu Leu Ser Leu Val Thr Leu
                                    200
35
        Phe Arg Cys Ile Gln Asn Met Pro Glu Thr Leu Pro Asn Asn Ser Cys
                                215
        Tyr Ser Ala Gly Ile Ala Lys Leu Glu Glu Gly Asp Glu Leu Gln Leu
                            230
                                                 235
40
        Ala Ile Pro Arg Glu Asn Ala Gln Ile Ser Leu Asp Gly Asp Val Thr
                        245
                                             250
                                                                  255
        Phe Phe Gly Ala Leu Lys Leu Leu
45
                    260
   <210> 19
   <211> 1.430
   <212> DNA
50
   <213> Mus musculus
   <220>
   <221> CDS
   <222> (102)...(848)
```

65

60

<400> 19

5												c at	g gc	t at	g go	tgaaa a ttc a Phe 5	60 116
10															gtc Val 20		164
15															gac Asp		212
20															gac Asp		260
25															cac His		308
30		G1n													gcg Ala		356
35	ctc Leu	cag G1n	ccc Pro	gag Glu	ctc Leu 90	999 G1y	aga Arg	cca Pro	cag Gln	gcc Ala 95	999 G1y	gag Glu	gtg Val	gaa Glu	gtc Val 100	agg Arg	404
40	tca Ser	gac Asp	aac Asn	tca Ser 105	gga Gly	agg Arg	cac His	cag Gìn	99a Gly 110	tct Ser	gag Glu	cat His	ggt Gly	cca Pro 115	gga Gly	ttg Leu	452
45				Ser											gtc Val		500
55	cto Leu	tgo Cys 135	Ala	atc Ile	ttc Phe	tgc Cys	tgt Cys 140	ttc Phe	ttg Leu	gtg Val	gec Ala	ttg Leu 145	gcc Ala	tcc Ser	ttc Phe	ctc Leu	548

5	agg cgt aga gga gag cca cta ccc agc cag cct gcc ggg cca cgt ggg Arg Arg Arg Gly Glu Pro Leu Pro Ser Gln Pro Ala Gly Pro Arg Gly 150 155 160 165	596
10	tca caa gca aac tct ccc cac gcc cac cgc ccc gtg aca gag gct tgc Ser Gln Ala Asn Ser Pro His Ala His Arg Pro Val Thr Glu Ala Cys 170 175 180	644
15	gac gag gtg acc gcg tca ccc cag cct gtg gaa acg tgt agc ttc tgc Asp Glu Val Thr Ala Ser Pro Gln Pro Val Glu Thr Cys Ser Phe Cys 185 190 195	692
20	ttc ccg gag cgc agt tct ccc act cag gag agc gcg ccg cgt tcg ctc Phe Pro Glu Arg Ser Ser Pro Thr Gln Glu Ser Ala Pro Arg Ser Leu 200 205 210	740
25	ggg ata cac ggc ttc gcg ggc act gcc gcc ccg cag ccc tgt atg cgt Gly Ile His Gly Phe Ala Gly Thr Ala Ala Pro Gln Pro Cys Met Arg 215 220 225	788
30	gca aca gta ggc ggc ctg ggt gtc ctg cgc gca tcc act ggg gac gct Ala Thr Val Gly Gly Leu Gly Val Leu Arg Ala Ser Thr Gly Asp Ala 230 235 240 245	836
35	cgt ccg gca act tgacagcccg aaaaataaaa aagacaattt agaggatgga Arg Pro Ala Thr	888
40	gtgacagagg gggaaaggga tggagaagag acagatgaag acacgataaa ggaagcccgg ctgcacccac gcagagcaac aaagcaacca cctgcagcgc ccacgttccc agcaccgcct gtgcctgccg ctgtgtccta tactttccag agcagtcaac ctgtgccttt tttctttagt cgagaaagat ggagaatgac cggcacctag cattaccctt acaattctta caaacaagtg gtctttccta tggccttagg cagatagctg agtgcagtgt ggatgtattt gtgatttaag	948 1008 1068 1128 1188
45	taacttgtat gtgtatgtgc agattcgggg ttatgtcata tgtgcatgta tacgtgagtt gtgtgtctgt atgagttgtg tgtatatgtg cgcctataaa tatgtgtgtg aattctgtgc atgcagatgt gtgtgtacat atgtgtctgg ctgatgtggt atagccagaa agatgagggc ccttctaggt gaaggccaaa catctaaaaa ccatctaggt gatgggtgct cgtgccgaat tc	1248 1308 1368 1428 1430
50	<210> 20	1400
55	<211> 249 <212> PRT <213> Mus musculus <400> 20	
	NTUU/ 20	

	met 1	AIA	met	Aia	rne 5	Cys	Pro	Lys	Asp	GIN 10	Tyr	Trp	Asp	Ser	Ser 15	Arg	
5	Lys	Ser	Cys	Va 1 20	Ser	Cys	Ala	Leu	Thr 25	Cys	Ser	Gln	Arg	Ser 30		Arg	
	Thr	Cys	Thr 35	Asp	Phe	Cys	Lys	Phe 40		Asn	Cys	Arg	Lys 45	Glu	Gln	Gly	
10		50		Asp			55					60		-			
	Cys 65	Thr	Gln	His	Pro	G1n 70	Gln	Cys	Ala	His	Phe 75	Cys	Glu	Lys	Arg	Pro 80	
15	Arg	Ser	Gln	δſΑ	Asn 85	Leu	Gln	Pro	Glu	Leu 90	Gly	Arg	Pro	Gln	A1a 95		
20				Val 100					105		_			110			
20			115					120					125				
25		130		Va1			135					140					
	145			Phe		150					155					160	
30				Arg	165					170					175		
				Ala 180					185					190			
35			195					200					205				
		210)	Ser			215					220					
40	225)		Met		230				Gly	Leu 235	Gly	Val	Leu	Arg	A1a 240	
	Ser	ınr	, elà	Asp	245	Arg	Pro	Ala	.Ihr								
45	<210> 21																
	<211> 473 <212> DNA	۸															
	<212> DIVA		artifi	cial													
50		.011016	i ai tiili	Ciui													
	<220> <223> Sono	da pai	ra tran	sferen	cia N	orther	n										
55	<400> 21																
	ctgt	ggac	:99 9	ggtgg	ctat	gag	atco	tgc	cccg	aaga	gc a	gtac	tggg	a to	ctct	gctg	•
60	ggta	cctg	ıca t	gtcct	gcaa	aac	catt	tgc	aacc	atca	ga g	ccad	caca	c ct	atac	gagg gagg	12 18
	gact	gcat	ca g	ctgt	gcct	c ca	tctg	rtgga	cag	cacc	cta a	agca	atgt	gc a	tact	tctgt	2
	gaga	acaa	gc t	cagg	agco	c ag	itgaa	cctt	622	ccag	agc '	tcag	gaga	ca g	cgga	gtgga	3
65	gaag	ttga	aa a	caat	tcag	a ca	acto	ggga	agg	tacc	aag 🤉	gatt	gage	ca c	agag	gctca	3
J	gaag	caag	tc c	agct	ctco	c gg	ggct	gaag	ctg	agtg	cag	atca	ggtg	gc c	ctgg	tctac	4
	agca	cgct	gg g	gcto	tgc	it gt	gtgc	cgtc	ctc	tact	act '	tcct	aata	ac a	at		4

	<210> 22	
	<211> 25	
	<212> DNA	
5	<213> Secuencia artificial	
	<220>	
	<223> ZC20061	
10	<400> 22	
	ctgtggacag gggtggctat gagat	25
15	<210> 23	
	<211> 25	
	<212> DNA	
20	<213> Secuencia artificial	
	<220>	
	<223> Oligonucleótido ZC20062	
25	<400> 23	
	accgccacca ggaagcacag aggac	25
30	<210> 24	
	<211> 256	
	<212> DNA	
	<213> Secuencia artificial	
35	220	
	<220>	
	<223> Sonda para transferencia Northern	
40	<400> 24	
45	tgcgattctc tggacctgtt tgggactgag cttaataatt tctttggcag ttttcgtgct aatgtttttg ctaaggaaga taagctctga accattaaag gacgagttta aaaacacagg 120 atcaggtctc ctgggcatgg ctaacattga cctggaaaag agcaggactg gtgatgaaat 180 tattcttccg agaggcctcg agtacacggt ggaagaatgc acctgtgaag actgcatcaa 240 gagcaaaccg aaggtc 256	
	<210> 25	
50	<211> 22	
	<212> DNA	
	<213> Secuencia artificial	
55		
	<220>	
	<223> Oligonucleótido ZC21065	
60	<400> 25	
	tgcgattctc tggacctgtt tg	22

	<210> 26	
	<211> 22	
	<212> DNA	
5	<213> Secuencia artificial	
	<220>	
	<223> Oligonucleótido ZC21067	
10	<400> 26	
	gacetteggt ttgetettga tg	2
15	<210> 27	
	<211> 20	
	<212> DNA	
20	<213> Secuencia artificial	
	<220>	
	<223> Oligonucleótido ZC24200	
25	<400> 27	
	acactggggg tctgcctctg	2
30	<210> 28	
	<211> 17	
	<212> DNA	
	<213> Secuencia artificial	
35		
	<220>	
	<223> Oligonucleótido ZC24201	
40	<400> 28	
	gcgaagcegt gtatece	1
45	<210> 29	
	<211> 17	
	<212> DNA	
50	<213> Secuencia artificial	
50	<220>	
	<223> Oligonucleótido ZC24198	
55	<400> 29	
	tctacagcac gctgggg	1
60	<210> 30	
55	<211> 16	
	<212> DNA	
	<213> Secuencia artificial	
65	<220>	
	<223> Oligonucleótido ZC24199	

	<400> 30	
	gcacaagtgg ggtcgg	16
5	<210> 31	
	<211> 19	
	<212> DNA	
10	<213> Secuencia artificial	
10		
	<220>	
	<223> Oligonucleótido ZC24271	
15	<400> 31	
	ttattgtaat gcaagtgtg	19
20	<210> 32	
	<211> 17	
	<212> DNA	
	<213> Secuencia artificial	
25		
	<220>	
	<223> Oligonucleótido ZC24272	
30	<400> 32	
	tagctgggag tggaaag	17
35	<210> 33	
	<211> 20	
	<212> DNA	
	<213> Secuencia artificial	
40	220	
	<220>	
	<223> Oligonucleótido ZC24495	
45	<400> 33	
	tccaagcgtg accagttcag	20
50	<210> 34	
30	<211> 18	
	<212> DNA	
	<213> Secuencia artificial	
55		
	<220>	
	<223> Oligonucleótido ZC24496	
60	<400> 34	
	agttggette tecatece	18

```
<210> 35
   <211> 1.090
   <212> DNA
  <213> Homo sapiens
   <400> 35
                                                                                    60
        taactctcct gaggggtgag ccaagccctg ccatgtagtg cacgcaggac atcaacaaac
10
        acagataaca ggaaatgatc cattccctgt ggtcacttat tctaaaggcc ccaaccttca
                                                                                   120
                                                                                   180
        aagttcaagt agtgatatgg atgactccac agaaagggag cagtcacgcc ttacttcttg
                                                                                   240
        ccttaagaaa agagaagaaa tgaaactgaa ggagtgtgtt tccatcctcc cacggaagga
        aagcccctct gtccgatcct ccaaagacgg aaagctgctg gctgcaacct tgctgctggc
                                                                                   300
15
        actgctgtct tgctgcctca cggtggtgtc tttctaccag gtggccgccc tgcaagggga
                                                                                   360
        cctggccagc ctccgggcag agctgcaggg ccaccacgcg gagaagctgc cagcaggagc
                                                                                   420
                                                                                   480
        aggagecece aaggeeggee tggaggaage tecagetgte acegegggae tgaaaatett
                                                                                   540
        tgaaccacca gctccaggag aaggcaactc cagtcagaac agcagaaata agcgtgccgt
20
        tcagggtcca gaagaaacag tcactcaaga ctgcttgcaa ctgattgcag acagtgaaac
                                                                                   600
        accaactata caaaaaggat cttacacatt tgttccatgg cttctcagct ttaaaaagggg
                                                                                   660
        aagtgcccta gaagaaaaag agaataaaat attggtcaaa gaaactggtt actttttat
                                                                                   720
        atatggtcag gttttatata ctgataagac ctacgccatg ggacatctaa ttcagaggaa
                                                                                   780
25
        gaaggtccat gtctttgggg atgaattgag tctggtgact ttgtttcgat gtattcaaaa
                                                                                   840
        tatqcctqaa acactaccca ataattcctg ctattcagct ggcattgcaa aactggaaga
                                                                                   900
         aggagatgaa ctccaacttg caataccaag agaaaatgca caaatatcac tqqatqqaga
                                                                                   960
30
         tgtcacattt tttggtgcat tgaaactgct gtgacctact tacaccatgt ctgtagctat
                                                                                  1020
         tttcctccct ttctctgtac ctctaagaag aaagaatcta actgaaaata ccaaaaaaaa
                                                                                  1080
         666666666
                                                                                  1090
   <210> 36
   <211> 35
   <212> DNA
   <213> Secuencia artificial
   <220>
   <223> Oligonucleótido
   <400> 36
                                                                                         35
          cgcgcggttt aaacgccacc atggatgact ccaca
   <210> 37
   <211> 32
   <212> DNA
   <213> Secuencia artificial
55
   <220>
   <223> Oligonucleótido
   <400> 37
60
                                                                                         32
          gtatacggcg cgcctcacag cagtttcaat gc
```

24

	<210> 38	
	<211> 25	
	<212> DNA	
5	<213> Secuencia artificial	
	<220>	
	<223> Oligonucleótido ZC17251	
10	<400> 38	
	tetggaegte eteetgetgg tatag	25
15	<210> 39	
	<211> 25	
	<212> DNA	
20	<213> Secuencia artificial	
	<220>	
	<223> Oligonucleótido ZC17252	
25	<400> 39	
	ggtatggagc aaggggcaag ttggg	25
30	<210> 40	
	<211> 27	
	<212> DNA	
35	<213> Secuencia artificial	
	<220>	
	<223> Oligonucleótido ZC17156	
40	<400> 40	
	gagtggcaac ttccagggcc aggagag	27
45	<210>41	
	<211> 27	
	<212> DNA	
50	<213> Secuencia artificial	
50	<220>	
	<223> Oligonucleótido ZC17157	
55	<400>41	
	cttttgctag cetcaacect gactate	27
60	<210> 42	
00	<211>813	
	<212> DNA	
	<213> Homo sapiens	
65		

<400> 42

```
ggcacagcac ggggcgatgg gcgcgtttcg ggccctgtgc ggcctggcgc tgctgtgcgc
                                                                                      60
        gctcagcctg ggtcagcgcc ccaccggggg tcccgggtgc ggccctgggc gcctcctgct
                                                                                     120
        tgggacggga acggacgcgc gctgctgccg ggttcacacg acgcgctgct gccgcgatta
                                                                                     180
5
        cccgggcgag gagtgctgtt ccgagtggga ctgcatgtgt gtccagcctg aattccactg
                                                                                     240
        cggagaccct tgctgcacga cctgccggca ccacccttgt cccccaggcc agggggtaca
                                                                                     300
        gtcccagggg aaattcagtt ttggcttcca gtgtatcgac tgtgcctcgg ggaccttctc
                                                                                     360
        cgggggccac gaaggccact gcaaaccttg gacagactgc acccagttcg ggtttctcac
                                                                                     420
10
        tgtgttccct gggaacaaga cccacaacgc tgtgtgcgtc ccagggtccc cgccggcaga
                                                                                     480
        gccgcttggg tggctgaccg tcgtcctcct ggccgtggcc gcctgcgtcc tcctcctgac
                                                                                     540
        ctcggcccag cttggactgc acatctggca gctgaggagt cagtgcatgt ggccccgaga
                                                                                     600
        gacccagctg ctgctggagg tgccgccgtc gaccgaagac gccagaagct gccagttccc
15
                                                                                     660
        cgaggaagag cggggcgagc gatcggcaga ggagaagggg cggctgggag acctgtgggt
                                                                                     720
        gtgagcctgg ctgtcctccg gggccaccga ccgcagccag cccctcccca ggagctcccc
                                                                                     780
        aggccgcagg gctctgcgtt ctgctctggg ccg
                                                                                     813
20
   <210> 43
   <211> 44
   <212> DNA
   <213> Secuencia artificial
   <220>
   <223> Oligonucleótido ZC10134
30
   <400> 43
                                                                                           44
          atcageggaa ttcagatett cagacaaaac tacacaatge ceae
   <210> 44
   <211> 35
   <212> DNA
   <213> Secuencia artificial
   <220>
   <223> Oligonucleótido ZC10135
45
   <400> 44
          ggcagtctct agatcattta cccggagaca gggag
                                                                                           35
   <210> 45
   <211> 768
   <212> DNA
   <213> Homo sapiens
55
   <220>
   <221> CDS
   <222> (7)...(759)
   <223> Secuencia de Fc de Ig
   <400> 45
65
```

5	ggatcc atg aag cac ctg tgg ttc ttc ctc ctg ctg gtg gcg gc	48
10	aga tgg gtc ctg tcc gag ccc aga tct tca gac aaa act cac aca tgc Arg Trp Val Leu Ser Glu Pro Arg Ser Ser Asp Lys Thr His Thr Cys 15 20 25 30	96
15	cca ccg tgc cca gca cct gaa gcc gag ggg gca ccg tca gtc ttc ctc Pro Pro Cys Pro Ala Pro Glu Ala Glu Gly Ala Pro Ser Val Phe Leu 35 40 45	144
20	ttc ccc cca aaa ccc aag gac acc ctc atg atc tcc cgg acc cct gag Phe Pro Pro Lys Pro Lys Asp Thr Leu Met Ile Ser Arg Thr Pro Glu 50 55 60	192
25	gtc aca tgc gtg gtg gtg gac gtg agc cac gaa gac cct gag gtc aag Val Thr Cys Val Val Val Asp Val Ser His Glu Asp Pro Glu Val Lys 65 70 75	240
30	ttc aac tgg tac gtg gac ggc gtg gag gtg cat aat gcc aag aca aag Phe Asn Trp Tyr Val Asp Gly Val Glu Val His Asn Ala Lys Thr Lys 80 85 90	288
35	ccg cgg gag gag cag tac aac agc acg tac cgt gtg gtc agc gtc ctc Pro Arg Glu Glu Gln Tyr Asn Ser Thr Tyr Arg Val Val Ser Val Leu 95 100 105 110	336
40	acc gtc ctg cac cag gac tgg ctg aat ggc aag gag tac aag tgc aag Thr Val Leu His Gln Asp Trp Leu Asn Gly Lys Glu Tyr Lys Cys Lys 115 120 125	384
45	gtc tcc aac aaa gcc ctc cca tcc tcc atc gag aaa acc atc tcc aaa Val Ser Asn Lys Ala Leu Pro Ser Ser Ile Glu Lys Thr Ile Ser Lys 130 135 140	432
50	gcc aaa ggg cag ccc cga gaa cca cag gtg tac acc ctg ccc cca tcc Ala Lys Gly Gln Pro Arg Glu Pro Gln Val Tyr Thr Leu Pro Pro Ser 145 150 155	480
55	cgg gat gag ctg acc aag aac cag gtc agc ctg acc tgc ctg gtc aaa Arg Asp Glu Leu Thr Lys Asn Gln Val Ser Leu Thr Cys Leu Val Lys 160 165 170	528
60	ggc ttc tat ccc agc gac atc gcc gtg gag tgg gag agc aat ggg cag Gly Phe Tyr Pro Ser Asp Ile Ala Val Glu Trp Glu Ser Asn Gly Gln 175 180 185 190	576

5	Pro Glu Asn Asn Tyr Lys Thr Thr Pro Pro Val Leu Asp Ser Asp Gly 195 200 205	
10	tcc ttc ttc ctc tac agc aag ctc acc gtg gac aag agc agg tgg cag Ser Phe Phe Leu Tyr Ser Lys Leu Thr Val Asp Lys Ser Arg Trp Gin 210 215 220	
15	cag ggg aac gtc ttc tca tgc tcc gtg atg cat gag gct ctg cac aac 720 Gln Gly Asn Val Phe Ser Cys Ser Val Met His Glu Ala Leu His Asn 225 230 235	
20	cac tac acg cag aag agc ctc tcc ctg tct ccg ggt aaa taatctaga 768 His Tyr Thr Gln Lys Ser Leu Ser Leu Ser Pro Gly Lys 240 245 250	
	<210> 46	
25	<211> 52 <212> DNA <213> Secuencia artificial	
30	<220> <223> Oligonucleótido ZC15345	
	<400> 46	
35	cegtgeecag cacetgaage egagggggea eegteagtet teetetteee ee	52
	<210> 47 <211> 31	
40	<212> DNA <213> Secuencia artificial	
45	<220> <223> Oligonucleótido ZC15347	
73	<400> 47	
50	ggattctaga ttttataccc ggagacaggg a	31
	<210> 48 <211> 55 <212> DNA	
55	<213> Secuencia artificial	
	<220> <223> Oligonucleótido ZC15517	
60	<400> 48	
	ggtggcggct cccagatggg tcctgtccga gcccagatct tcagacaaaa ctcac	55
65		

	<210>49	
	<211> 18	
	<212> DNA	
5	<213> Secuencia artificial	
	<220>	
	<223> Oligonucleótido ZC15530	
10	<400>49	
	tgggagggct ttgttgga	18
15		
10	<210> 50	
	<211> 42	
	<212> DNA	
20	<213> Secuencia artificial	
	<220>	
	<223> Oligonucleótido ZC15518	
25	<400> 50	
	tecaacaaag eecteecate etecategag aaaaccatet ee	42
30	<210> 51	
	<211> 57	
	<212> DNA	
35	<213> Secuencia artificial	
33	<220>	
	<223> Oligonucleótido ZC15516	
40	<400> 51	
	ggatggatcc atgaagcacc tgtggttctt cctcctgctg gtggcggctc ccagatg	57
45	<210> 52	
	<211> 59	
	<212> DNA	
50	<213> Secuencia artificial	
50	<220>	
	<223> Cebador oligonucleotídico	
55	<400> 52	
	ctcagccagg aaatccatgc cgagttgaga cgcttccgta gaatgagtgg cctgggccg	59
60	<210> 53	
	<211> 48	
	<212> DNA	
	<213> Secuencia artificial	
65	<220>	
	<223> Cebador oligonucleotídico	

	<400> 53	
	gcatgtgtga gttttgtctg aagatctggg ctccttcagc cccgggag	48
5	<210> 54	
	<211> 59	
	<212> DNA	
10	<213> Secuencia artificial	
	<220>	
	<223> Cebador oligonucleotídico	
15	<400> 54	
	ctcagccagg aaatccatgc cgagttgaga cgcttccgta gaatgagtgg cctgggccg	59
20	<210> 55	
	<211> 59	
	<212> DNA	
25	<213> Secuencia artificial	
23	<220>	
	<223> Cebador oligonucleotídico	
30	<400> 55	
	gcacggtggg catgtgtgag ttttgtctga agatctgggc tccttcagcc ccgggagag	59
35	<210> 56	
	<211>60	
	<212> DNA	
	<213> Secuencia artificial	
40	220.	
	<220> <223> Cebador oligonucleotídico	
	<223> Cebauor origonacieoridico	
45	<400> 56	
	gcacagagge teagaagcaa gtecagetet eeeggggetg aaggageeea gatetteaga	60
50	<210> 57	
	<211> 56	
	<212> DNA	
	<213> Secuencia artificial	
55	<220>	
	<223> Cebador oligonucleotídico	
60	<400> 57	
50		
	ggggtgggta caaccccaga getgttttaa tctagattat ttacccggag acaggg	56

```
<210> 58
    <211> 59
    <212> DNA
   <213> Secuencia artificial
    <220>
    <223> Cebador oligonucleotídico
10
     <400> 58
                                                                                                               59
            ctaacatgtc agcgttattg taatgcaagt gtgaccaatt cagagcccag atcttcaga
15
    <210> 59
    <211> 20
    <212> PRT
    <213> Secuencia artificial
    <220>
    <223> Anticuerpo peptídico
25
    <400> 59
    Ser Ala Gly Ile Ala Lys Leu Glu Glu Gly Pro Glu Leu Gln Leu Ala
    Ile Pro Arg Glu
    <210> 60
    <211> 20
    <212> PRT
    <213> Secuencia artificial
    <220>
    <223> Anticuerpo peptídico
    <400> 60
    Ser Phe Lys Arg Gly Ser Ala Leu Glu Glu Lys Glu As<br/>n Lys Glu Leu 1\phantom{0} 15
    Val Lys Glu Thr
50
55
```

31

60